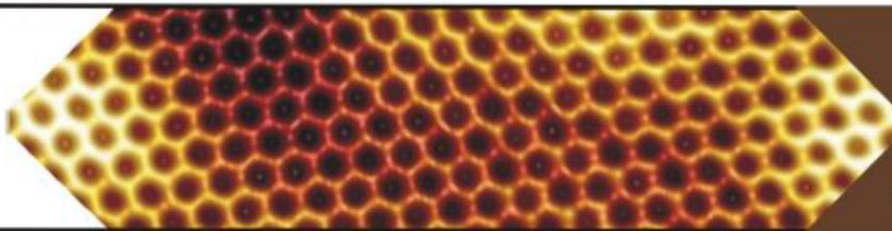




ИФТТ РАН
ISSP RAS



Applications of scanning
probe microscopy
out of ambient conditions

Сканирующая зондовая техника НТ-МДТ – приборы и возможности

В.А. Быков, Ан.В. Быков, А.А. Быков, Ю.А. Бобров, В.В. Котов, С.И. Леесмент,
В.И. Поляков

ООО «НТ-МДТ», Группы компаний НТ-МДТ Спектрум Инструментс, Москва

NT-MDT-Spectral Instruments,
124460, Russia, Moscow, Zelenograd, Proezd 4922, 4/3
www.ntmdt-si.com, spm@ntmdt-si.ru

Нанотехнологическое общество России
www.rusnor.org

Moscow Institute of Physics and Technology,
141701, Russia, Moscow6 Dolgoprudny, 9 Institutskiy per.

О КОМПАНИИ

Вот уже много лет специалисты ООО НТ-МДТ (Москва, Зеленоград) и все сотрудники группы компаний NT-MDT Spectrum Instruments участвуют в разработке, производстве и поддержке исследовательского оборудования, в первую очередь, атомно-силовых микроскопов (АСМ) и их комбинаций со спектроскопией сверхвысокого разрешения для нанотехнологии и ее приложений. Наш путь был отмечен созданием большого количества устройств, функции и возможности которых охватывают широкий спектр потребностей клиентов в различных областях: университетское образование, академические и промышленные исследования.

United States of America
United States Patent and Trademark Office

NTEGRA

Reg. No. 5,926,648
Registered Dec. 03, 2019
Int. Cl.: 9
Trademark
Principal Register

NT-MDT LLC (RUSSIAN FEDERATION limited liability company)
Przed 4922
4/3 Zelenograd
Moscow, RUSSIAN FED. 124460

CLASS 9: Nano technology instruments, namely, microscopes, measuring apparatus and measuring instruments, namely, atomic force microscopes, scanning probe microscopes, integrated atomic force microscopes and scanning probe microscopes, integrated atomic force microscopes with interferometers for nano-IR infrared microscopy, scanning tunneling microscopes, atomic force microscopes for electrochemical measurements, atomic force microscopes with external magnetic fields, atomic force microscopes for work in low vacuum, atomic force microscopes for quantitative non-destructive measurements, atomic force microscopes for use in liquid, computer downloadable software for control of atomic force microscopes systems, image acquisition, image in the field of chemistry, physics, biology, semiconductors, metrology, material science, electric apparatus and instruments, namely, atomic force microscopes, scanning probe microscopes, scanning tunneling microscopes, scanning confocal Raman microscopes, microscopes and parts thereof

FIRST USE 12-31-2003; IN COMMERCE 12-31-2003

THE MARK CONSISTS OF STANDARD CHARACTERS WITHOUT CLAIM TO ANY PARTICULAR FONT STYLE, SIZE OR COLOR

SER. NO. 88-459,324; FILED 06-04-2019



Andrea Lerner
Director of the United States
Patent and Trademark Office



EUROPEAN UNION INTELLECTUAL PROPERTY
OFFICE
CERTIFICATE OF REGISTRATION

This Certificate of Registration is hereby issued for the European Union trade mark identified below. The corresponding entries have been recorded in the Register of European Union trade marks.

AMT DER EUROPÄISCHEN UNION FÜR GEISTIGES
EIGENTUM
EINTRAGUNGSKUNDEN

Diese Eintragungskunde wird für die unten angegebene Unionsmarke ausgestellt. Die betreffenden Angaben sind in das Register der Unionsmarken eingetragen worden.



www.eipo.europa.eu



Инновационный бизнес ООО НТ-МДТ представлен компаниями в России, Европе, США, и Китае, объединенных общими зарегистрированными товарными знаками NT-MDT и NT-MDT Spectrum Instruments, а также дистрибуторами в более чем 30 странах мира

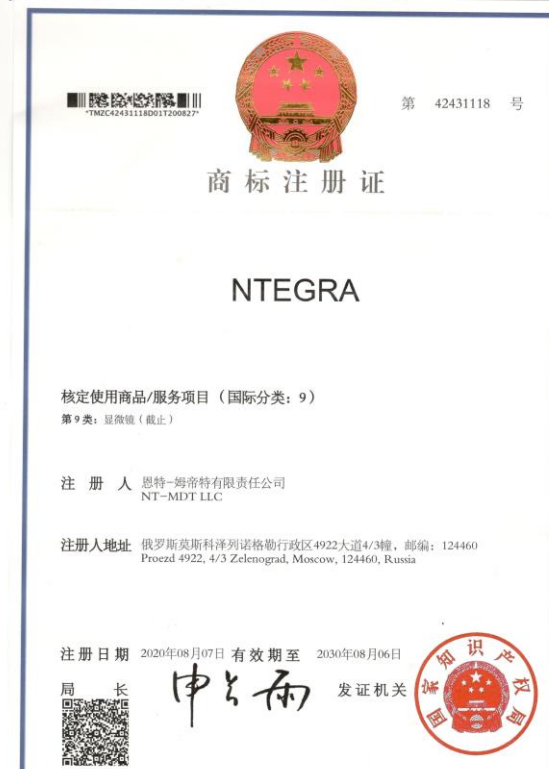
Registered / Eingetragen 01/07/2021

No 018427489

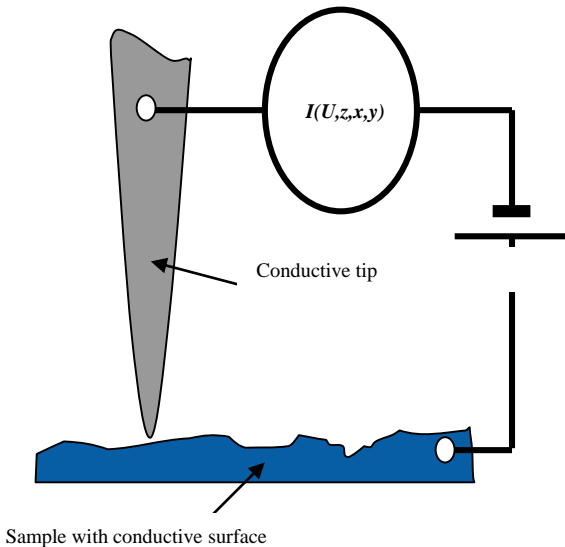


The Executive Director / Der
Exekutivdirektor

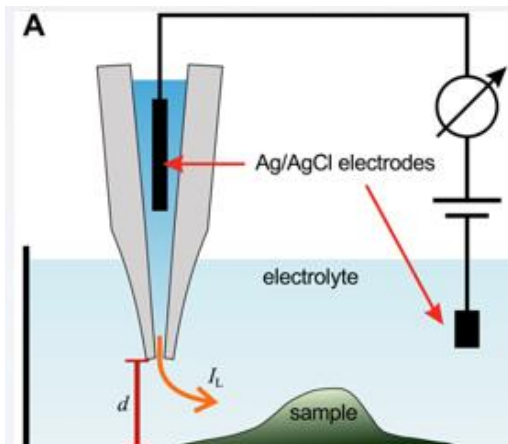
Christian Archambeau



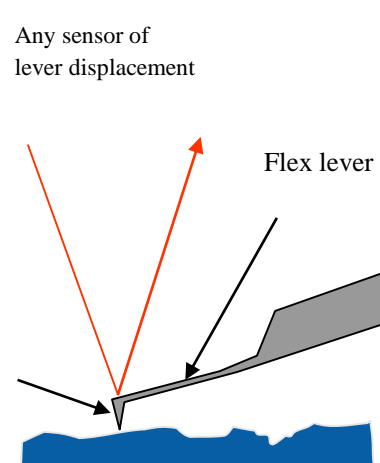
Scanning Probe Microscopy (SPM)



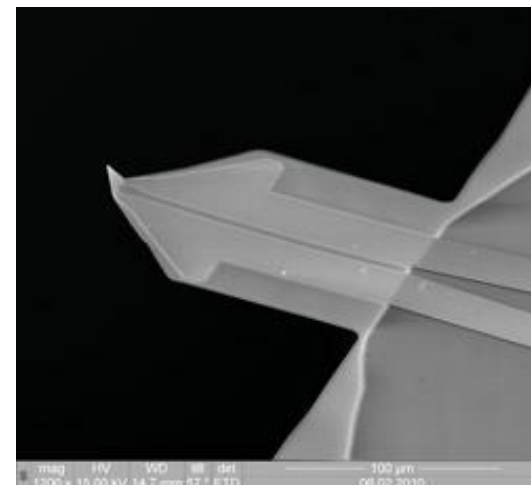
Scanning Tunneling
Microscopy
Conductive samples



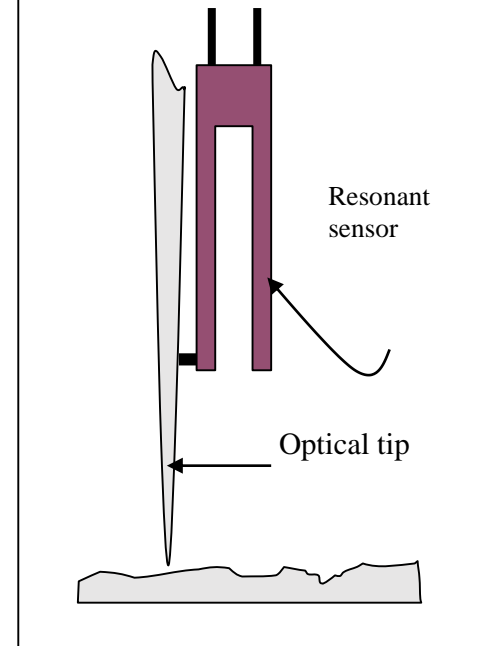
Scanning Electrochemical
Capillary Microscopy,
 $I - 10^{-9}-10^{-15}$



Atomic Force
Microscopy
Any solid surfaces

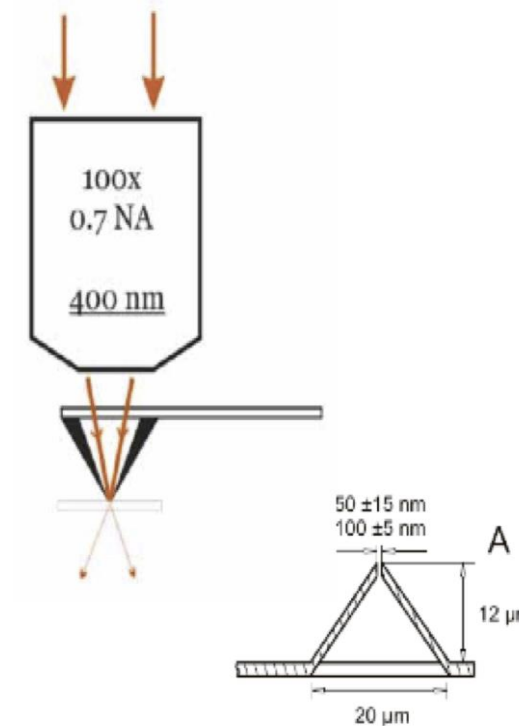


SEM image of the SThM probe

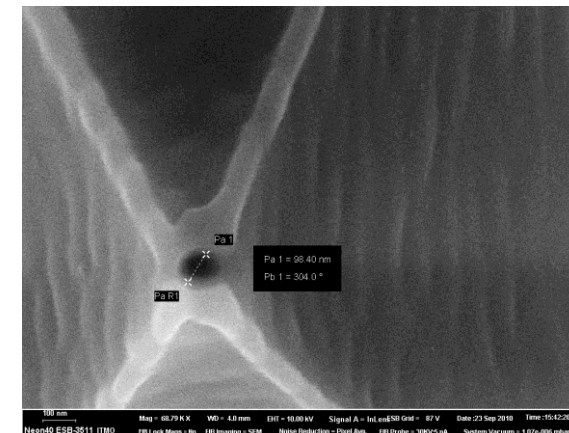


Aperture
Scanning Near-Field
Microscopy
Optical properties

Silicon cantilevers with aperture



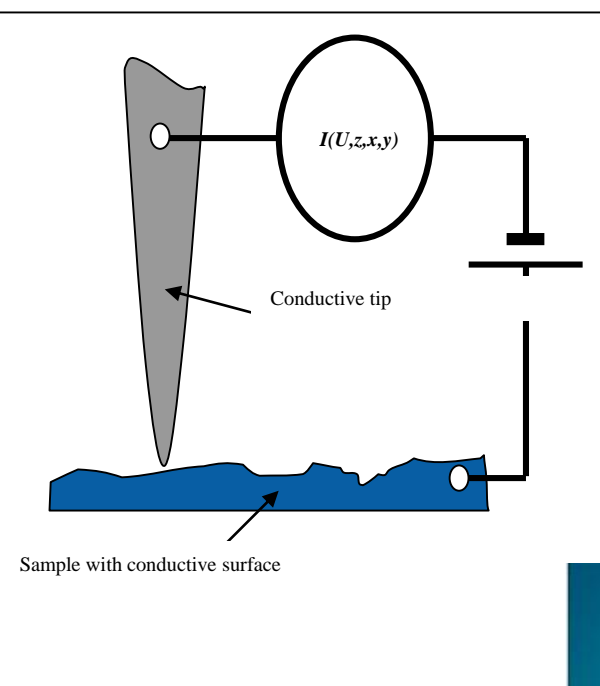
NT-MDT produces all hardware and software to work with such probes at all SNOM modes.



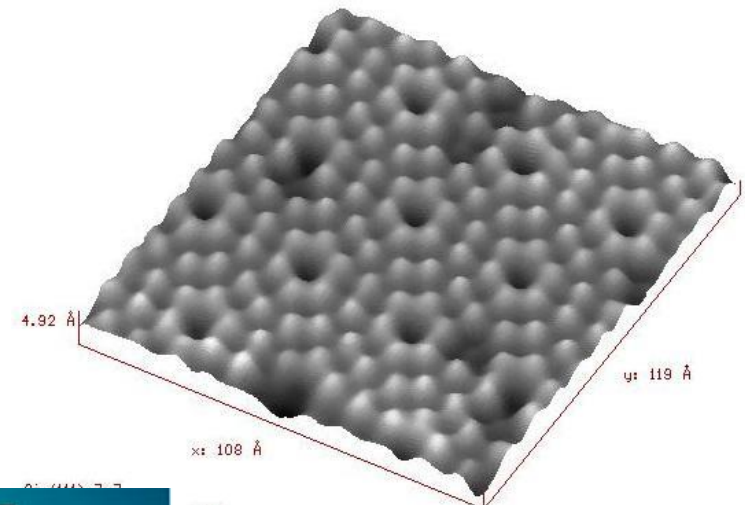
Типы зондовой микроскопии

- Туннельная микроскопия
- Атомно-силовая Микроскопия
- Капиллярная микроскопия
- Оптическая микроскопия ближнего поля
- Рамановская зондовая микроскопия
- Инфракрасная зондовая микроскопия

Туннельная микроскопия



В особенности интересна и информативна в сверхвысоко вакууме



Scanning Tunneling Microscope

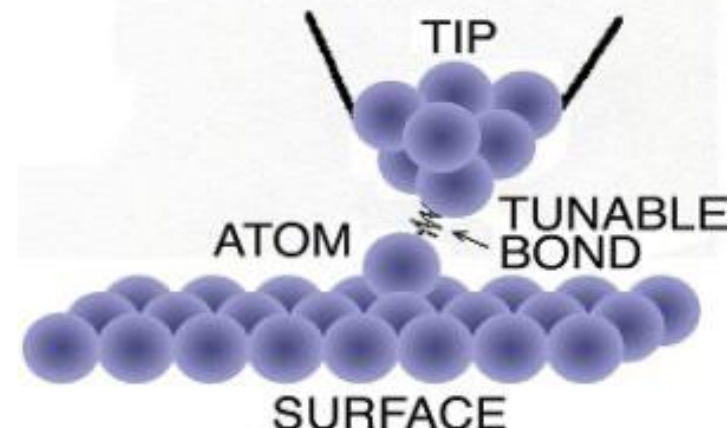
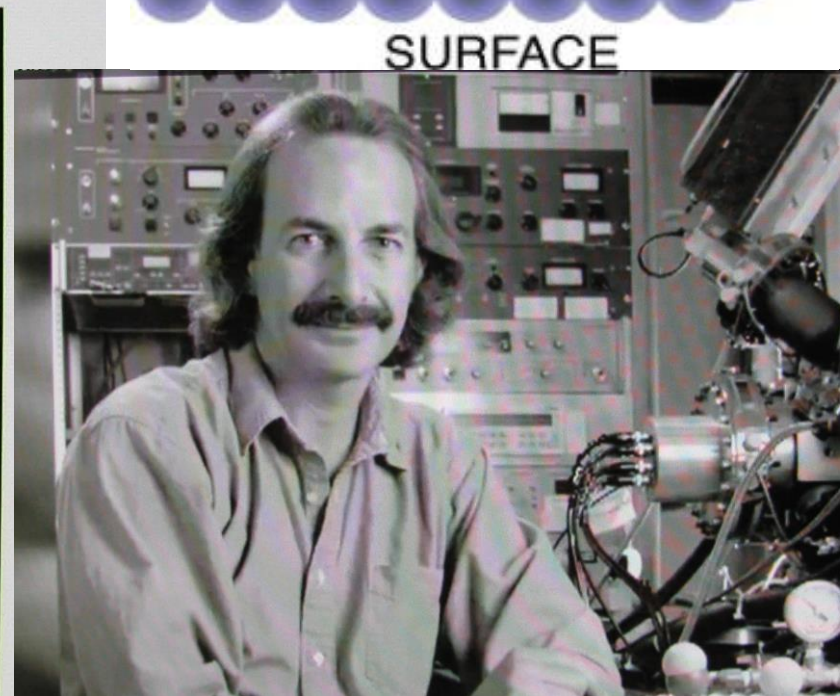
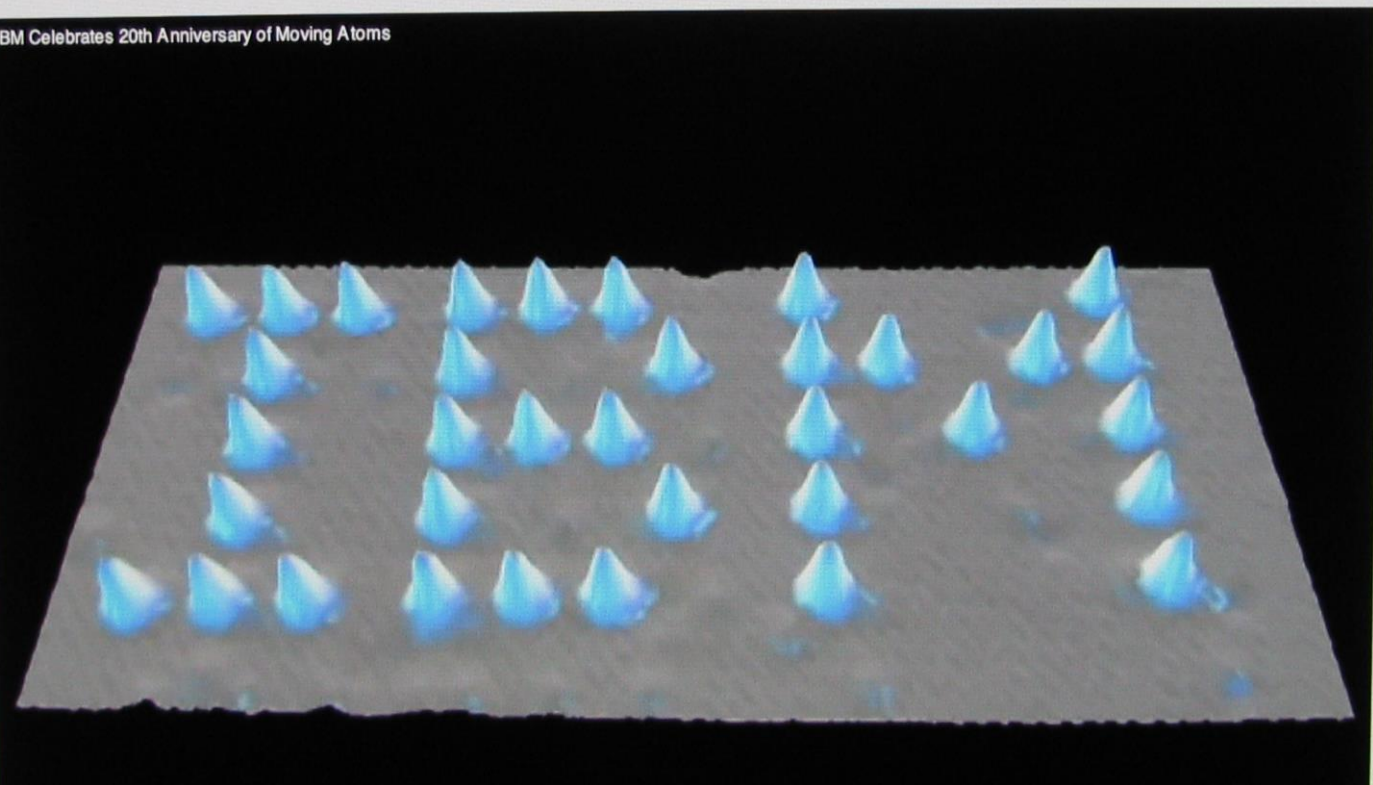
Gerd Heini

Invented by Gerd Binnig and Heinrich Rohrer, IBM Research Division
Atomic resolution images of surfaces
1986 Nobel Prize in physics

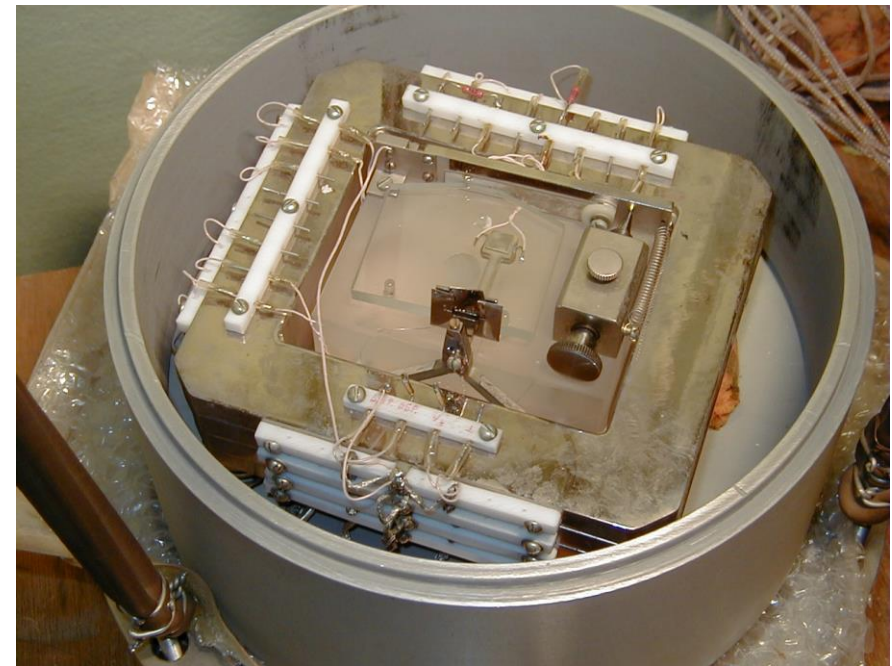
СТМ – Литография, манипуляция отдельными атомами

San Jose, Calif. - 28 Sep 2009: On this day in 1989, IBM Fellow Don Eigler became the first person in history to move and control an individual atom. Shortly thereafter, on November 11 of that year, Eigler and his team used a custom-built microscope to spell out the letters IBM (NYSE: IBM) with 35 xenon atoms. This unprecedented ability to manipulate individual atoms signaled a quantum leap forward in nanoscience experimentation and heralded in the age of nanotechnology.

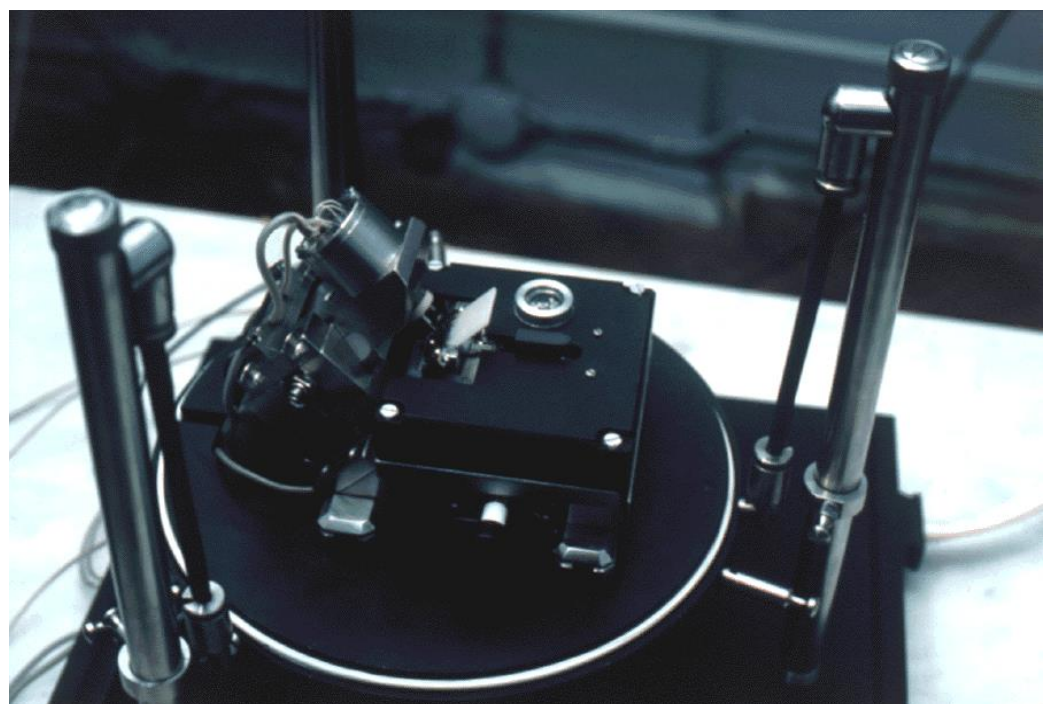
IBM Celebrates 20th Anniversary of Moving Atoms



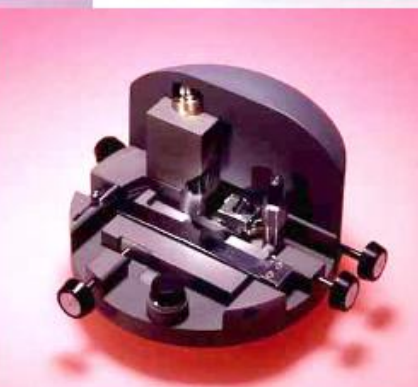
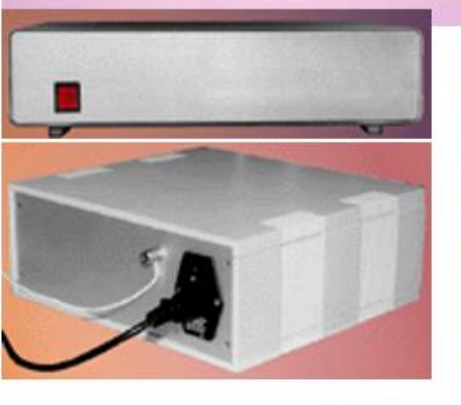
Первый туннельный микроскоп, разработанный в МДТ, 1989 год



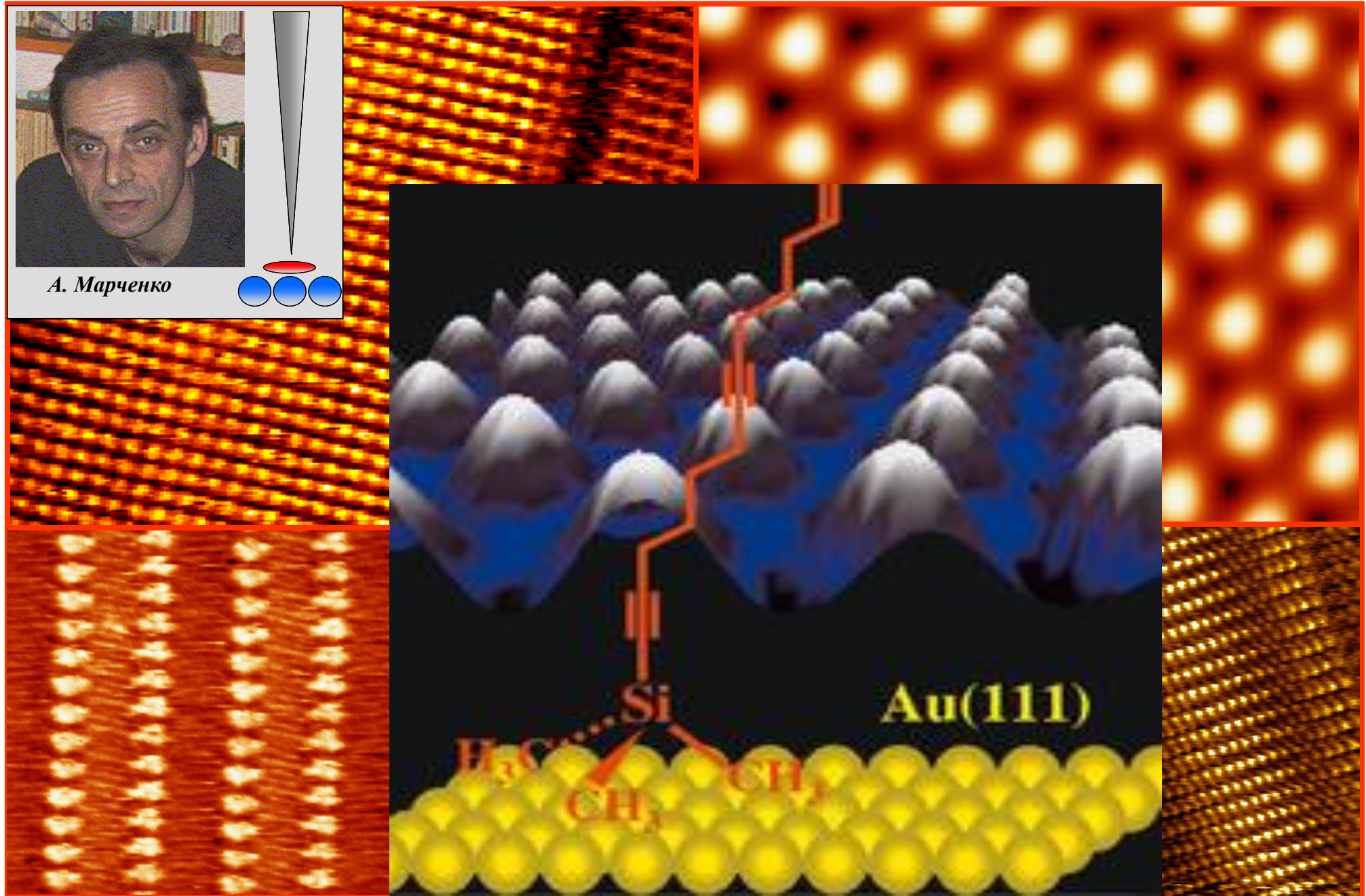
**СТМ-МДТ-10-93, выпущенный компанией Нанотехнология-МДТ под
руководством автора (1993 год)**



Сканирующие зондовые микроскопы
линии СОЛВЕР
«СОЛВЕР-Р4» , 1994 – 1995 годы

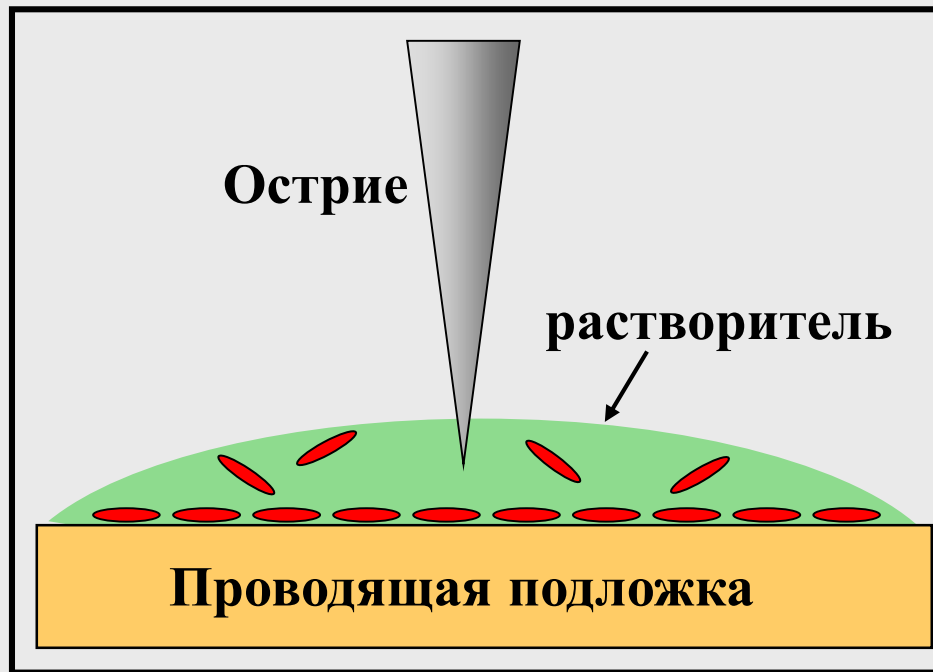


СТМ на границе твердое тело – непроводящая жидкость



АЛЕКСАНДР МАРЧЕНКО, Институт физики Национальной академии наук Украины

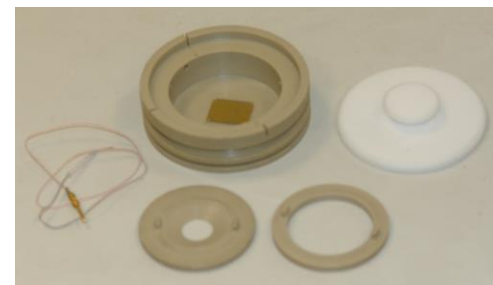
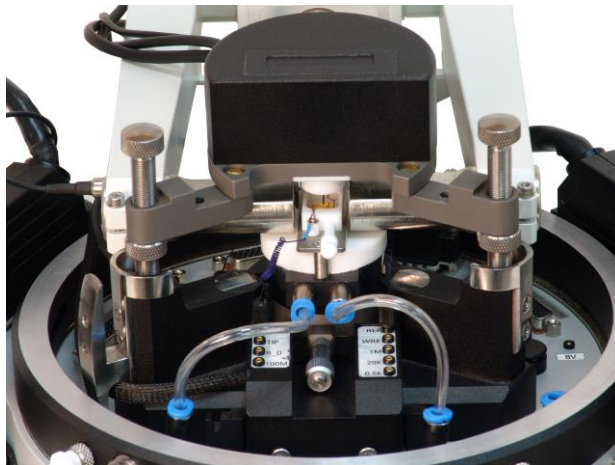
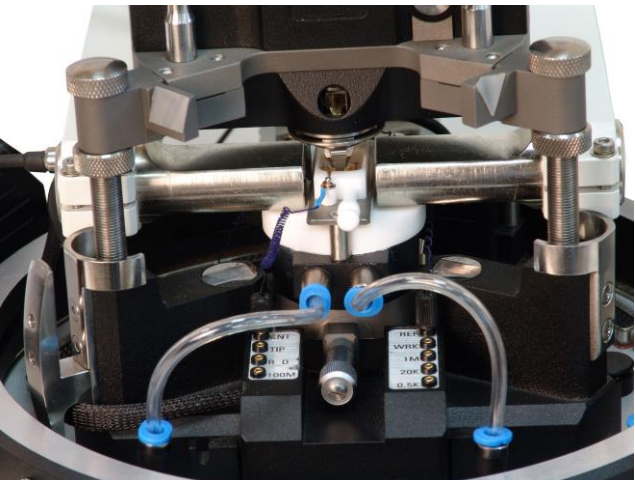
Принцип СТМ в жидкости



Преимущества

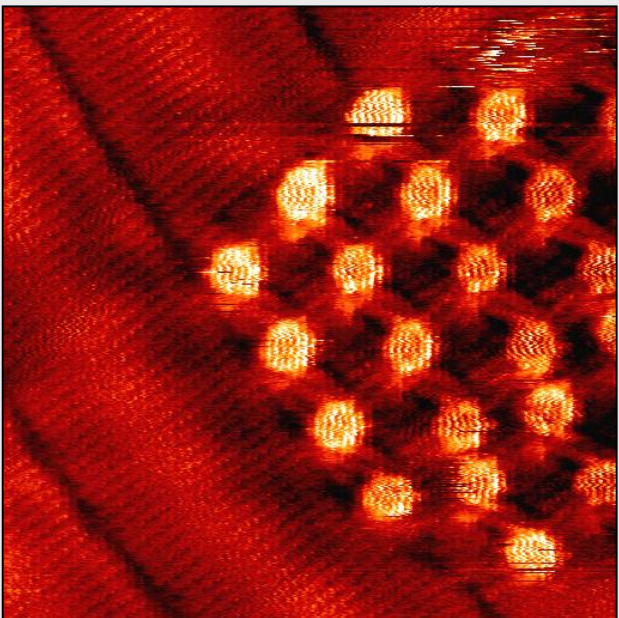
- нанесение из раствора
- возможность *in situ* наблюдений
- высокая оперативность
- разнообразие адсорбционных систем

EC NTEGRA: AFM and STM Design and EC Cells for the NTEGRA



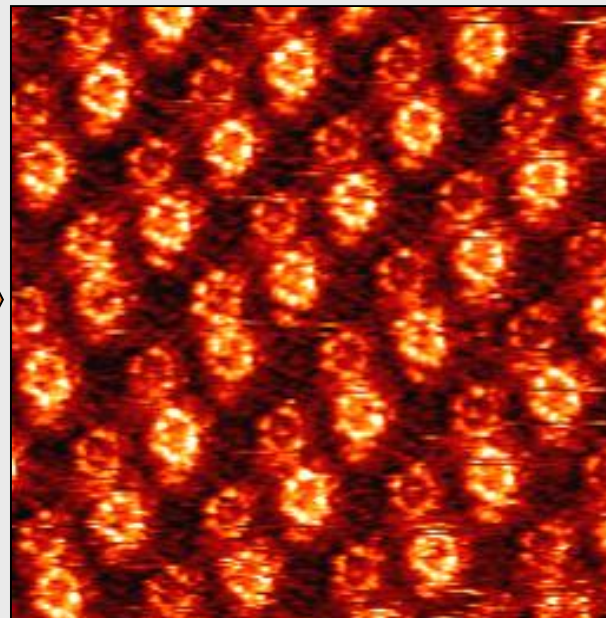
Фазовые превращения в НВС-монослоях на $C_{50}H_{102}$

α -phase



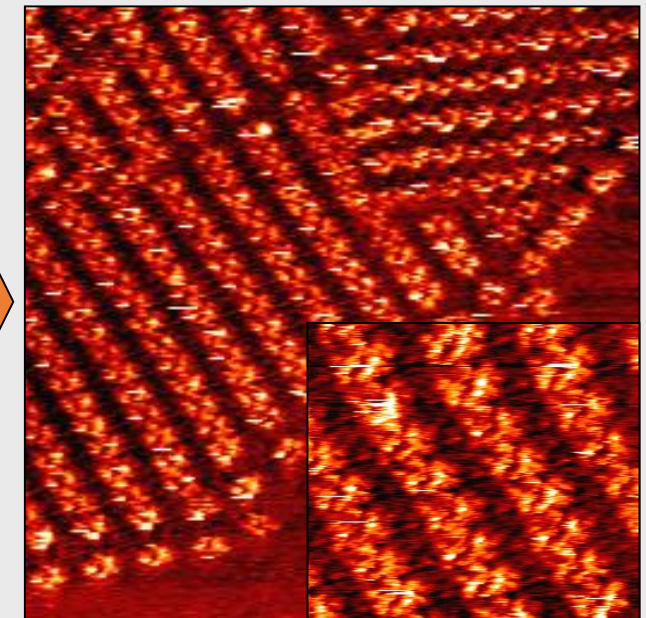
$19 \times 19 \text{ nm}^2$

β -phase

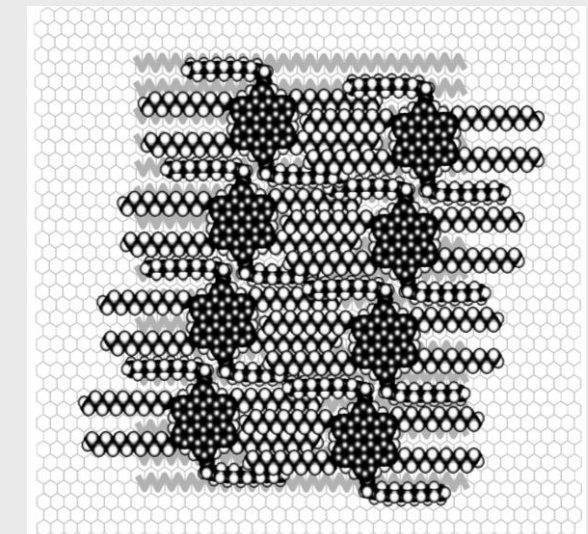
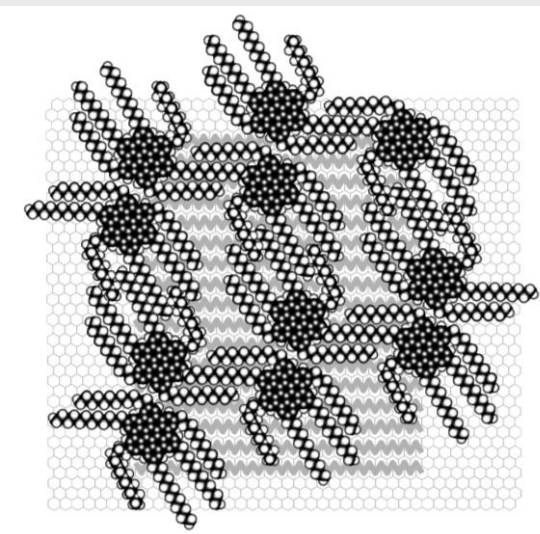
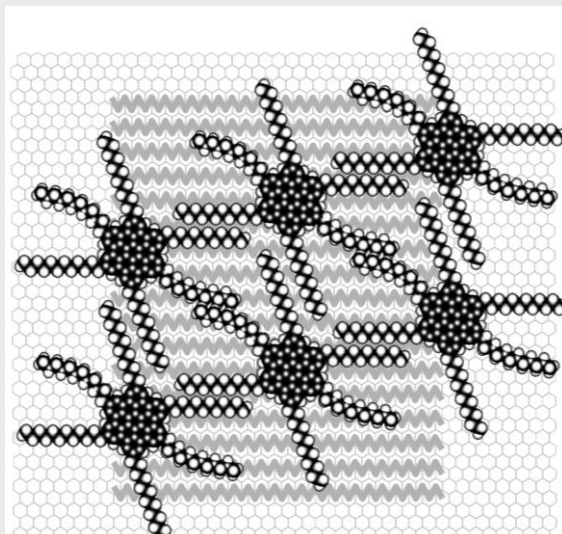


$23 \times 23 \text{ nm}^2$

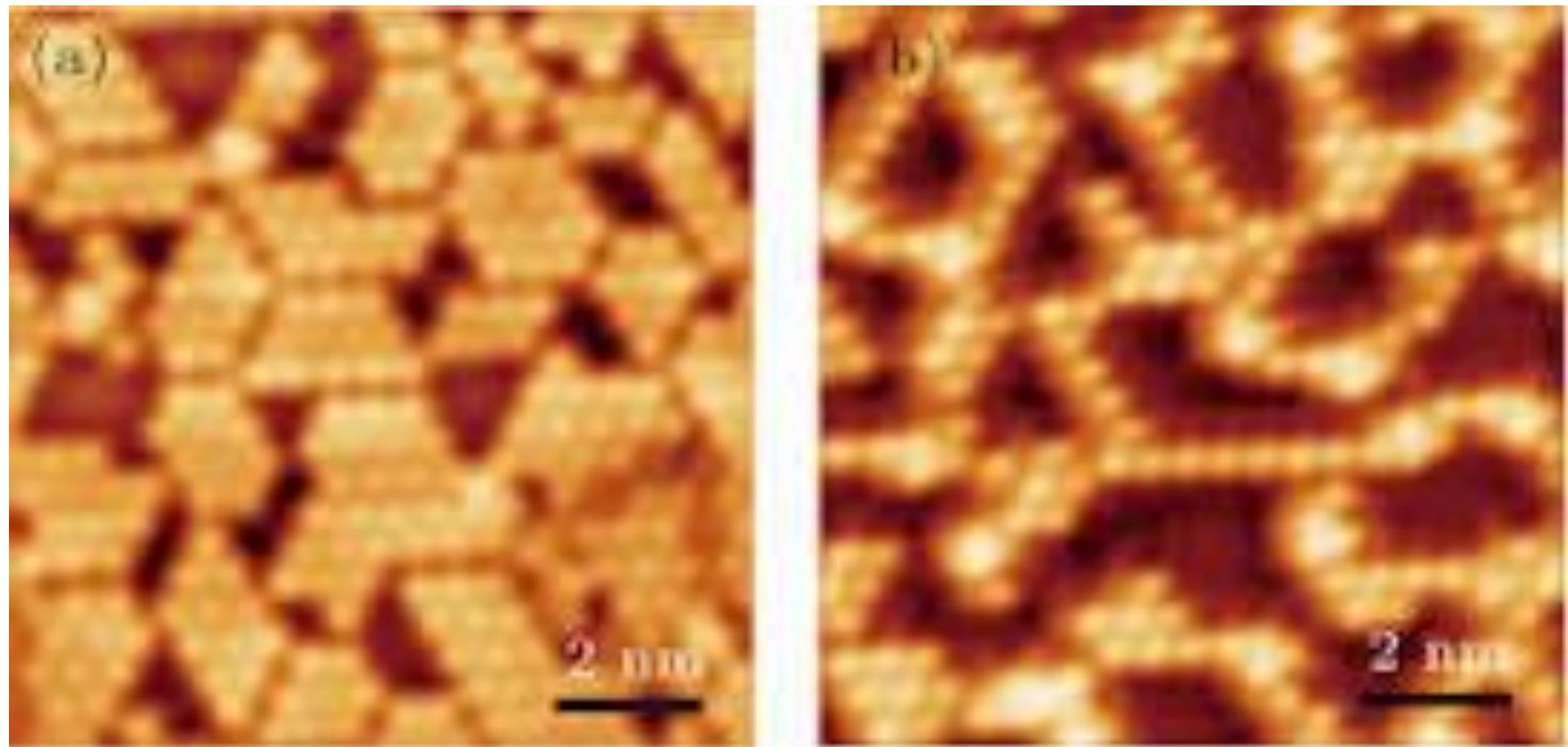
γ -phase



$37 \times 37 \text{ nm}^2$



STM на поверхности монокристалла золота



СТМ-исследование адсорбции селена на поверхности Au(111)^{*}

Бинь Лю (刘斌)¹, Юань Чжуан (庄源)¹, Яндэ Цюэ (阙炎德)¹, Чаоцян Сюй (徐超强)¹ и Сюйдун Сяо (肖旭东)¹

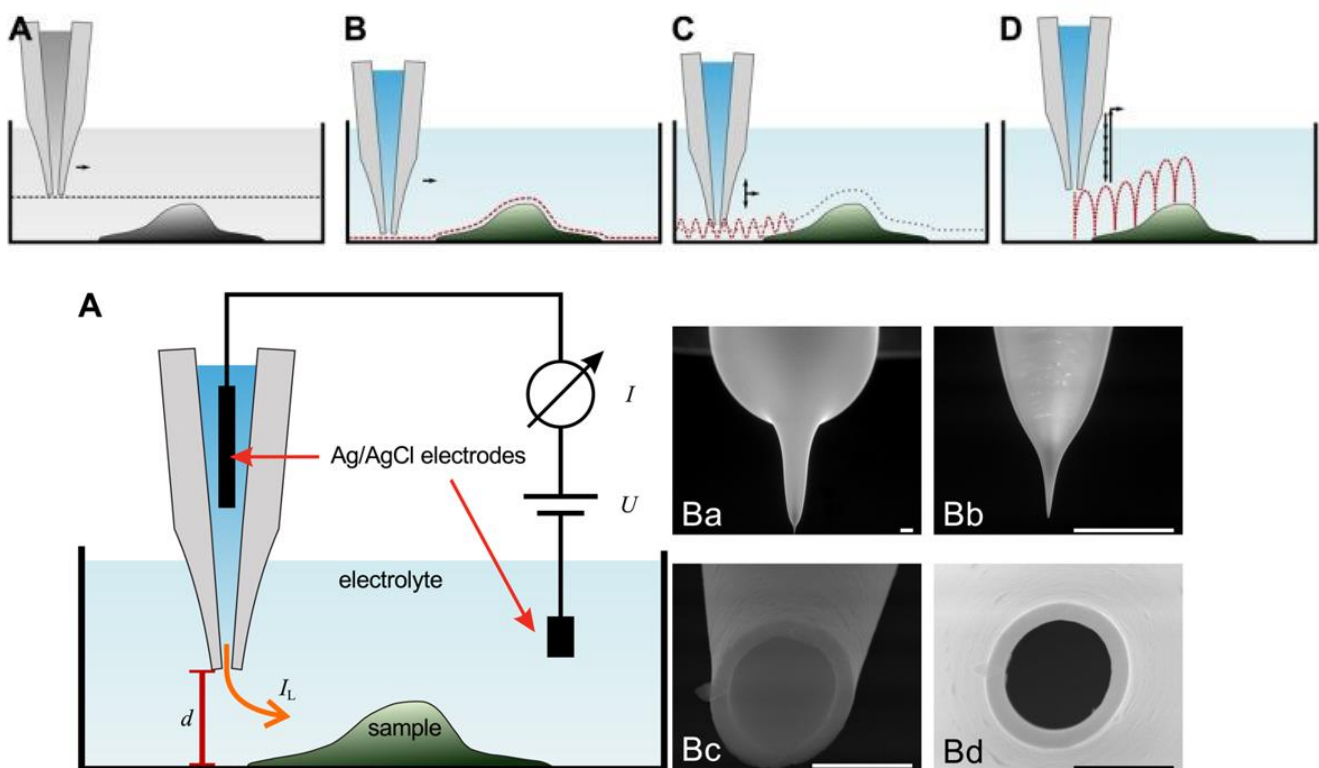
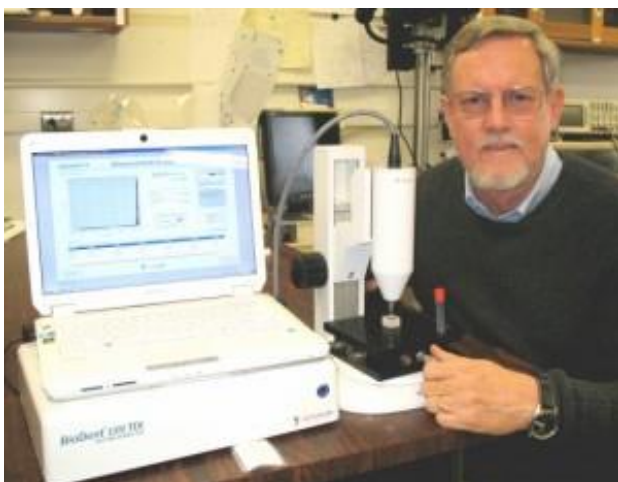
© 2020 Китайское физическое общество и IOP Publishing Ltd [Китайская физика В, том 29, номер 5](#)

Цитирование Bin Liu *et al* 2020, Китайская физика. Б 29 056801

Сканирующая микроскопия ионной проводимости

Сканирующая микроскопия ионной проводимости(СМИП) была предложена профессором Паулем Хансма (Paul Hansma) в 1989г. Ее методы позволяют измерять рельеф непроводящих поверхностей, погруженных в раствор электролита.

В отличии от традиционных методов СЗМ, методы СМИП не требуют наличия твердой поверхности у образца, а так же не повреждают ее, что позволяет исследовать живые клетки методами СМИП, не убивая их.

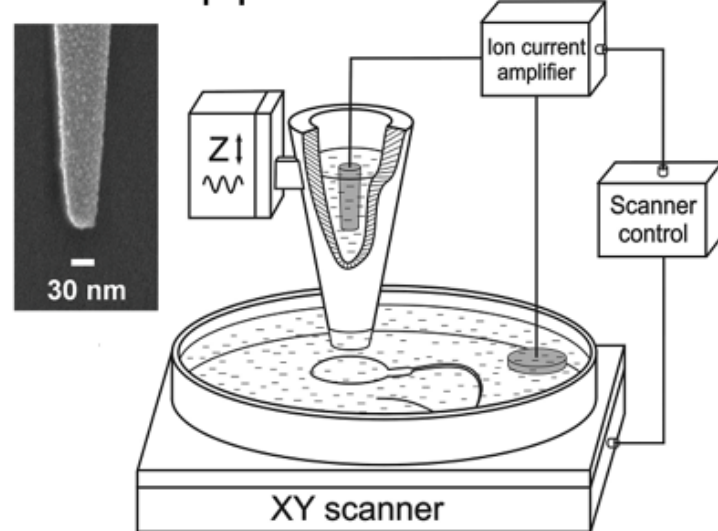


В 1989 году Хансма предложил Капиллярную микроскопию, а в 1996 профессор Юрий Корчев предложил «ХОППИНГ» моду, сделавшим капиллярную микроскопию востребованным методом исследования

Hansma P.K., Drake B., Marti O., Gould S.A.C.,
Prater C.B. The scanning ion-conductance
microscope. *Science*. 1989; 243: 641-643

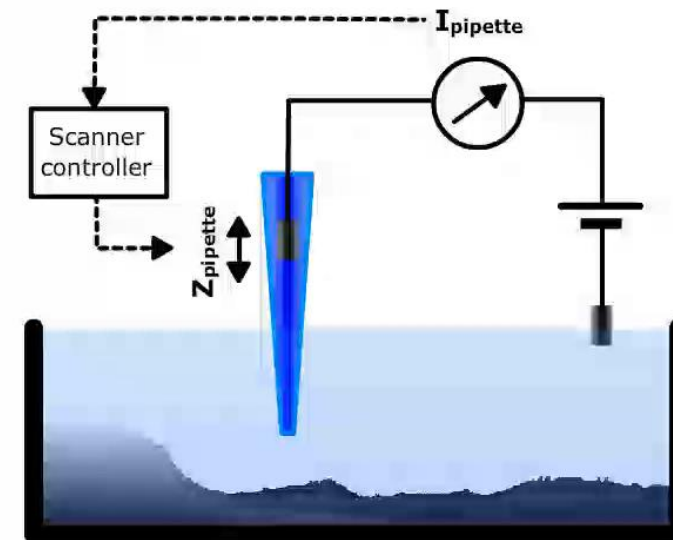


Nanopipette



Korchev Y.E., Bashford C.L., Milovanovic M.,
Vodyanoy I., Lab M.J.

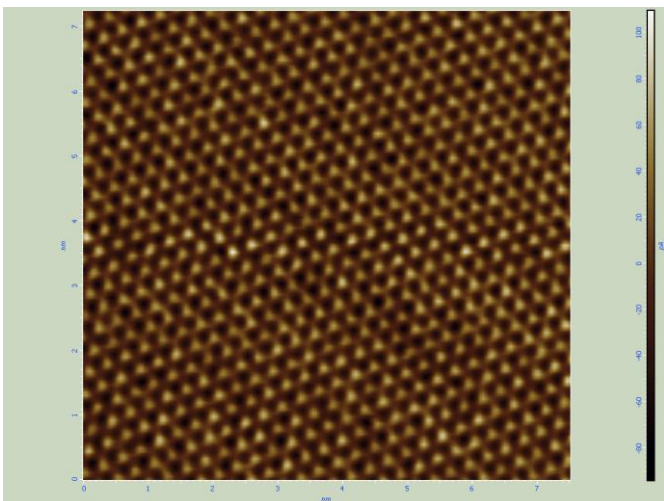
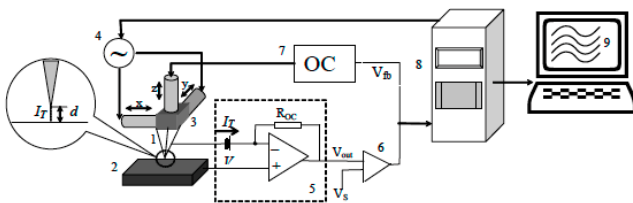
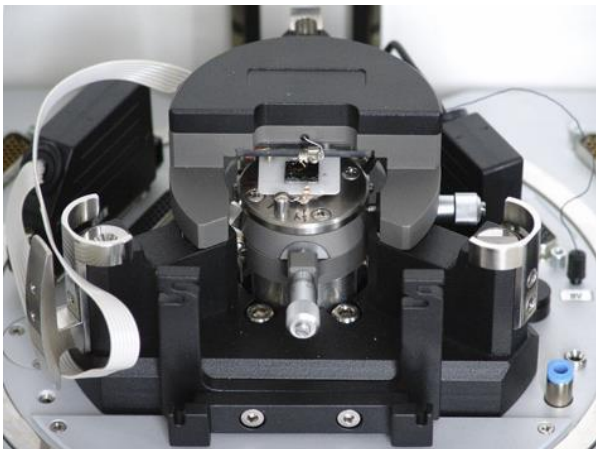
Scanning ion conductance microscopy of living
cells. *Biophys. J.* 1997; 73: 653-658



Методы СЗМ

Сканирование с регистрацией электрического тока между зондом и образцом

СТМ на воздухе



СТМ изображение поверхности HOPG

Поверхность Au(111)

СТМ в Электро-химической ячейке

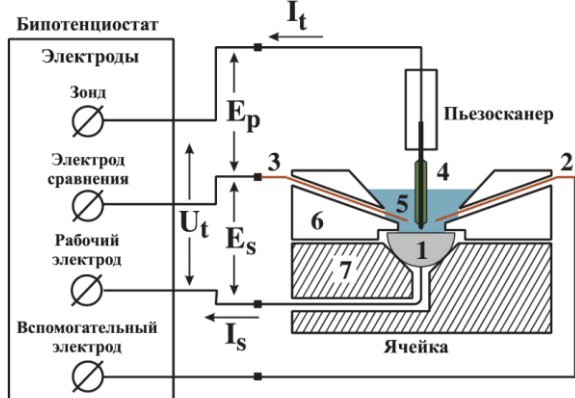
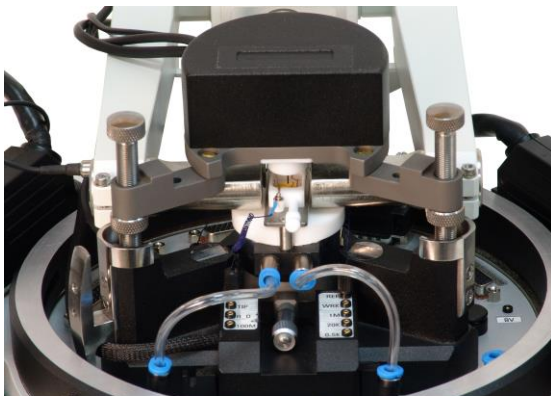
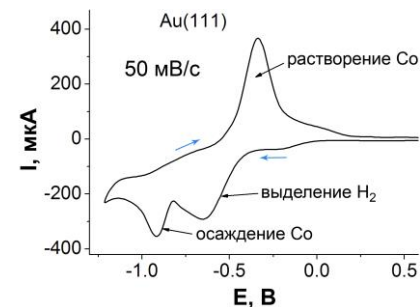
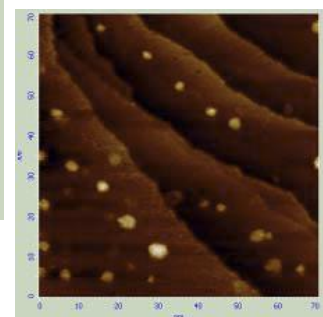
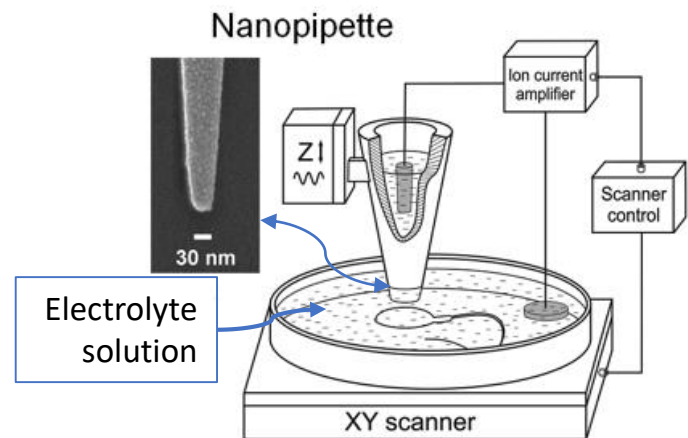


Рис. 1-9.
1 – образец, 2 – вспомогательный электрод, 3 – электрод сравнения, 4 – зонд,
5 – электролит, 6 – корпус, 7 – основание ячейки

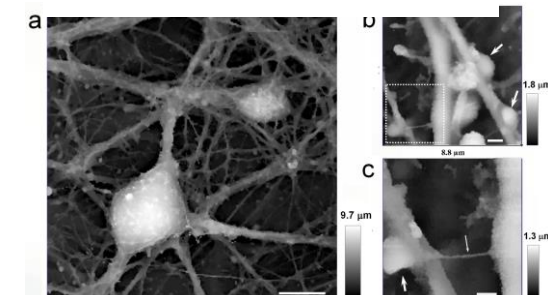
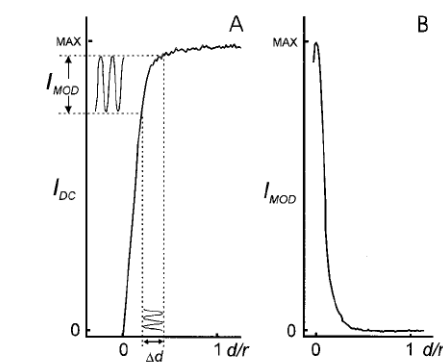


ЦВА Au(111) в растворе, содержащем 1 мМ Co^{2+} .

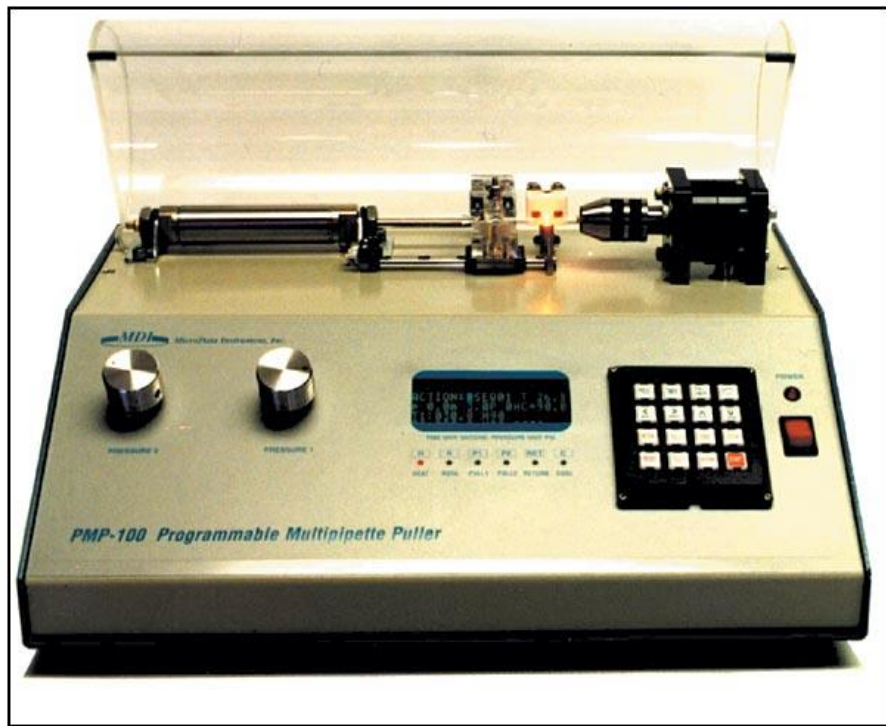
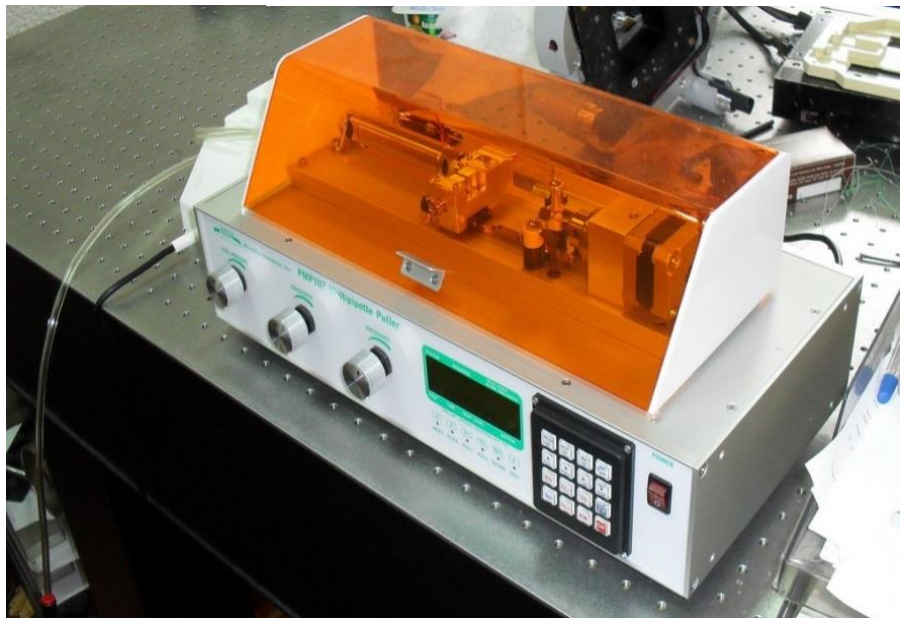
Капиллярная зондовая микроскопия, Хоппинг -мода



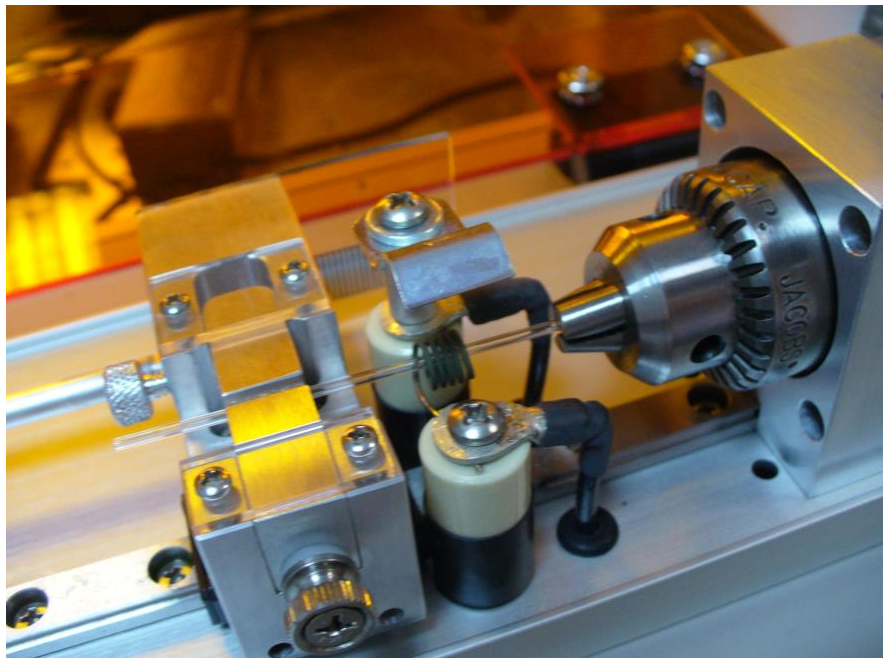
Electrolyte solution



Изготовление микропипеток



PMP-107

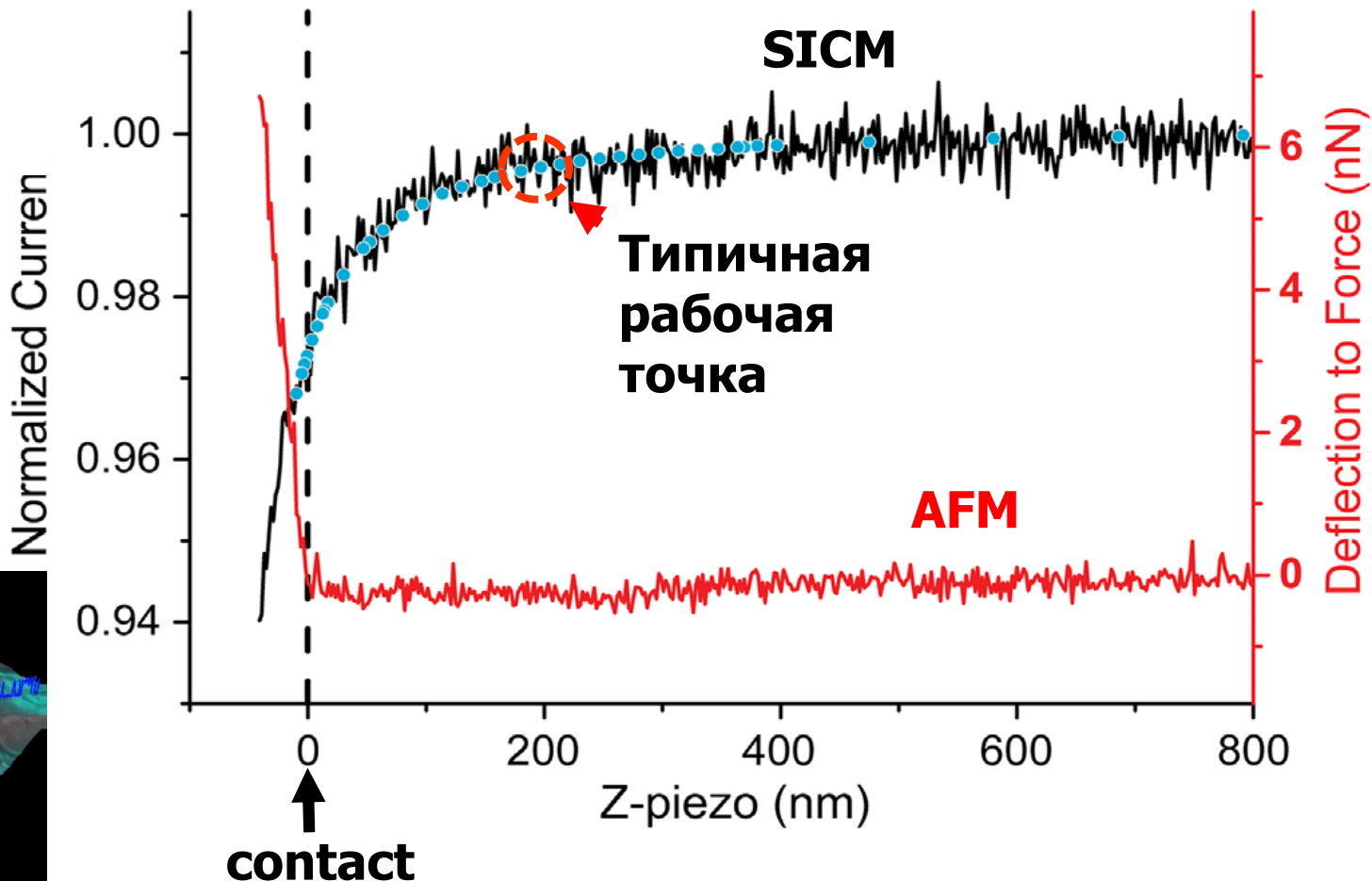
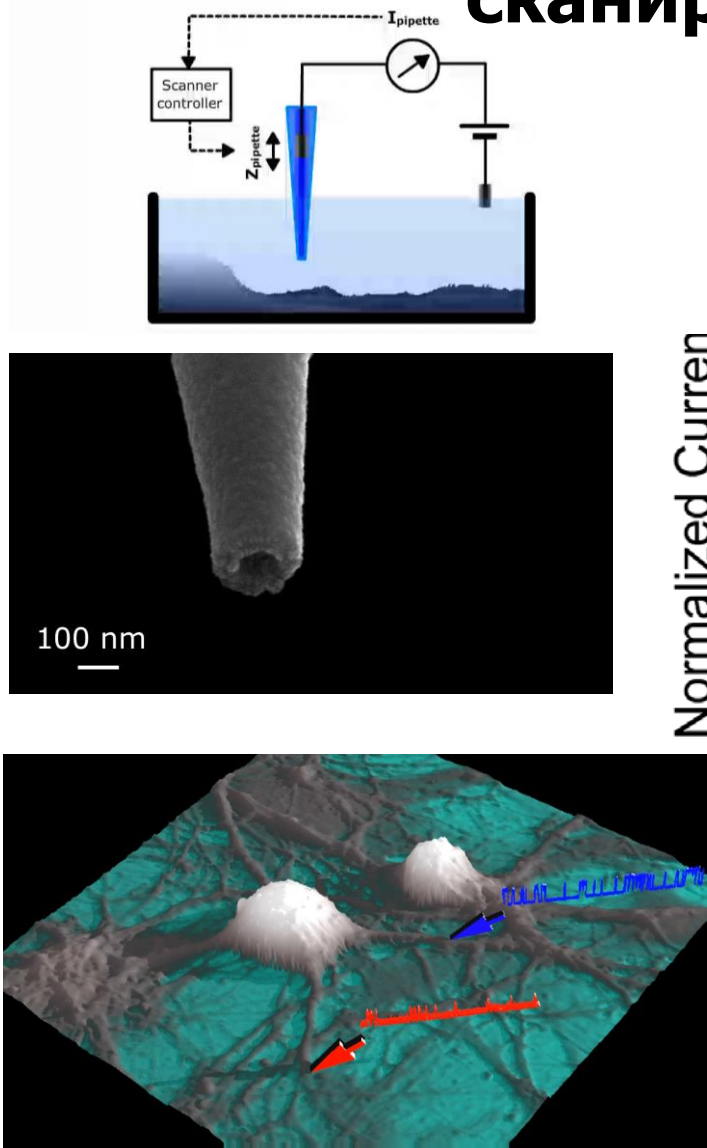


Используется пуллер производства Warner Instruments

Микропипетки изготавливаются из боросиликатных стеклянных трубок

Размер кончика микропипеток варьируется от единиц до сотен нанометров

Капиллярная электрохимическая сканирующая микроскопия, "Hopping" - мода

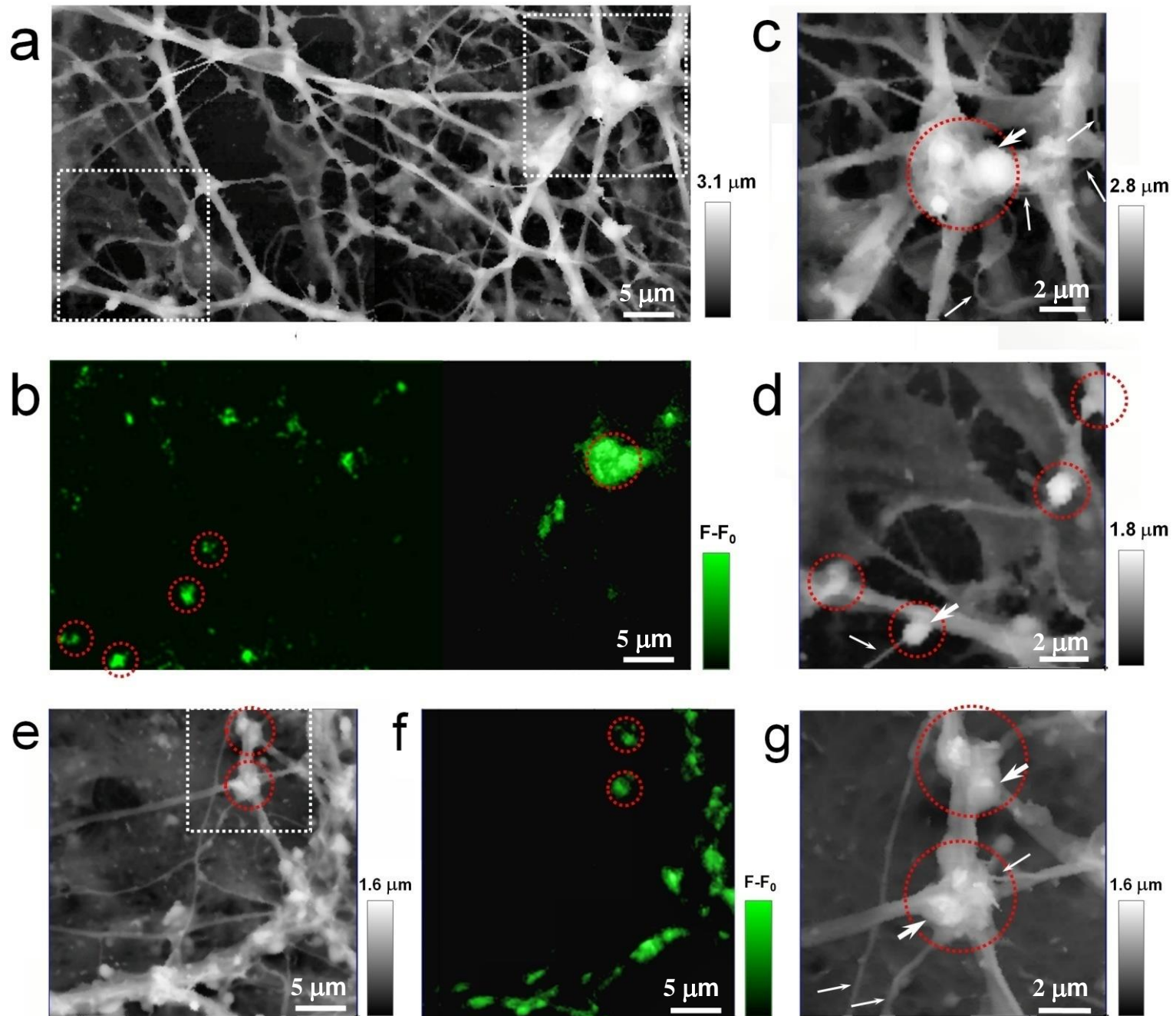


Измеряется ток между электродом в
капилляре и электродом водном растворе

Ossola et al, Phys Rev Lett 115, 238103 (2015)

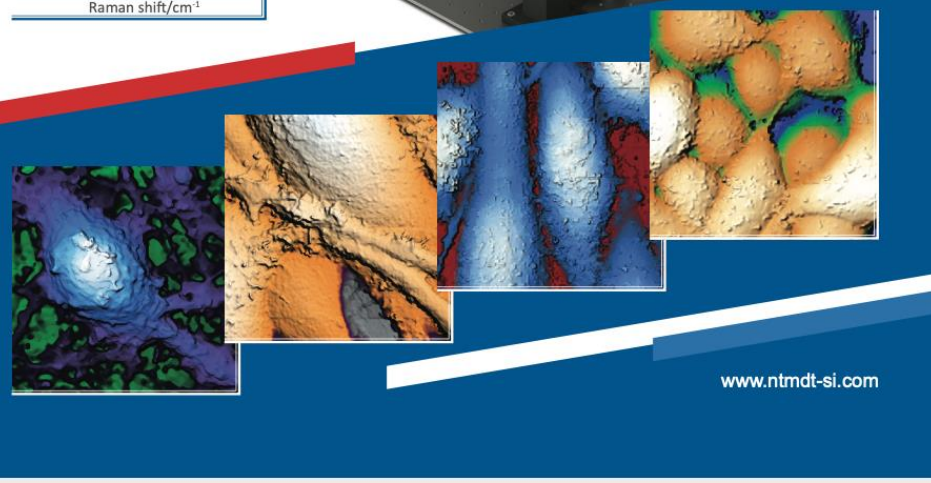
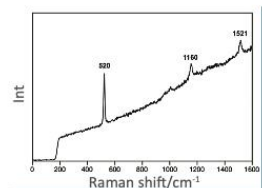
Yuri Korchev, Faculty of Medicine
Imperial College, ICAPPIC Co., London

Hippocampal Neurons



NTEGRA Marlin

Новейшая система
АСМ-Раман-СМИП
для биологических
и локальных
электрохимических
исследований



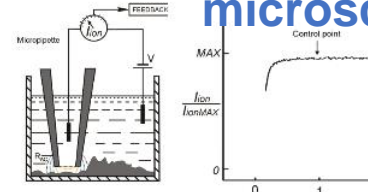
ИНТЕГРА Марлин – Новейшая система
АСМ-Раман-СМИП для биологических и локальных
электрохимических исследований

Проект реализуется
при содействии Фонда
содействия инновациям



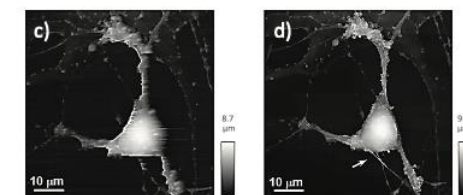
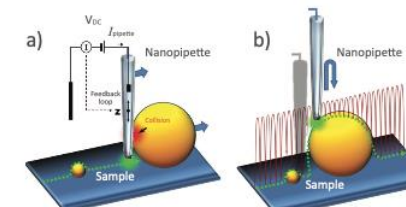
ИНТЕГРА Марлин – Новейшая система АСМ-Раман-СМИП для биологических и локальных электрохимических исследований

Принцип СМИП (Hopping mode ion conductance microscopy)



СМИП (сканирующая ионно-проводящая микроскопия) – это метод СЗМ, который использует нанопипетку (острый стеклянный электрод) для бесконтактного трехмерного картирования поверхности с высоким разрешением. В СМИП расстояние между зондом и образцом контролируется уменьшением ионного тока, протекающего через наконечник по мере приближения к поверхности образца.

Biophys.Journ. 73, 653-658

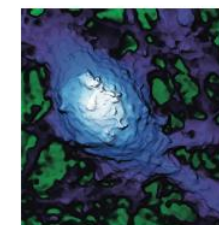


Непрерывные и «скачковые» СМИП изображения нейронной клетки с сильно развитым рельефом. (а) Рисунок сканирующего зонда с нанопипеткой, работающего в режиме непрерывного сканирования, сталкивающегося со сферическим объектом, имеющим кругой вертикальный наклон. (б) Рисунок «скачкового» режима, используемого в СМИП, показывающий, как пипетка отводится в положение значительно выше образца перед приближением к поверхности. (с,д) Изображения

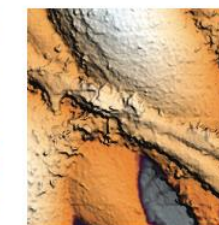
одного и того же фиксированного нейрона гиппокампа, полученного сначала в «скачковом» режиме (д) и затем в режиме растрового сканирования слева направо (с), используя ту же нанопипетку. Скачковый алгоритм, применяемый к СМИП, позволяет отображать неровные и слабозакрепленные объекты с высоким разрешением, благодаря тому, что зонд-пипетка всегда приближается к образцу сверху, а не «тащит» его по поверхности. Nature Meth. 6, 279-281

СМИП визуализация живых клеток

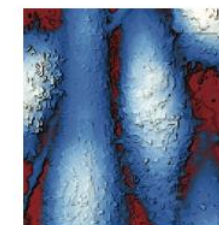
Бесконтактный скачковый алгоритм СМИП позволяет проводить быстрые и стабильные измерения мягких и сильно «гофрированных» объектов с высоким разрешением, таких как живые клетки, в естественной физиологической среде.



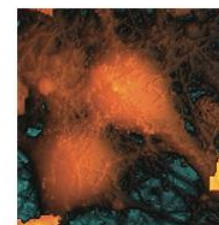
СМИП-изображение нейрона
из мышьного гиппокампа
10x10x6,3 мкм



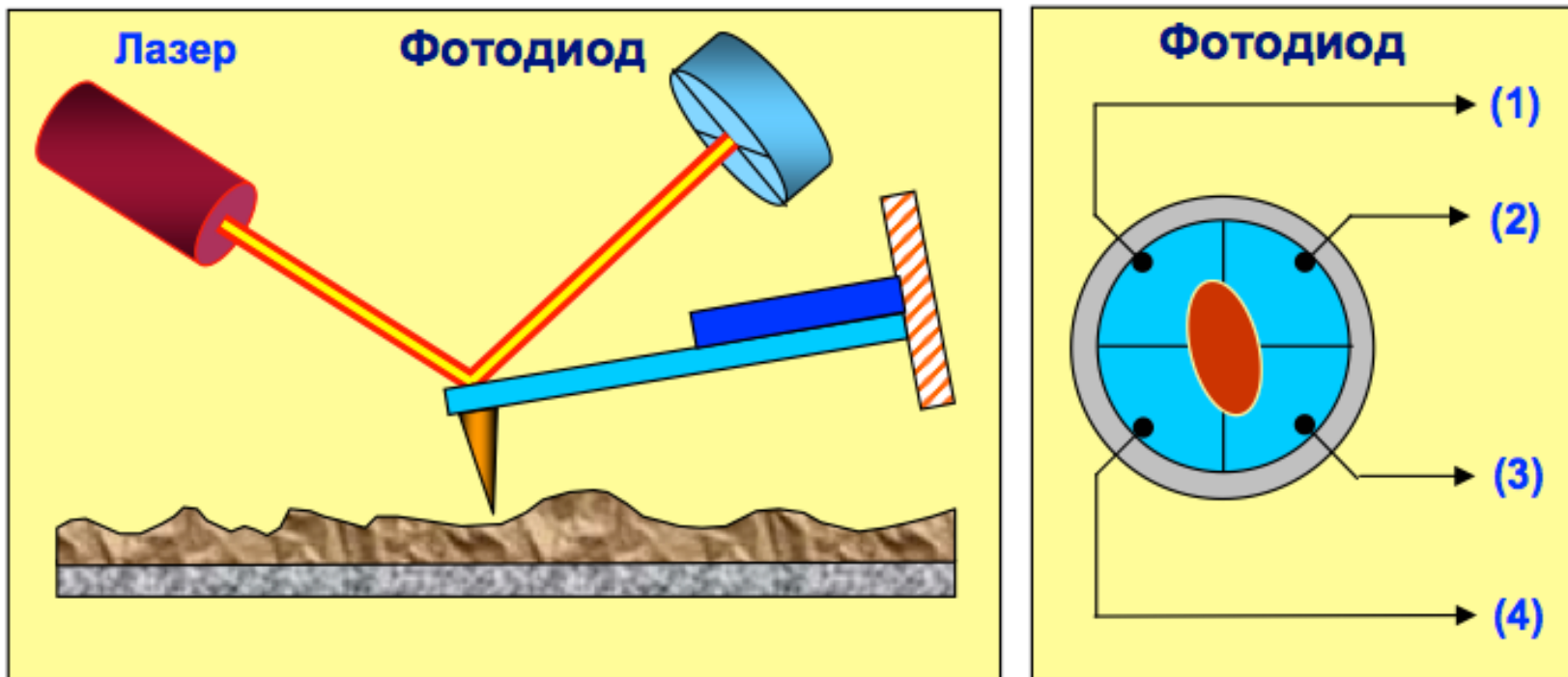
СМИП-изображение клеток
меланомы B16 25x25x5,4 мкм



СМИП-изображение клетоккарциномы PC3 предстательной
железы человека 40x40x6,8 мкм



СМИП-изображение живого
нейрона из гиппокампа мыши
40x40x13,3 мкм



Meyer G., Amer N.M. Erratum: novel optical approach to atomic force microscopy// Appl. Phys. Lett. 53 (24), 2400-2402, (1988)

The first AFM



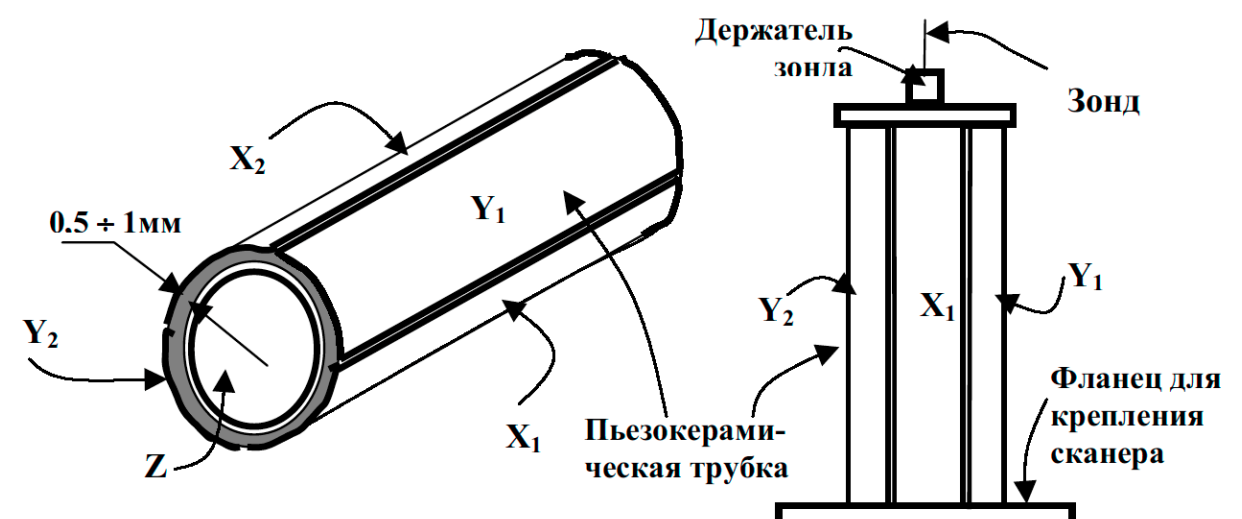
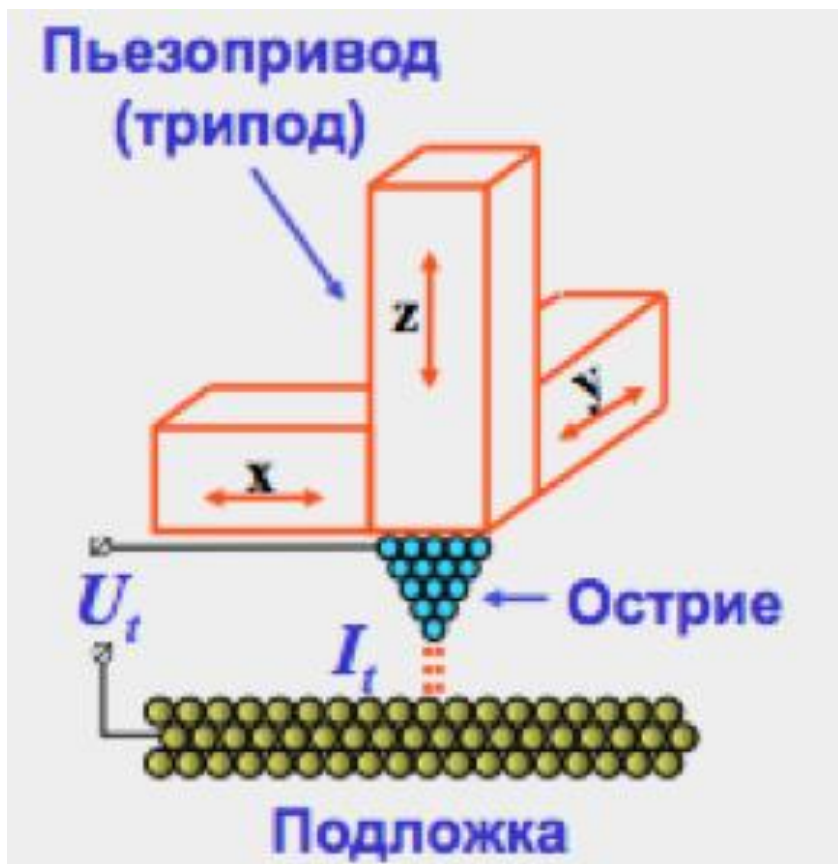
G. Binnig, Ch. Gerber and C.F. Quate, Phys.
Rev. Lett. 56, 930 (1986)



Первый АСМ НТ-МДТ, SOLVER P4,
1994 год



Малые перемещения можно делать используя пьезоэлектрическую керамику, не имеющую принципиальных ограничений на минимальные изменения размеров при приложении потенциала



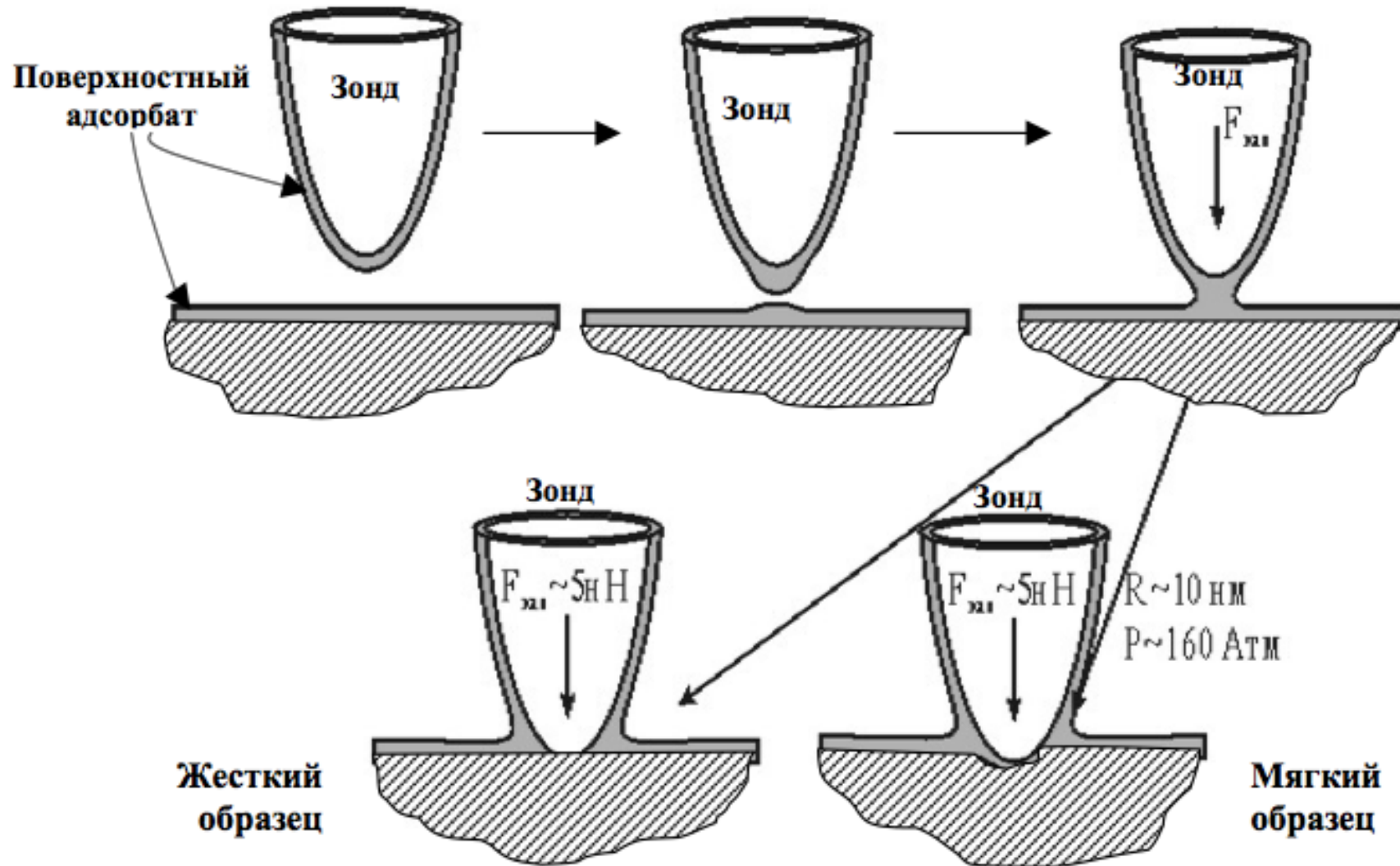


В Компании Digital Instruments
В. Быков, Верджил Эллингс (президент DI)
и Серей Магонов, 1998 год, California, Santa
Barbara, DI office

В 1989 году Христов Гербер предложил работать
вибрирующим на резонансной частоте зондом, а в
1993 Верджил Эллингс, компания Digital
Instruments, CA, USA, оснастил ей NANOSCOPE-3 -
TAPPING MODE, что резко сделало АСМ по
настоящему востребованными приборами



Христов Гербер Швейцария, Цюрих,
IMM – STM/AFM



Полуконтактные моды СЗМ сильно (на 3 порядка) снижают давление иглы на объект и дают возможность проводить неразрушающие исследования (предложены инженером компании IBM Кристофером Гербером)

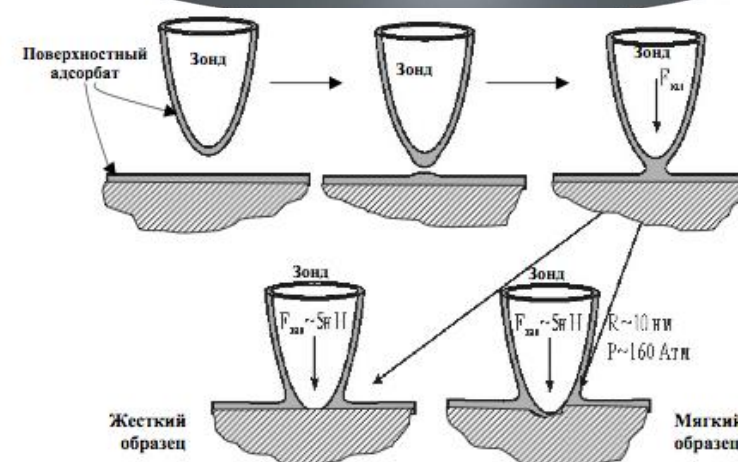
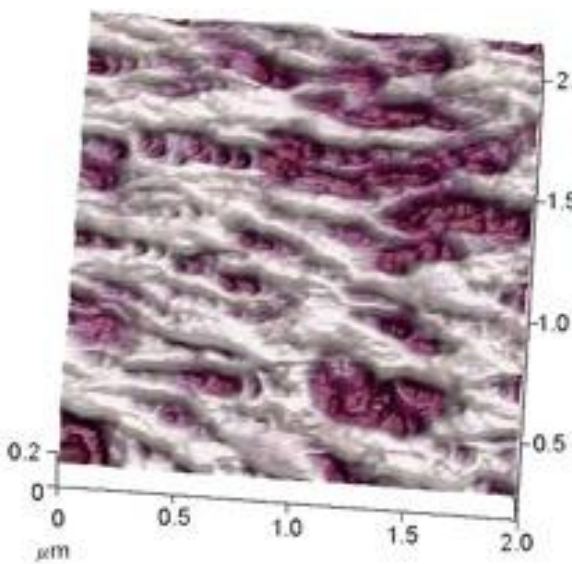
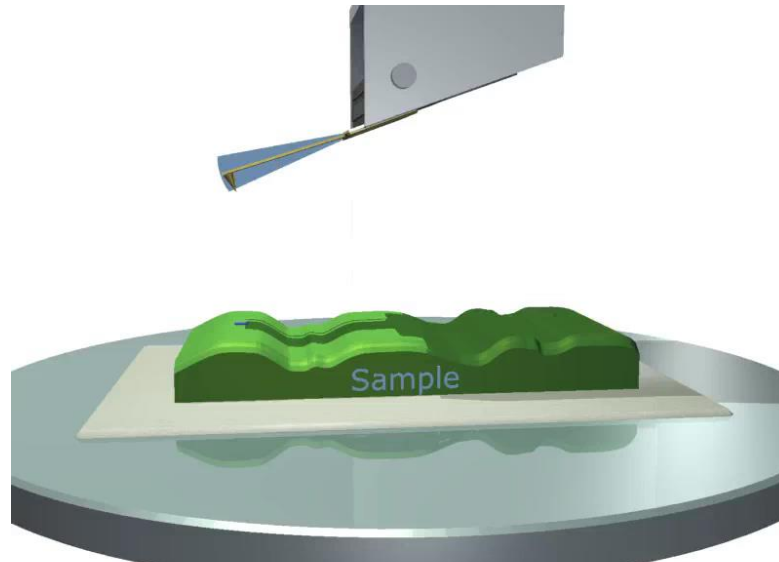
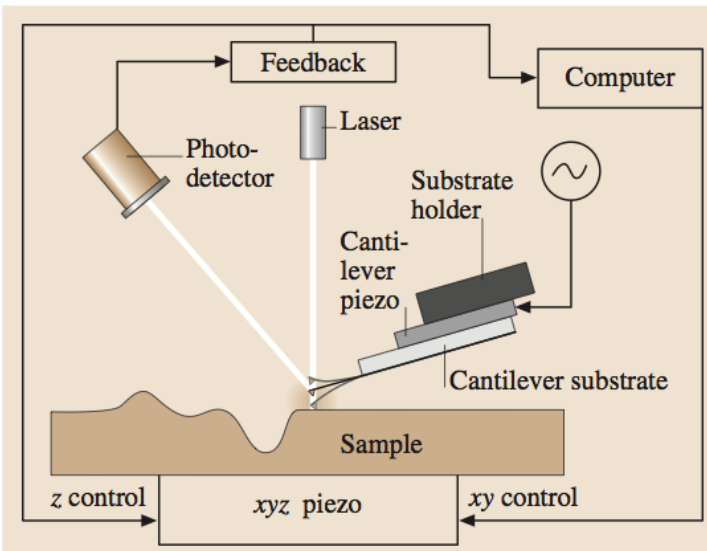
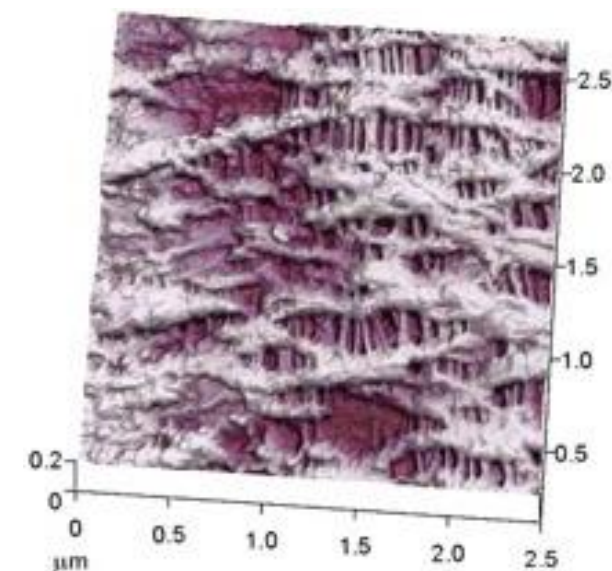


Рис.1.20. схематическое изображение процесса подвода зонда и образца в присутствии подвижного (текущего) поверхности адсорбата

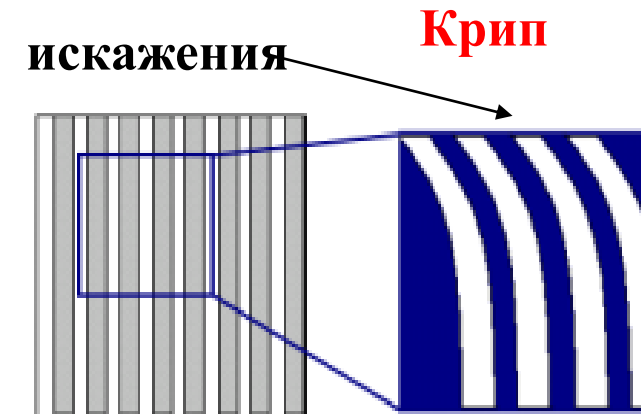
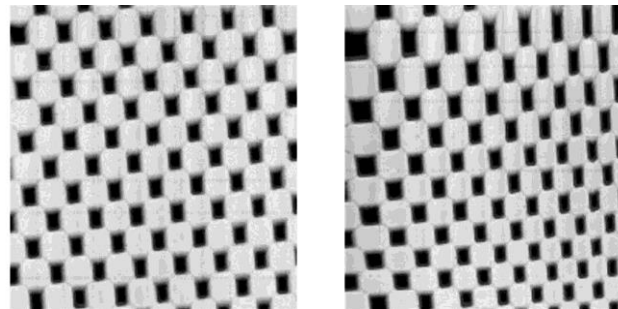
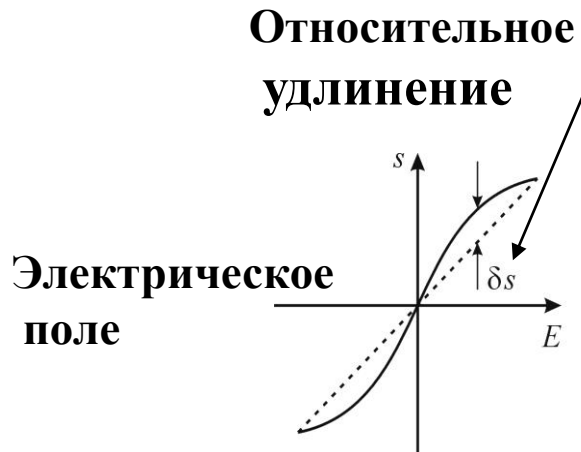




На конференции в Швейцарии, июнь 2016 год
На конференции в Швейцарии, июнь 2016 год

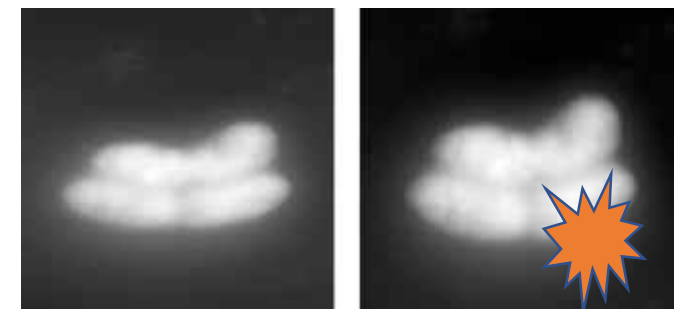
Инструментальные артефакты, связанные с конструкцией сканера

Собственная нелинейность сканера



В плоскости XY крип проявляется при перемещении или масштабировании области сканирования.

В плоскости XY собственная нелинейность проявляется в неравномерности шага сканирования.
В Z направлении собственная нелинейность будет приводить к погрешностям при измерении высоты микрорельефа поверхности.
Термический дрейф компонентов АСМ



<http://afmhelp.com/>

Искажение АСМ-изображения бактерии из-за дрейфа

Сканеры с низко шумящими емкостными датчиками

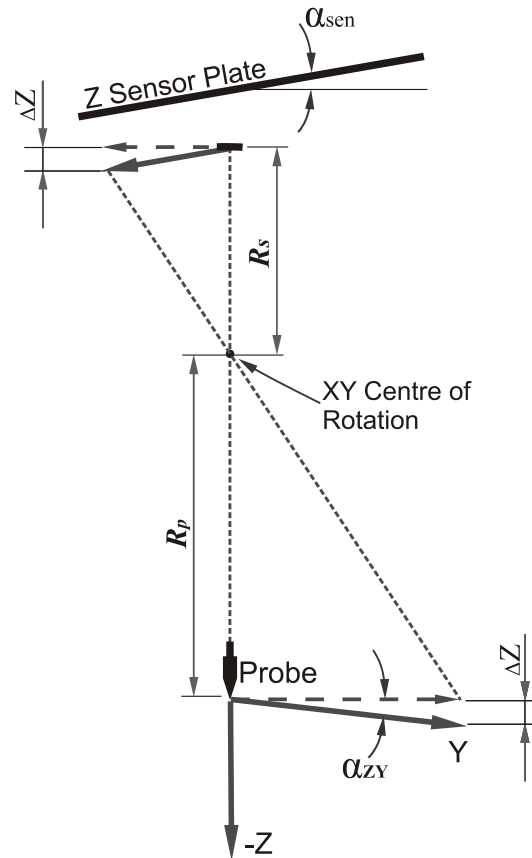
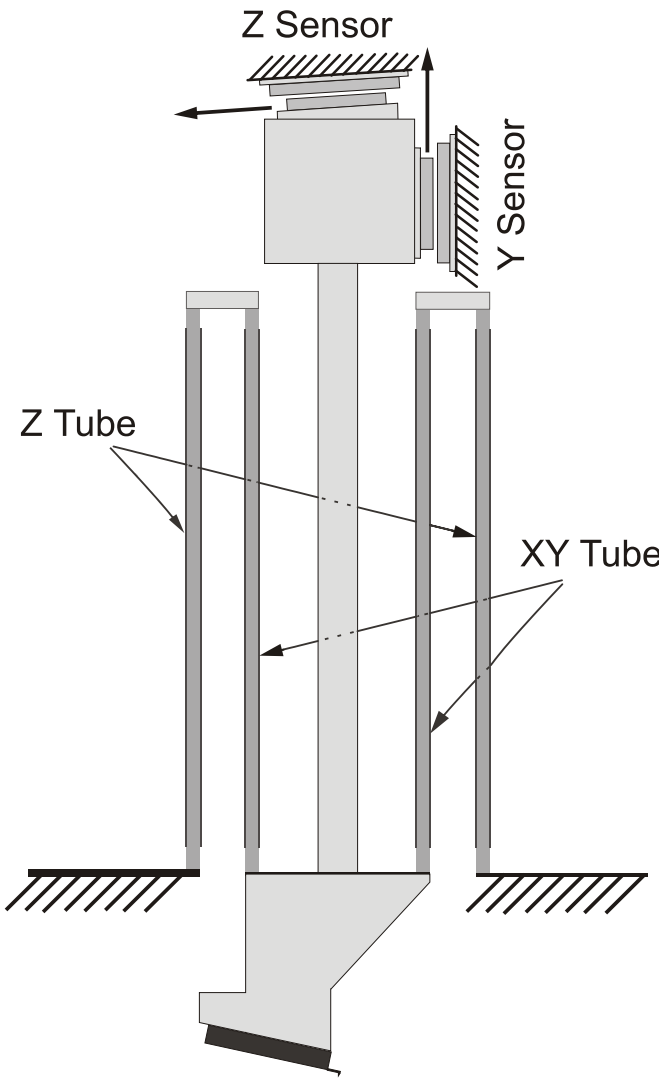


Сканирование образцом

Сканирование зондом

Нелинейность, XY (с датчиками обратной связи)		≤0.1%	≤0.15%
Уровень шума, Z (СКВ в полосе 1000 Гц)	С датчиками	0.04 нм (тиปично), 0.06 нм	0.06 нм (типично), 0.07 нм
	Без датчиков	0.03 нм	0.05 нм

Конструкция 3D сканера с емкостными датчиками



Токовая нанолитография, СЗМ Интегра-Прима



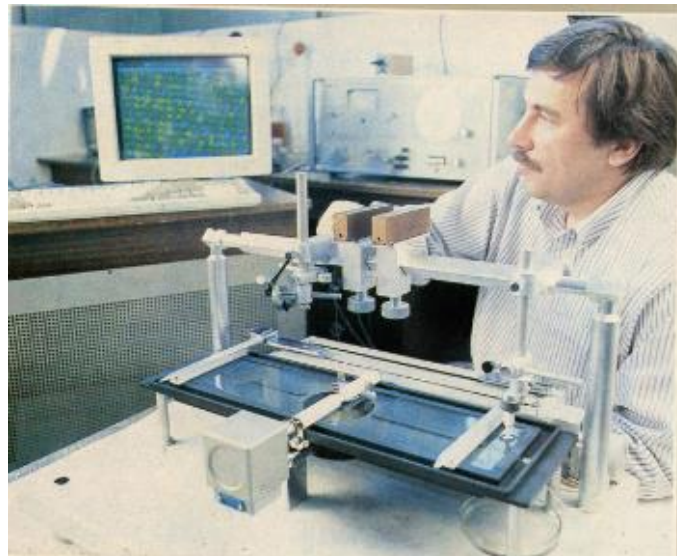
Датчики отключены, размер
скана 1,9x1,9 мкм



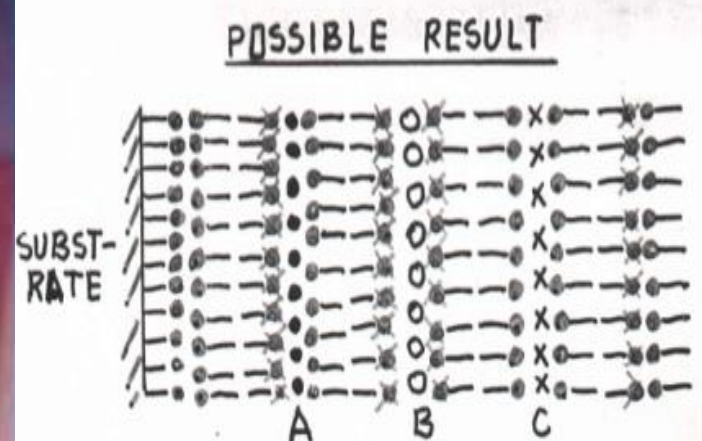
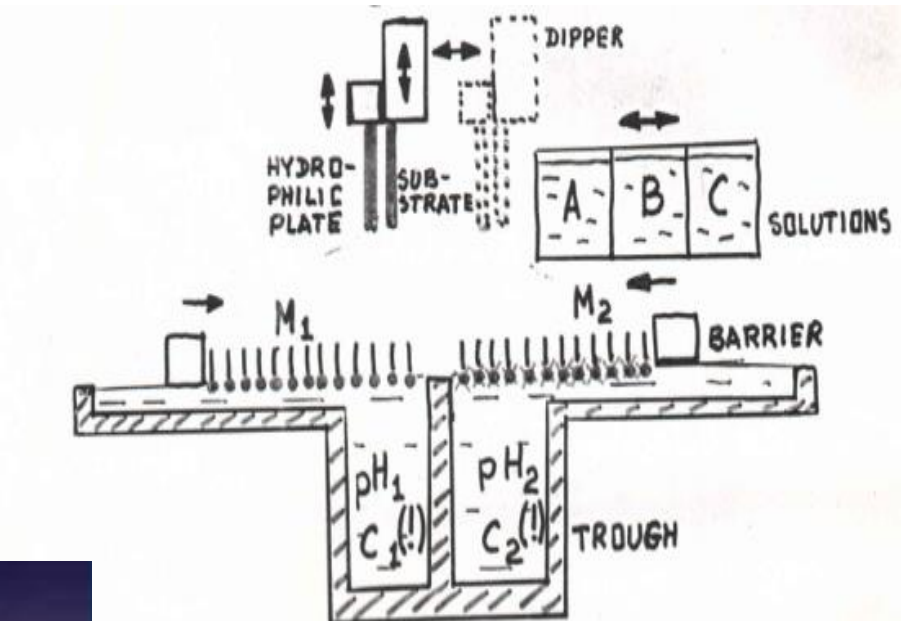
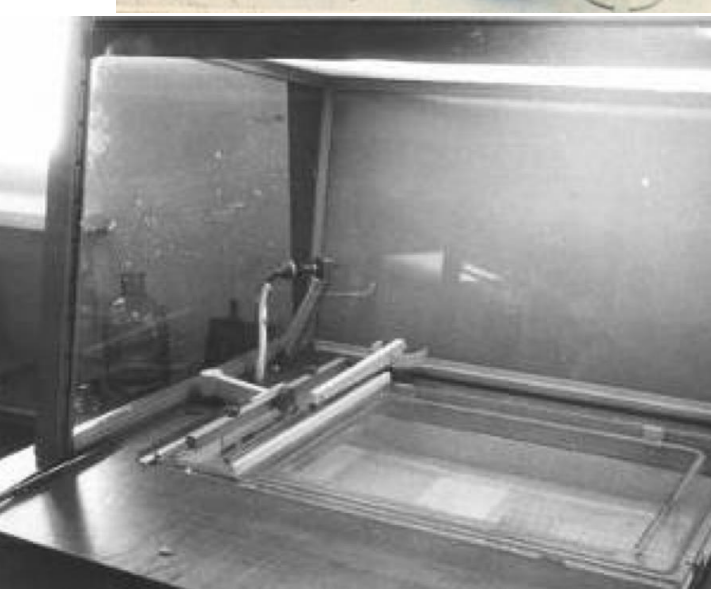
Датчики включены, размер
скана 1,9x1,9 мкм

1973 - 1997 годы: Предполагалось, что пленки и технология Ленгмюра-Блоджетт могут быть основой молекулярной электроники.

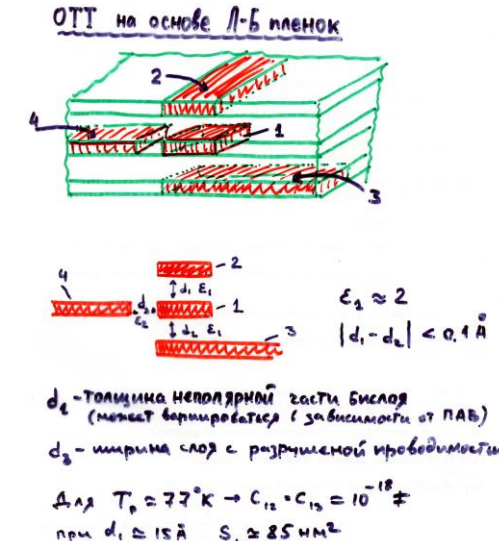
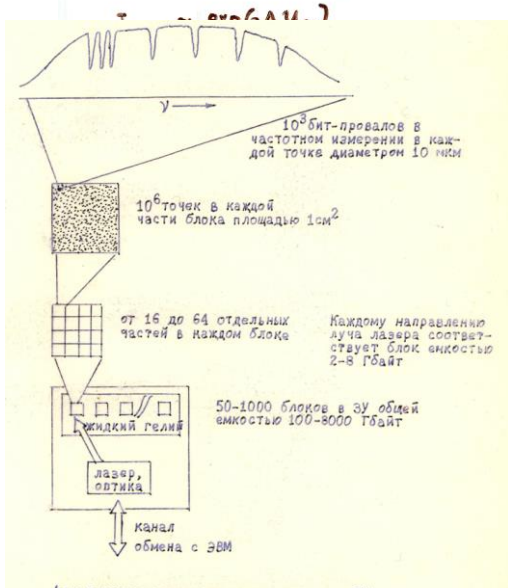
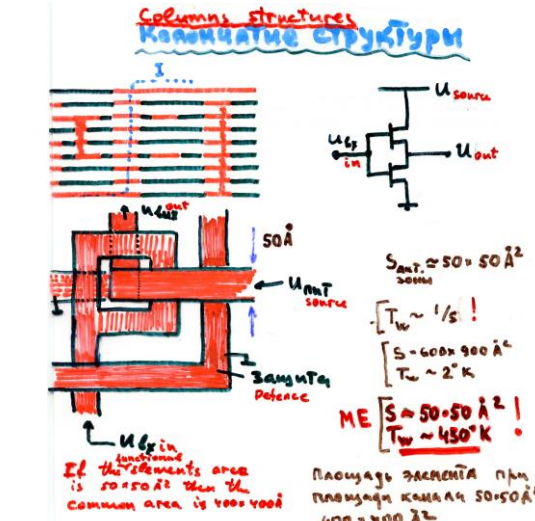
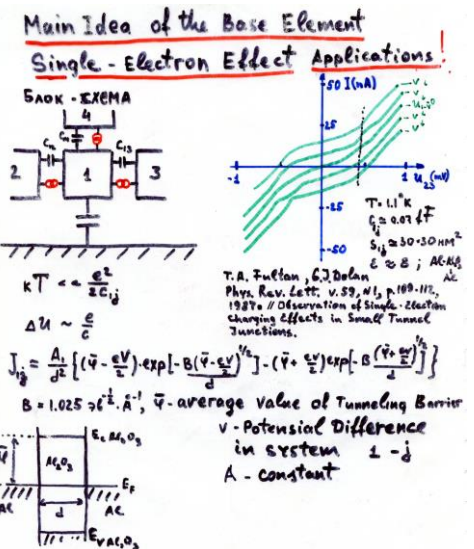
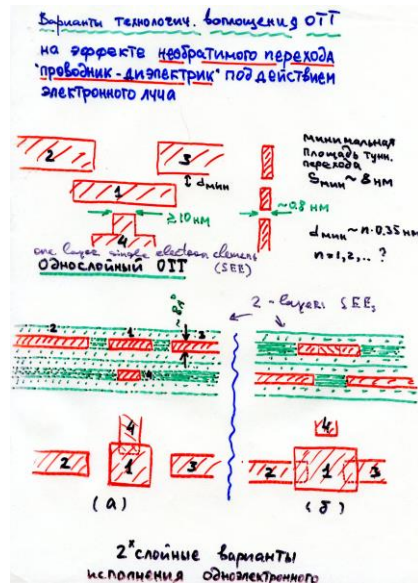
Предполагалось, что ЛБ-технология – это способ формирования заданных структур.
Так ли это?



Установка для нанесения
исследований пленок
Ленгмюр – Блоджетт



Молекулярная нанотехнология (с 1988 года)



Разработка макета матричного репрограммируемого коммутатора на основе эффекта обратимого переноса в системе метал-ЛБ-пленка-полипропиленник.

Цель - в создании макета матричного репрограммируемого коммутатора, используя в качестве рабочей среды систему металл - ЛБ-пленка - полипропиленник.
(стоимость - 340 Т. (1990 - 1991))

Контагенты - НИОПИК

Основные результаты:

СЕЙЧАС

1. разработан переключатель

$I = 10^{-8} \text{ A}$

$U_BI \approx 4 \text{ V}$

2. разработана топология макета коммутатора.

К КОНКУРЕНЦИИ

МАКЕТ КОММУТАТОРА:

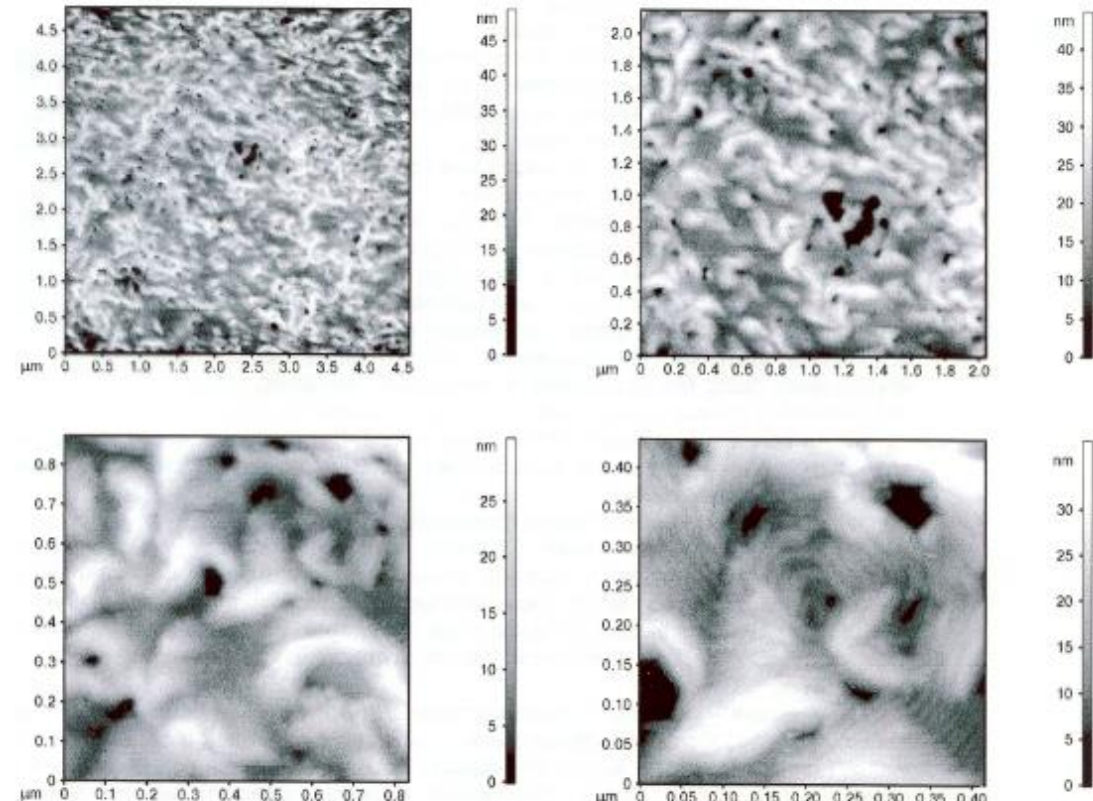
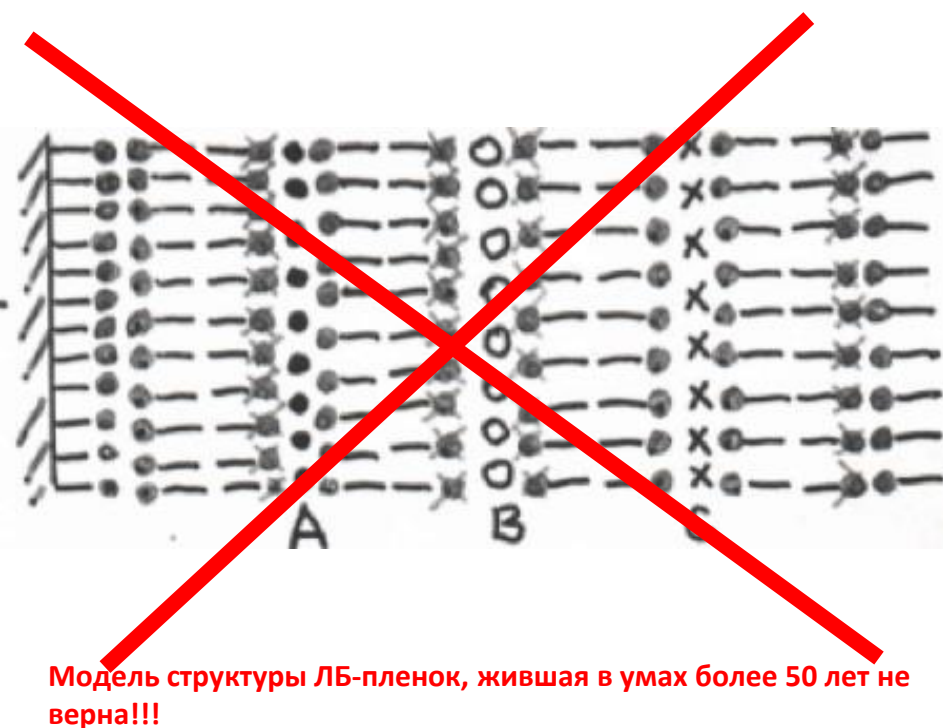
ЧИСЛО ЭЛЕМЕНТОВ — 10×10
РАЗМЕР ЭЛЕМЕНТА — $10 \div 100 \text{ nm}$
ЧИСЛО ЦИКЛОВ ПЕРЕЗАПИСИ — > 10

НАПРЯЖ. СТИРАНИЯ — $-1 \div -10 \text{ В}$
НА ПРИМ. ЗАПИСИ — $+2 \div +10 \text{ В}$

ЧИСЛО ЦИКЛОВ СЧИТЫВАНИЯ — $10^6 \div 10^8$

ПРОВОДИМОСТЬ:
в некомп. состоянии — $10 \div 10^2 \text{ A}$
в комп. состоянии — $10^{-6} \div 10^{-8} \text{ A}$

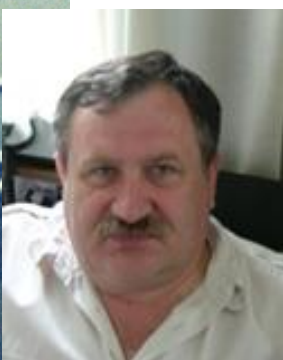
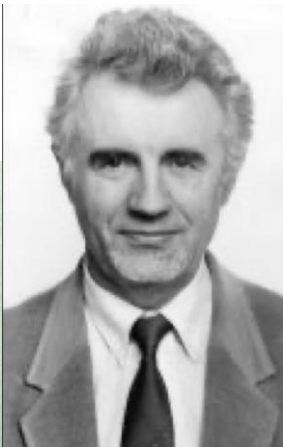
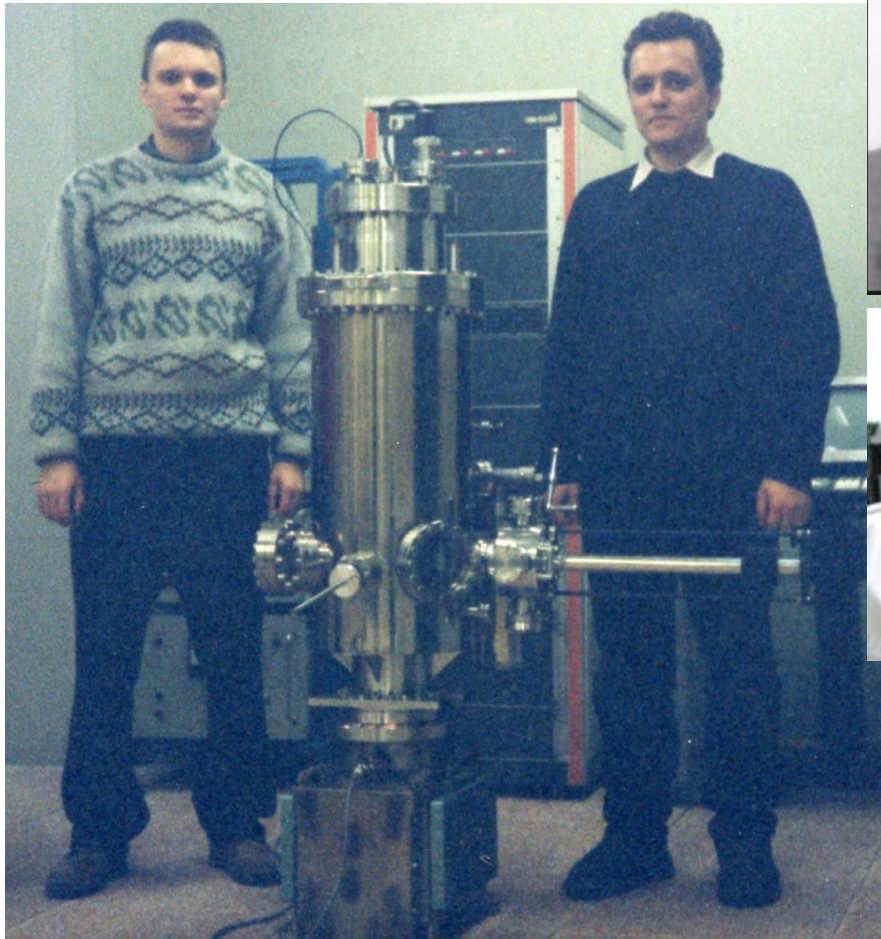
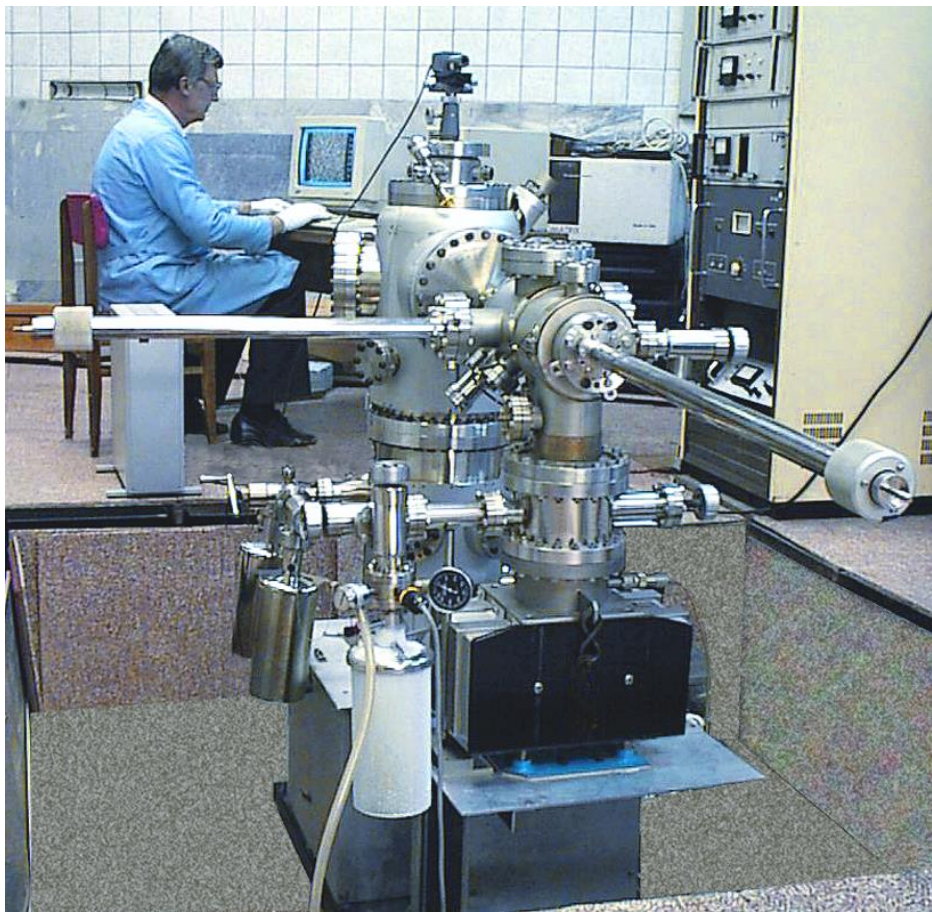
АСМ исследования открыли глаза на строение ЛБ-пленок, как значительно более сложный объект, чем о них думали и без методов АСМ разработка функциональных систем на их основе невозможна



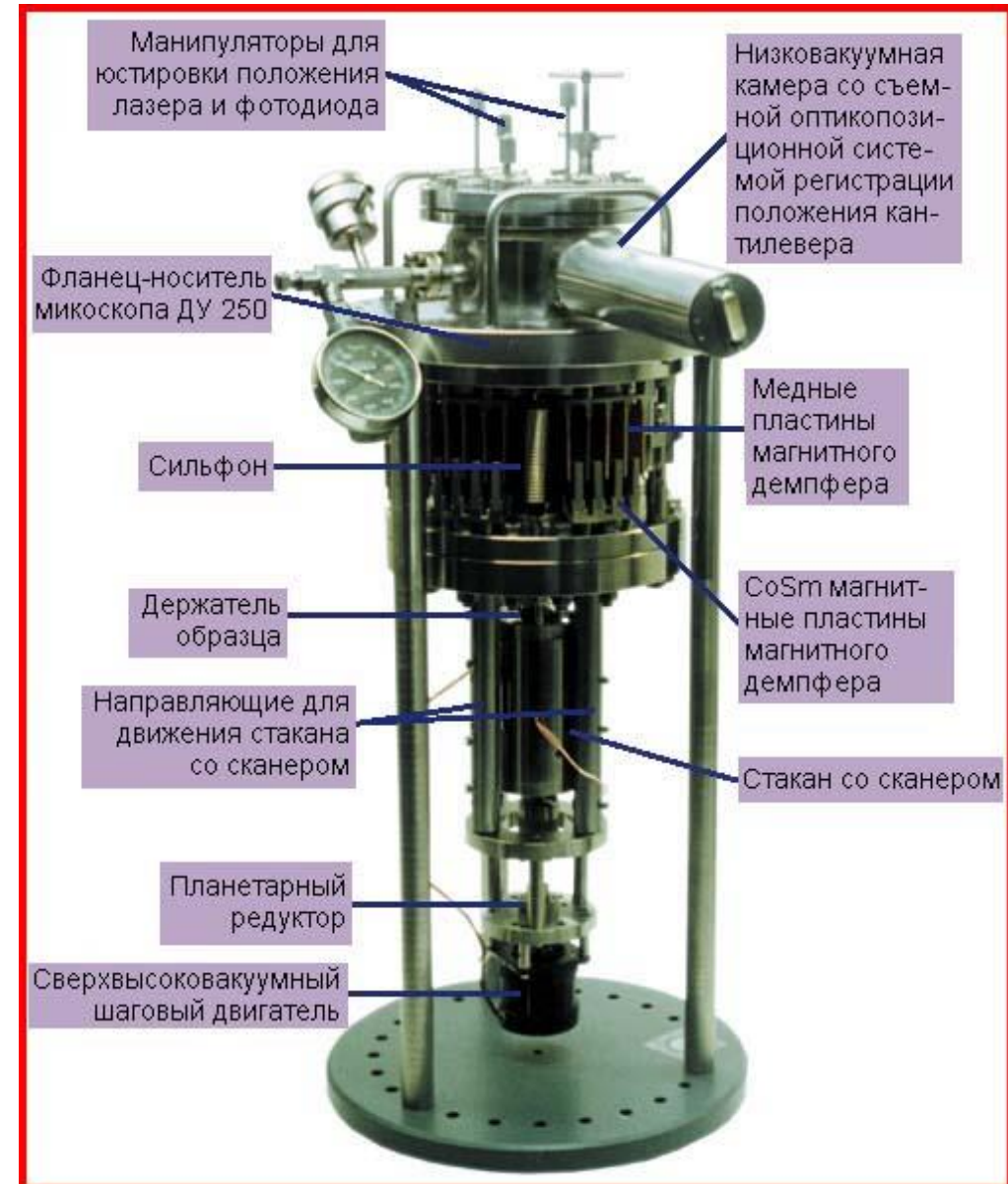
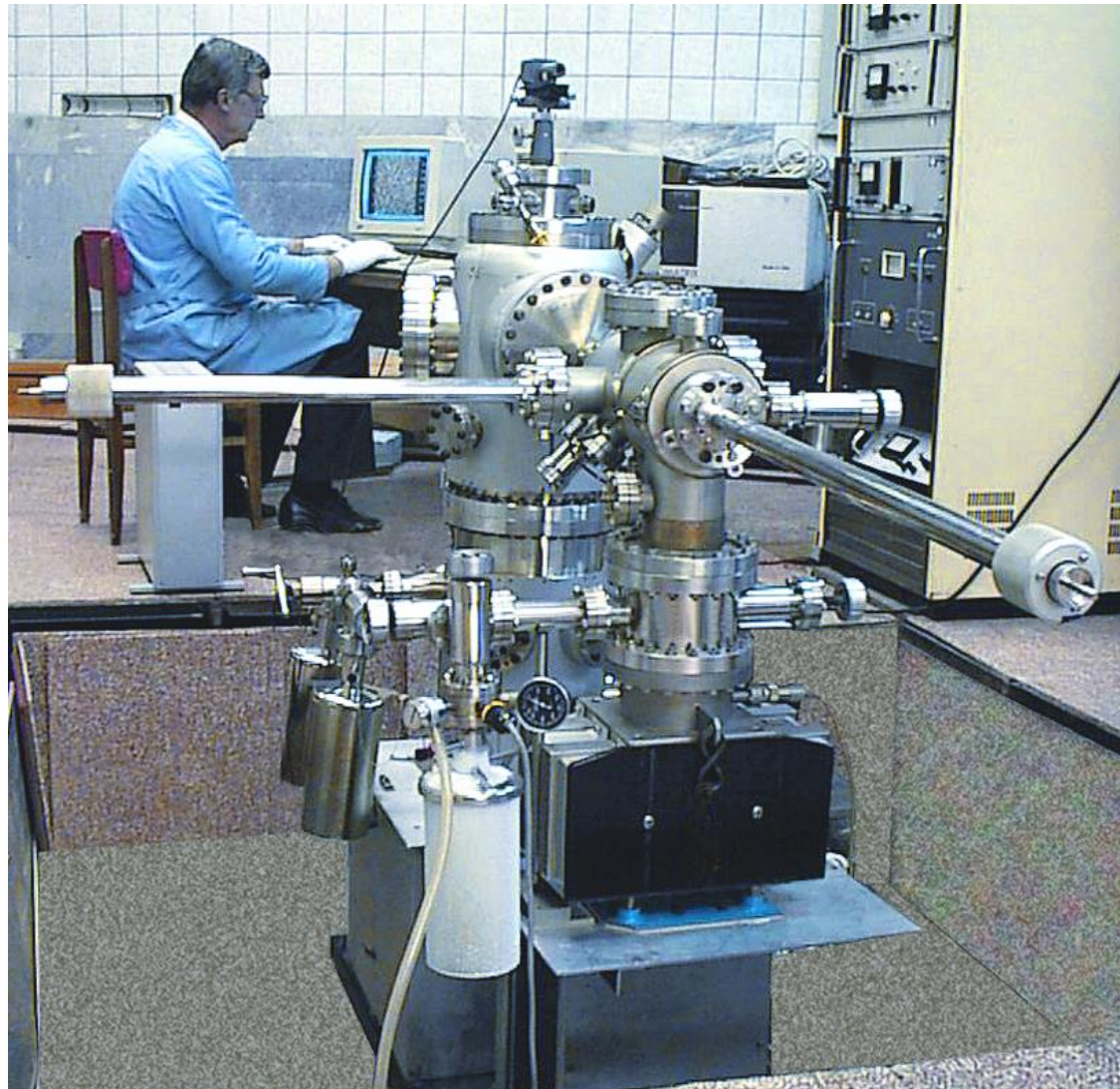
На СЗМ Солвер-Р47 было показано, что атомно-силовое изображение ЛБ-пленок арахидата кадмия не имеет никакого отношения к модельным представлениям о структуре ЛБ-пленок доменные структуры

Проект 1996-1998 годов, МИННАУКА – НТ-МДТ + ИФТТ,
Черноголовка (Витас Антонович Гражулис, Сергей Божко)

Разработка сверхвысоковакуумных атомно силового и низкотемпературного туннельного микроскопов



Сверхвысоковакуумный двухкамерный нанотехнологический комплекс на базе СЗМ СОЛВЕР-UHV на интервал температур 90К-500К. Разработка НТ-МДТ, 1997-1998г.г.



НАНОФАБ НТК-4
НТ-МДТ, 2006



НАНОФАБЫ

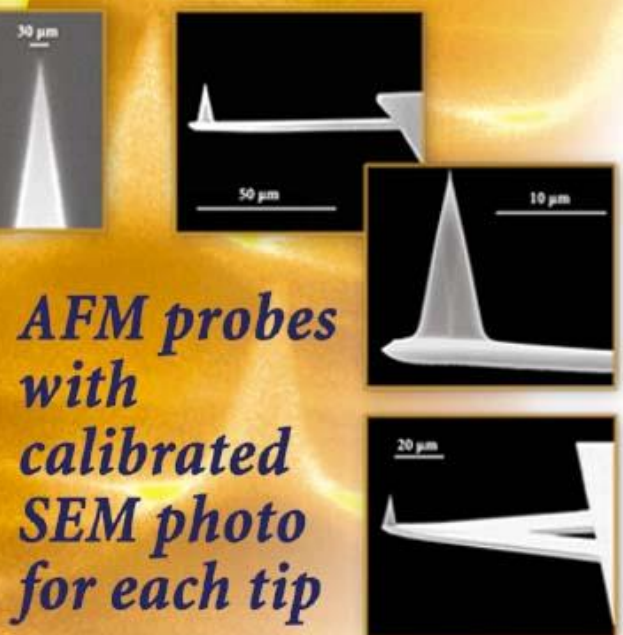


Комплекс НАНОФАБ-З в Киевском политехническом институте

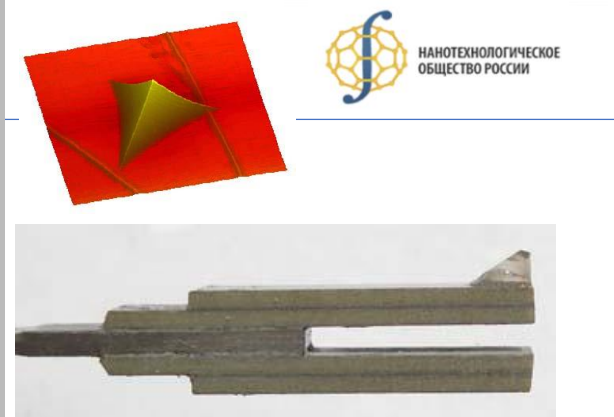
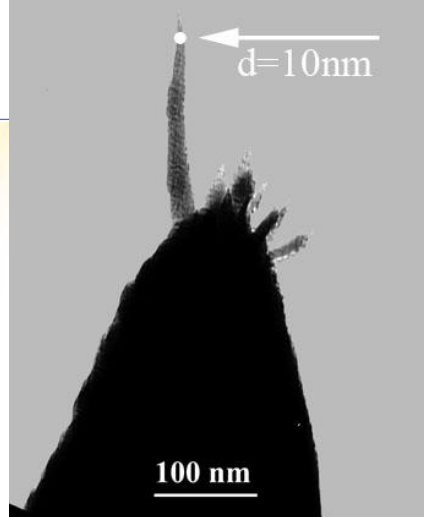
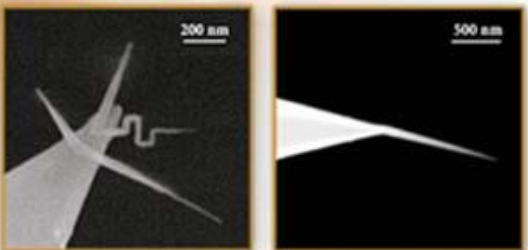


- ❖ Туннельная микроскопия и спектроскопия;
- ❖ Профиль поверхностных структур и его зависимость от давления прижима;
- ❖ Неоднородность силы трения в системе зонд – поверхность;
- ❖ Неоднородность адгезионных сил;
- ❖ Распределение поверхностного потенциала (Кельвин-мода);
- ❖ Распределение электрической емкости в системе кантileвер –поверхность;
- ❖ Распределение теплопроводности;
- ❖ Распределение модуля Юнга;
- ❖ Диагностика пределов упругой деформации;
- ❖ Распределение магнитных сил;
- ❖ Распределение пьезоэлектрических характеристик поверхностных структур;
- ❖ Распределение оптических свойств поверхности в видимой (спектроскопия комбинационного рассеяния с пространственным разрешением до 10 нм) и ИК области спектра с разрешением значительно превышающим дифракционные ограничения (ближнепольная беаппертурная оптическая микроскопия);
- ❖ Безаппертурная ИК и терагерцевая спектроскопия с пространственным разрешением до 10 нм – качественный анализ поверхности;
- ❖ Возможность модификации поверхности с созданием и исследованием свойствnanoструктур

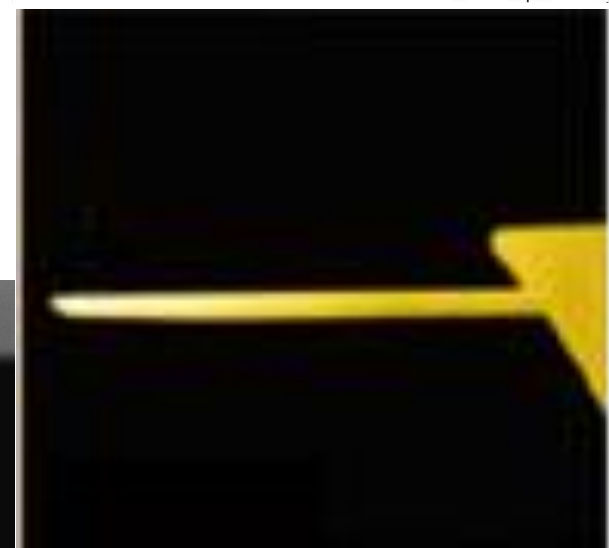
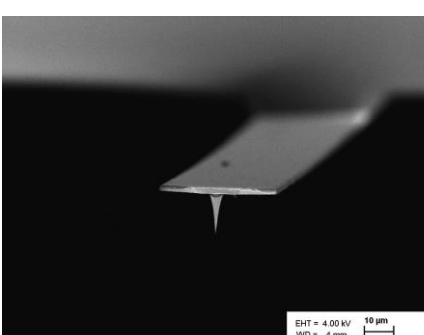
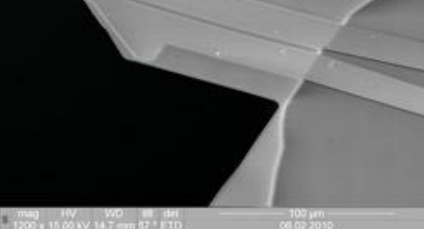
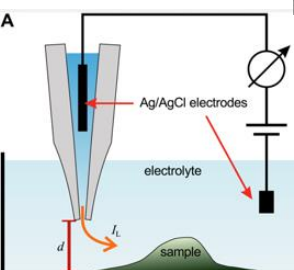
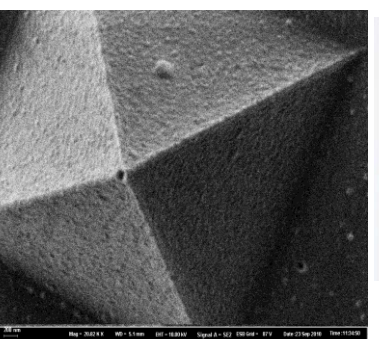
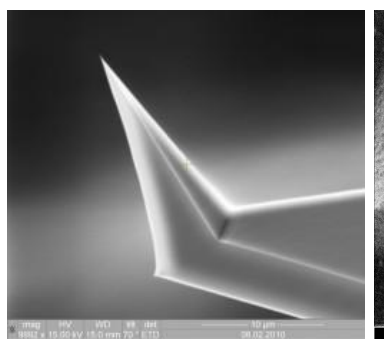
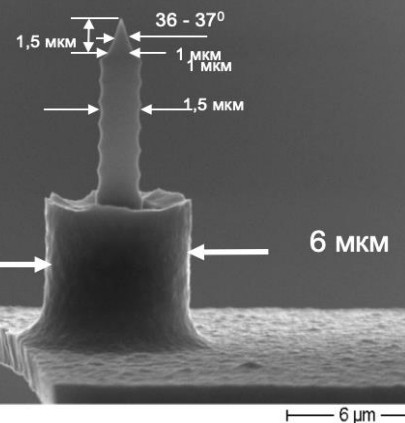
*AFM probes
with
Conductive
and
Magnetic
coatings*



EBD "Whisker Type" probes



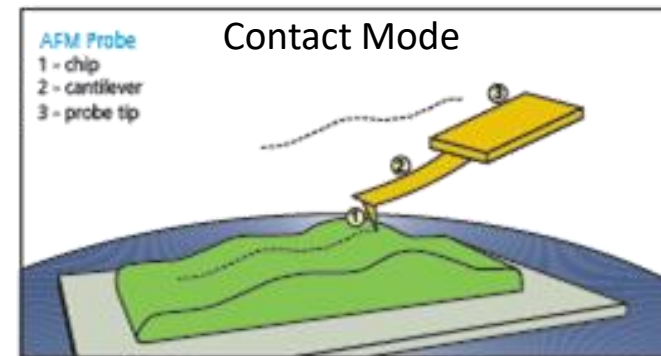
The radius of curvature of the tip is about 3 nm



АСМ для исследования рельефа

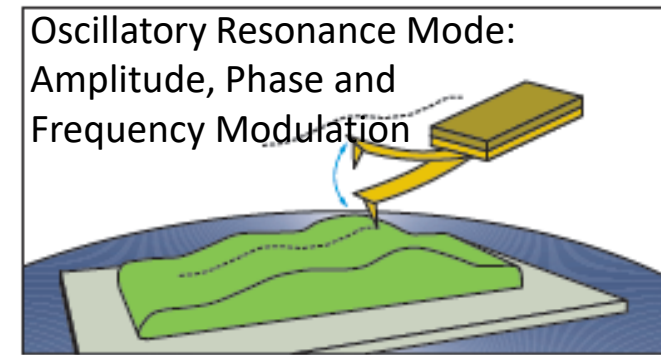
Контактная методика

Lateral force imaging, force modulation, contact resonance, PFM



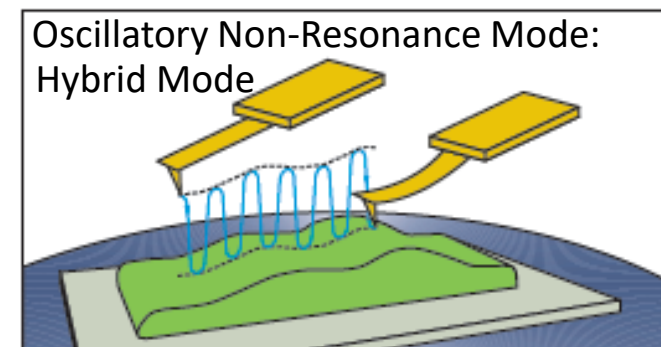
Осцилляционные резонансные методики

Amplitude modulation with phase and frequency imaging, frequency modulation, single- and double pass methods



Осцилляционные ненезонансные методики

Jumping mode, HybriD™ mode, etc



Коллектив разработчиков – самый опытный на мировом рынке – опыт работы с 1989 года



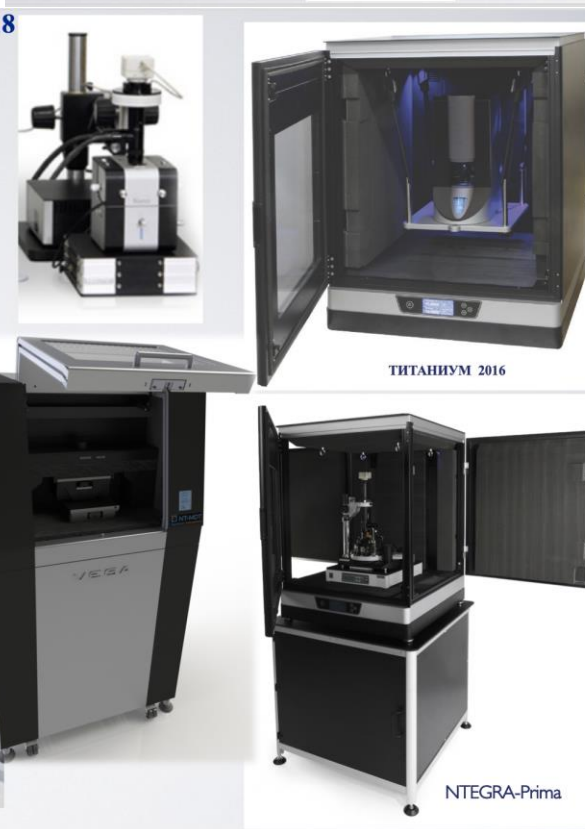
ИСТОРИЯ

Do 2003

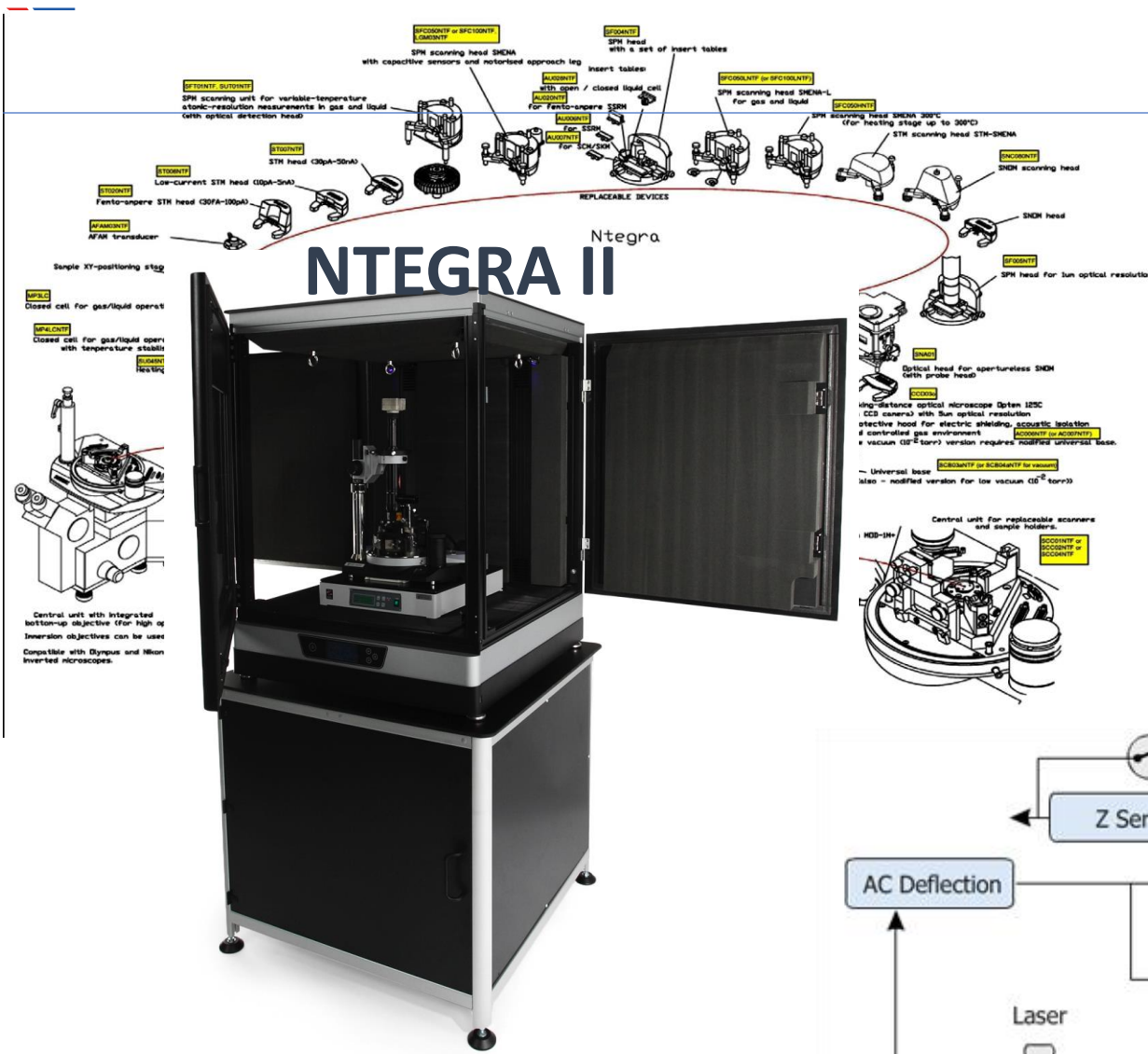


Нанолабы

Сканирующие зондовые микроскопы



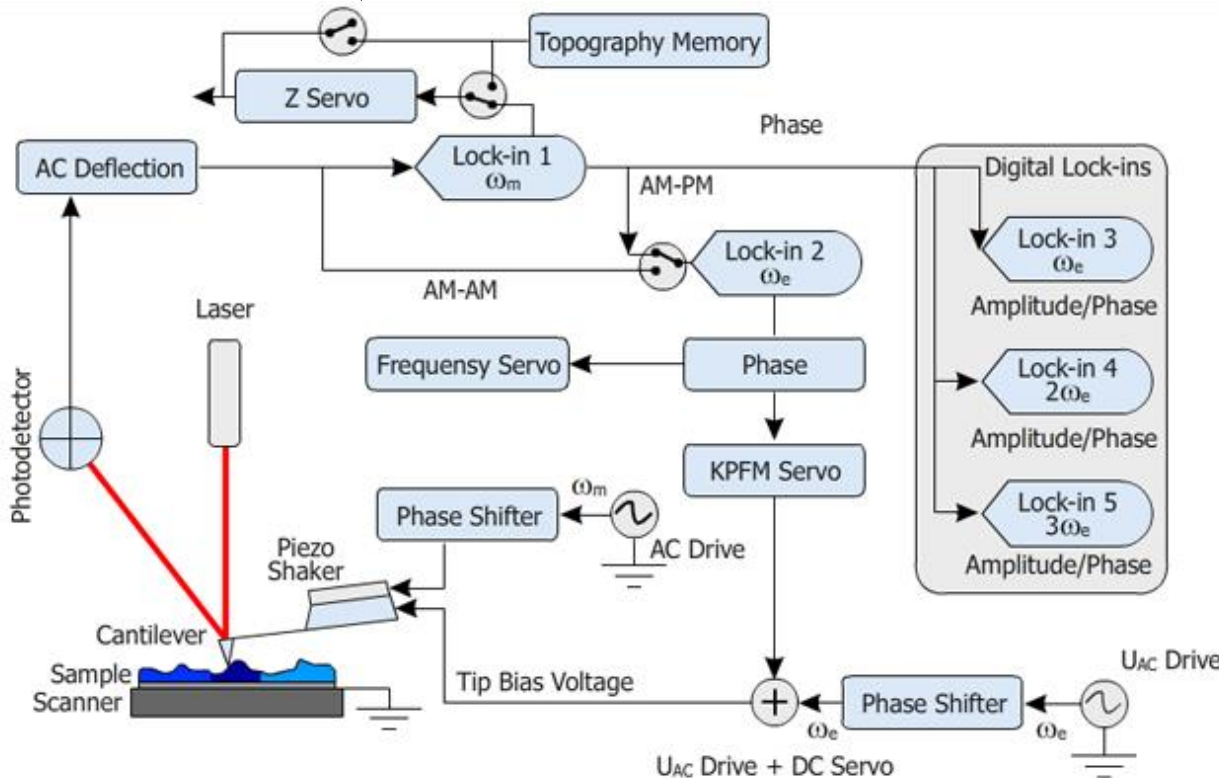
NTEGRA-Prim



NTEGRA II



PX ULTRA CONTROLLER



- Частотный диапазон до 5MHz
- 5 предуслителяй
- ADC скорость отработки – 500kHz
- ADC разрешение – 18bit
- Шум фазы до – 0,01⁰
- Температура – $T_{room} + 5^0$ с точностью 0,005⁰

Многофункциональные метрологические СЗМ ИНТЕГРА-Аура



The Configuration for
the Vacuum Condition



The Configuration for
Capacitance Microscopy,
Spraying resistance and High
Resolution Measurements



Electrochemical
measurements Configuration



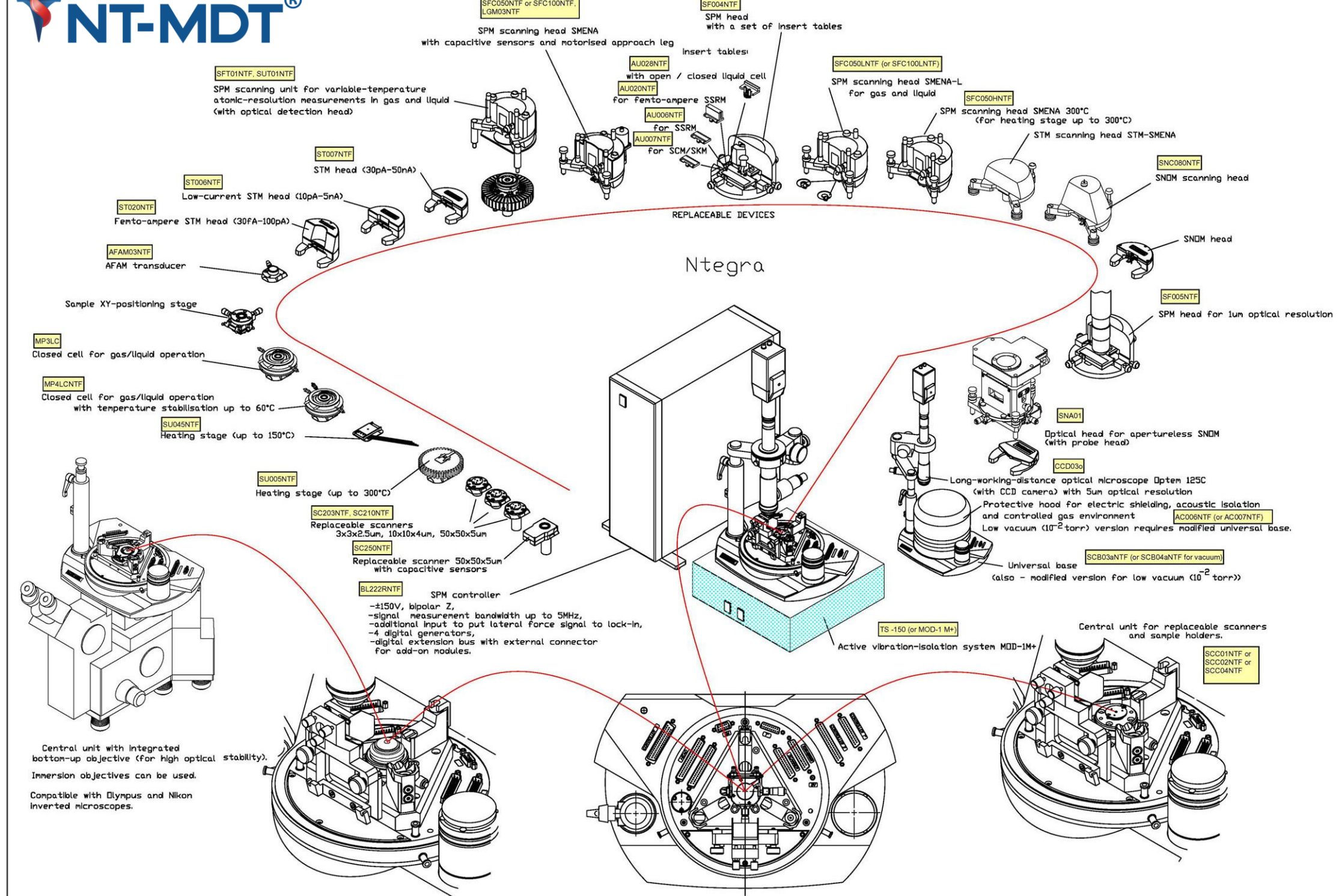
STM Measurements Configuration



Liquid Cell Measurements Configuration



Magnetic Properties
Measurements
Configuration

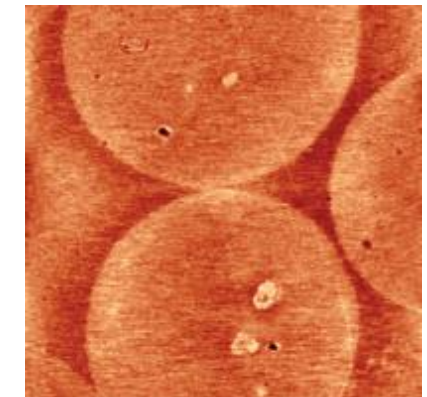
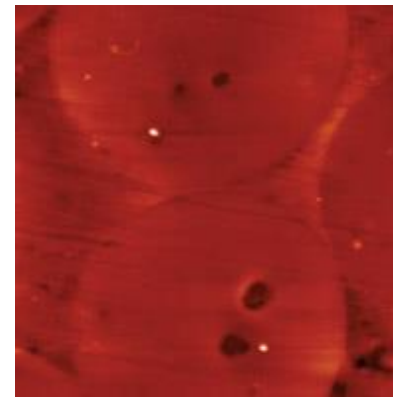
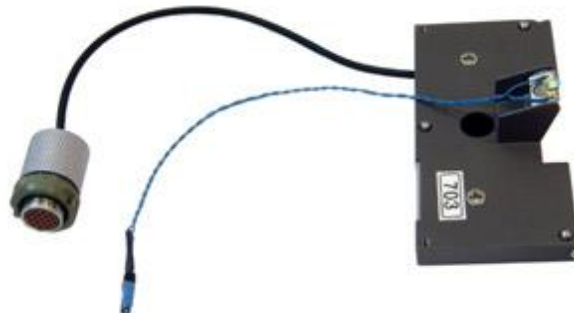
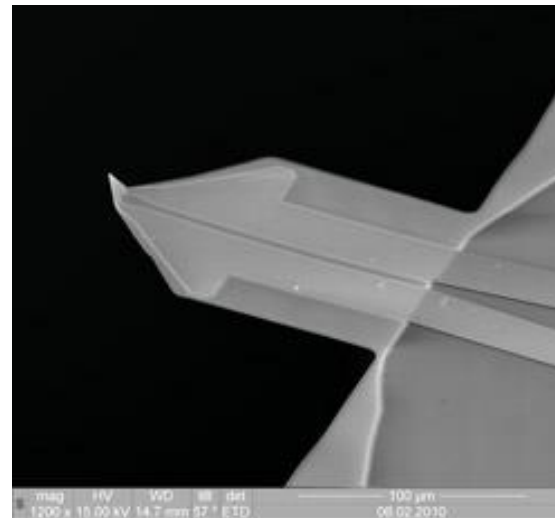
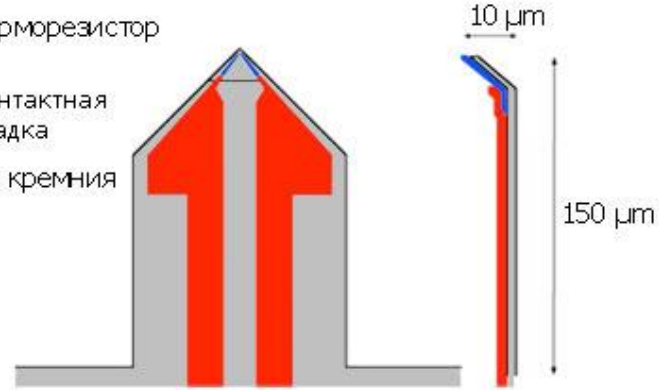


СКАНИРУЮЩАЯ ТЕПЛОВАЯ МИКРОСКОПИЯ (СТЕМ)

NiCr/Pd терморезистор

NiCr/Au контактная площадка

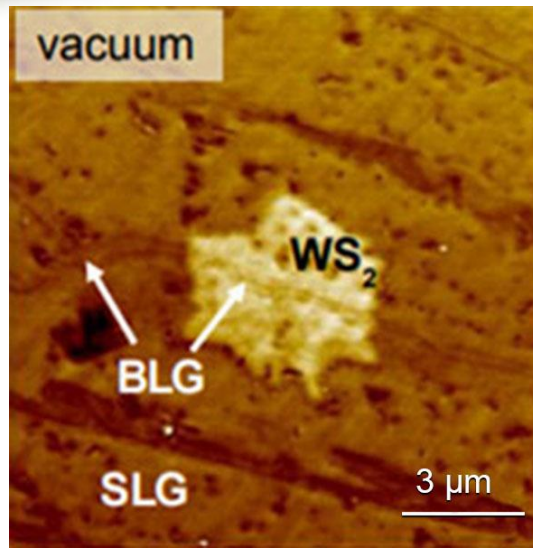
SiO₂ оксид кремния



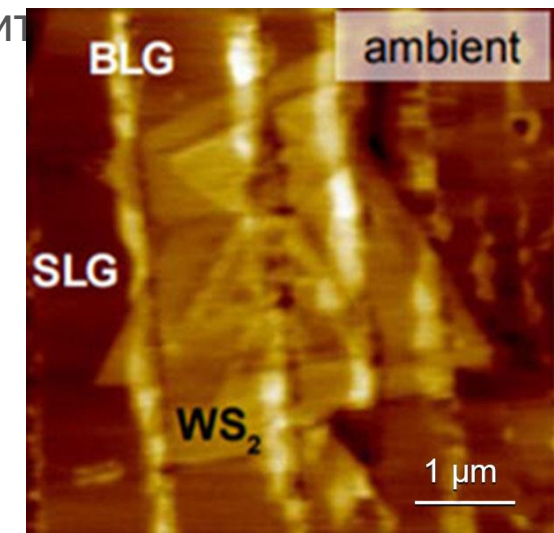
Тепловая микроскопия позволяет получать изображения с латеральным разрешением лучше 100 нм. Образец: оптоволокно в эпоксидной смоле. Слева – рельеф поверхности, справа – распределение теплопроводности. Размер изображения: 6х6 мкм.



KPFM изображение
WS₂/графен
гетероструктур в
вакууме (1×10^{-6} mbar).
Диапазон потенциала
1.77 В. Размер скана:
12x12 мкм



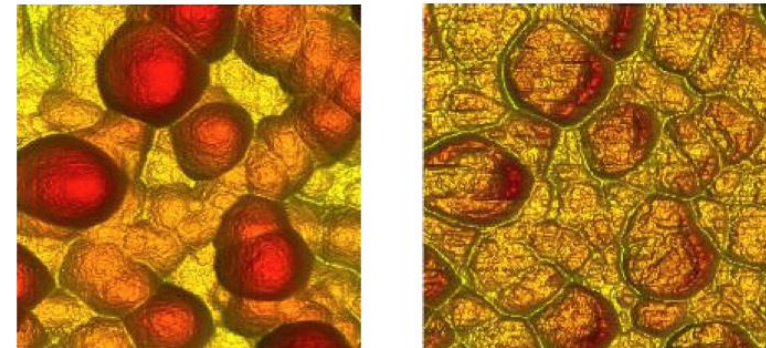
NTEGRA II — это
высокочувствительная система,
идеально подходящая для
измерений в вакууме до 10^{-3} торр
или в контролируемой атмосфере.
Широкое применение ACM с
расширенными возможностями
MFM измерений во внешнем
магните.



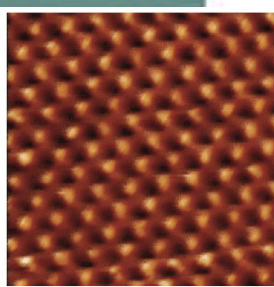
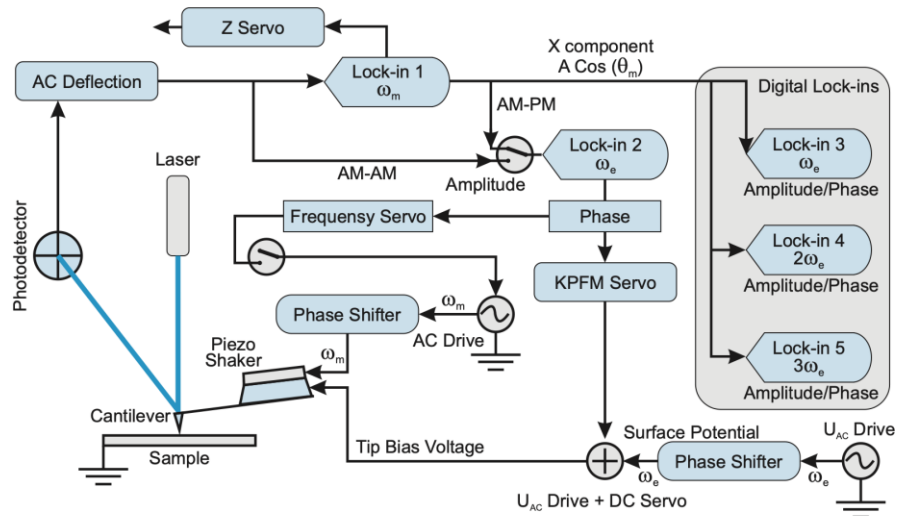
KPFM изображение
WS₂/графен
гетероструктур в
обычных условиях.
Диапазон потенциала
0.58 В. Размер скана:
5x5 мкм

НЕКСТ II

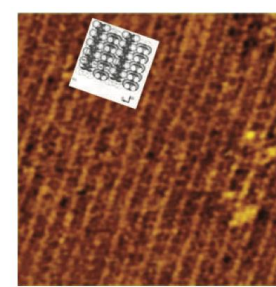
Автоматизированный Исследовательский АСМ



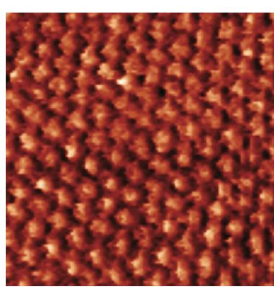
Zr керамика: (а) – рельеф, (б) – распределение модуля упругости. Размер скана 1×1 мкм



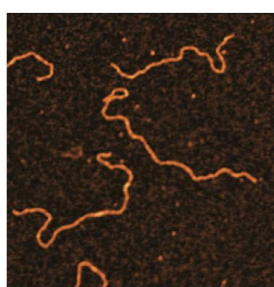
Атомарная решетка ВОПГ, СТМ.
Размер скана 2,1×2,1 нм



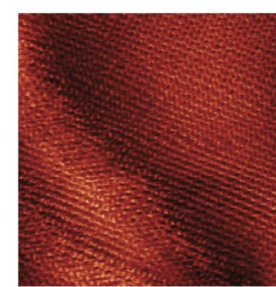
ПТФЭ пленка, АМ-АСМ.
Размер скана 18×18 нм



Атомарная решетка слюды,
ЛСМ. Размер скана 6×6 нм



ДНК на поверхности слюды,
АМ-АСМ. Размер скана 1×1 мкм



Атомная решетка кальция в жидкости
Амплитудно-модуляционная АСМ
Размер скана 20×20 нм

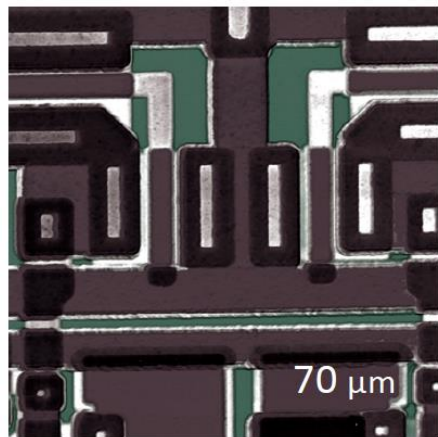


Слой ПТФЕ
Амплитудно-модуляционная
Размер скана 18×18 нм

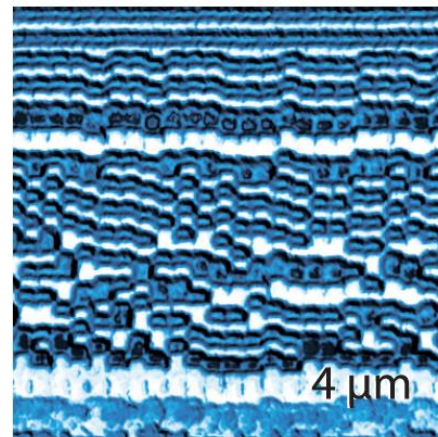
VEGA

Высокопроизводительный АСМ для исследования большеразмерных образцов

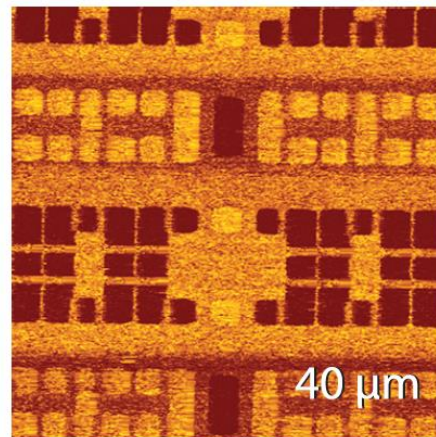
- Измерения рельефа и других поверхностных свойств с нанометровым пространственным разрешением на пластинах диаметром до 200 мм, большеразмерных образцах и массивах образцов
- Высочайший уровень автоматизации процессов настройки и измерений
- 50+ современных методов АСМ, включая методы высокоскоростной прыжковой микроскопии
- Быстрое сканирование для рутинных потоковых измерений морфологии структур



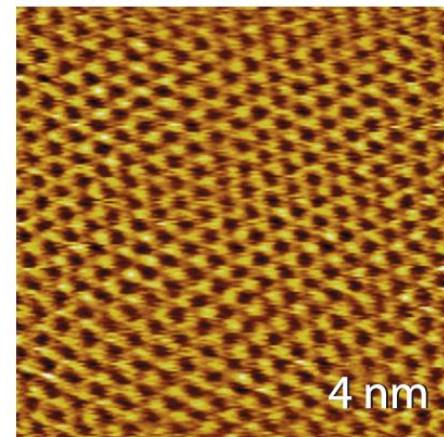
Рельеф фрагмента микросхемы



Магнитные домены
в HDD 1 ТБ



Поверхностный пртенциал
в SRAM



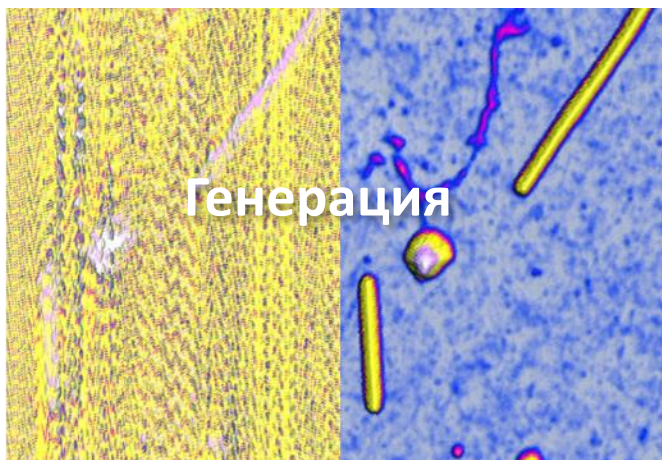
Атомное разрешение
на графите

Для получения хороших результатов сканирования необходимо оптимизировать как минимум 4 параметра:

- амплитуда раскачки зонда A_0 ;
- рабочая точка (set point) сигнала обратной связи (SP);
- интегральный коэффициент обратной связи (k_i)
- скорость сканирования (V_x) ;

Другие влияющие параметры:

- LP – полоса фильтра низких частот
- k_p - коэффициент усиления пропорциональной обратной связи



www.ntmdt-si.com

ScanTronic™ –
Искусственный интеллект
в АСМ радикально
понижает требования к
специализации
пользователя



Straightforward for beginners
Helpful for experts

Автоматический выбор оптимальных параметров сканирования

f – резонансная частота
кантилевера

K – жесткость кантилевера

Q – добротность кантилевера

Nx – кол-во пикселов и размер
скана

Характеристики образца
(липкость, заряд, шероховатость
и жесткость)

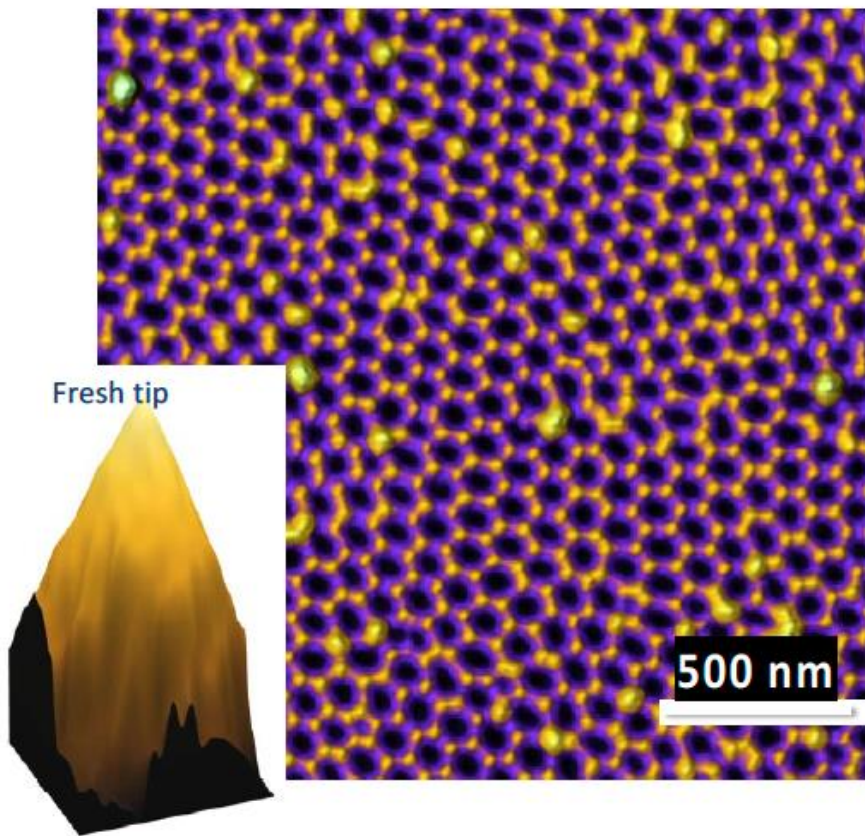


Обучение

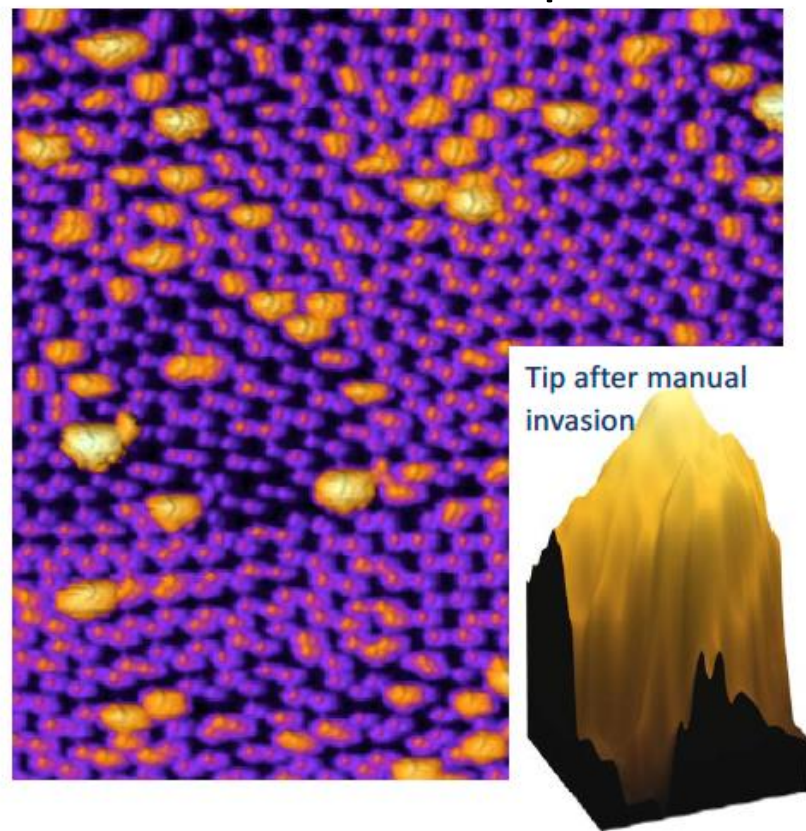
Основано на методе обратного
распространения ошибки с
использованием алгоритма BFGS
(Бройдена-Флетчера-Гольдфарба-
Шанно)

Scan Tronic: Examples of application

ИИ – ScanTronic!!!

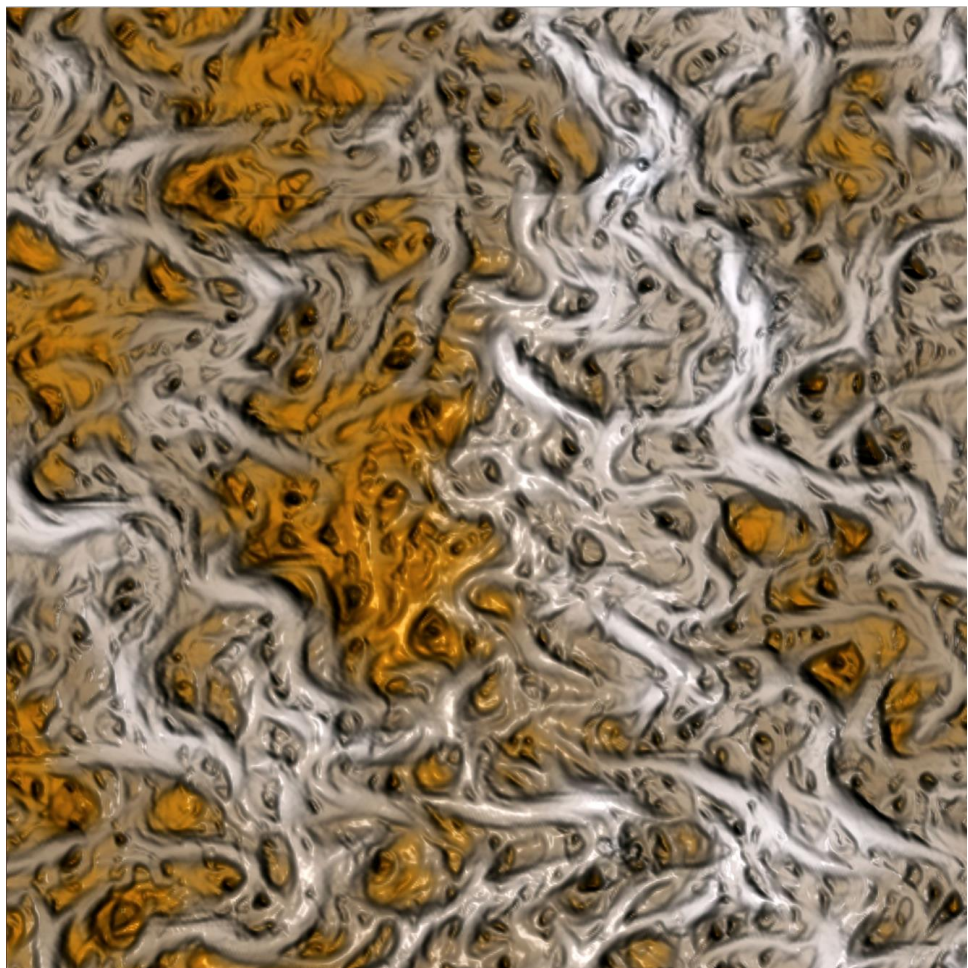


Опытный специалист



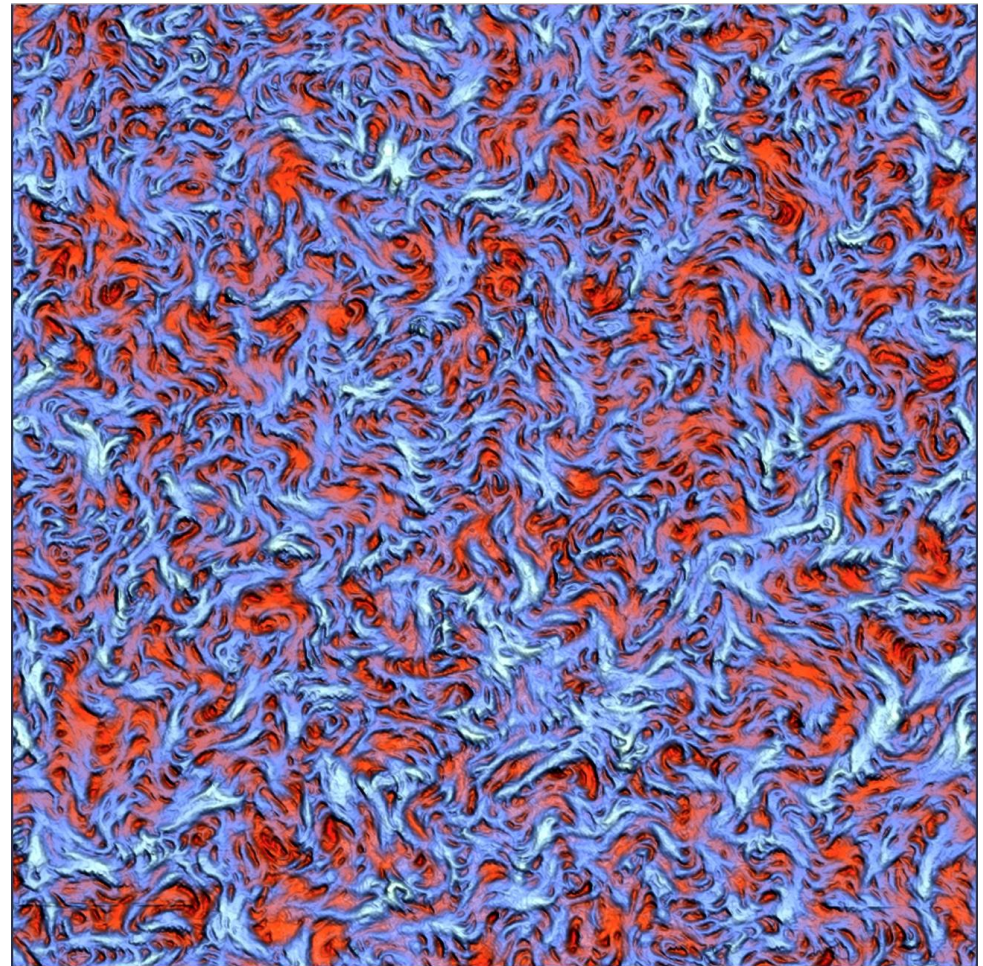
Al_2O_3 - "Grater" sample for tips.

Left – topography, ScanTronic used, right – manual attempt to adjust scanning parameters

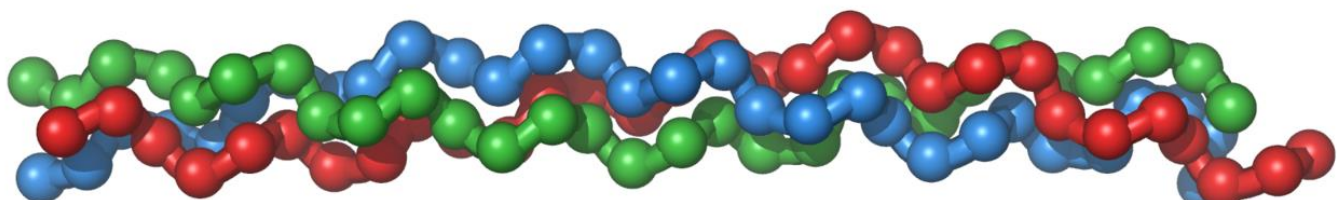


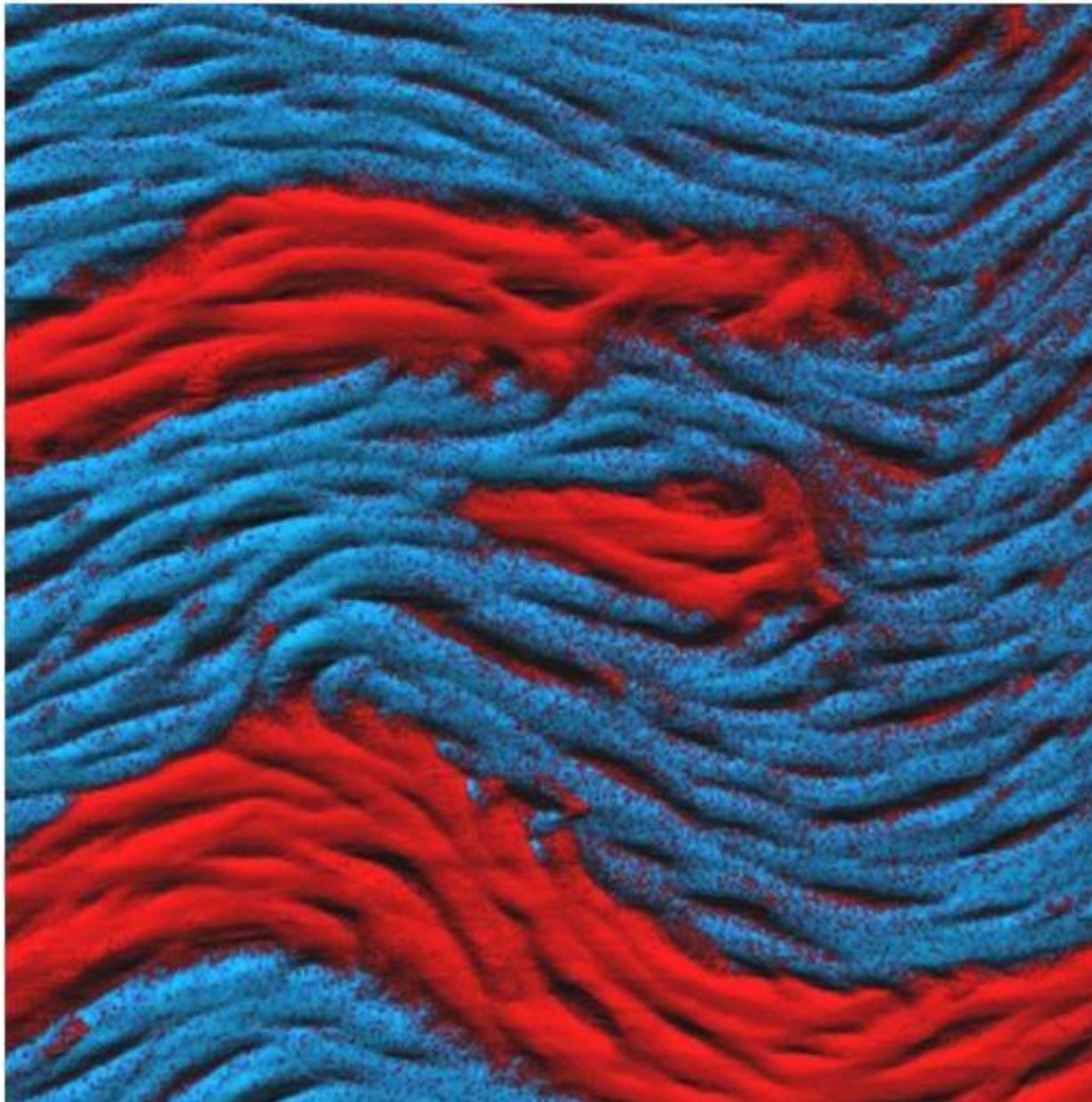
F03BA Collagen
20x20x1,2 мкм

Коллаген

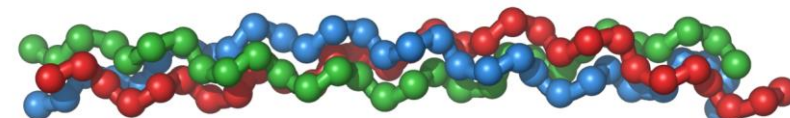


E13DD Collagen
20x20x0,35mkm

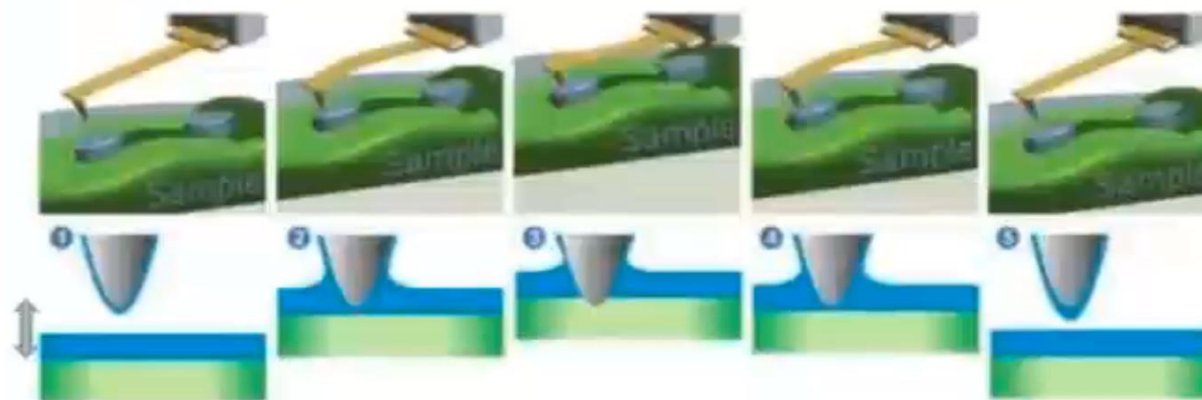




Solver NEXT, 3x3 mkm, PFM
Phase on Collagen



Basics of the Hybrid Mode



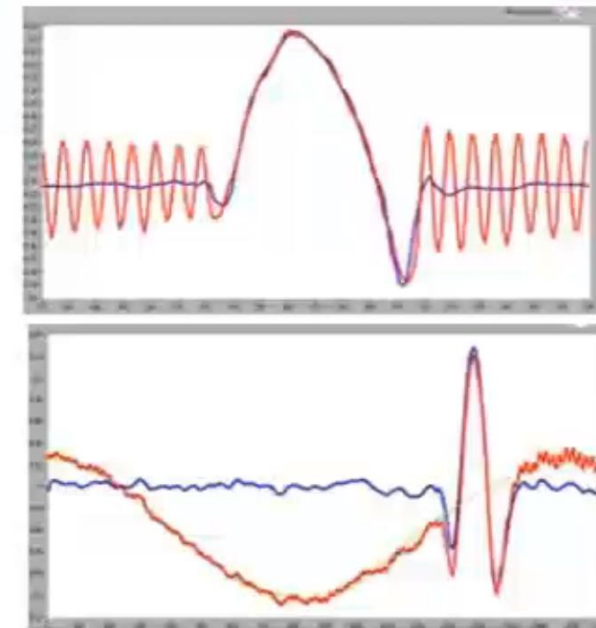
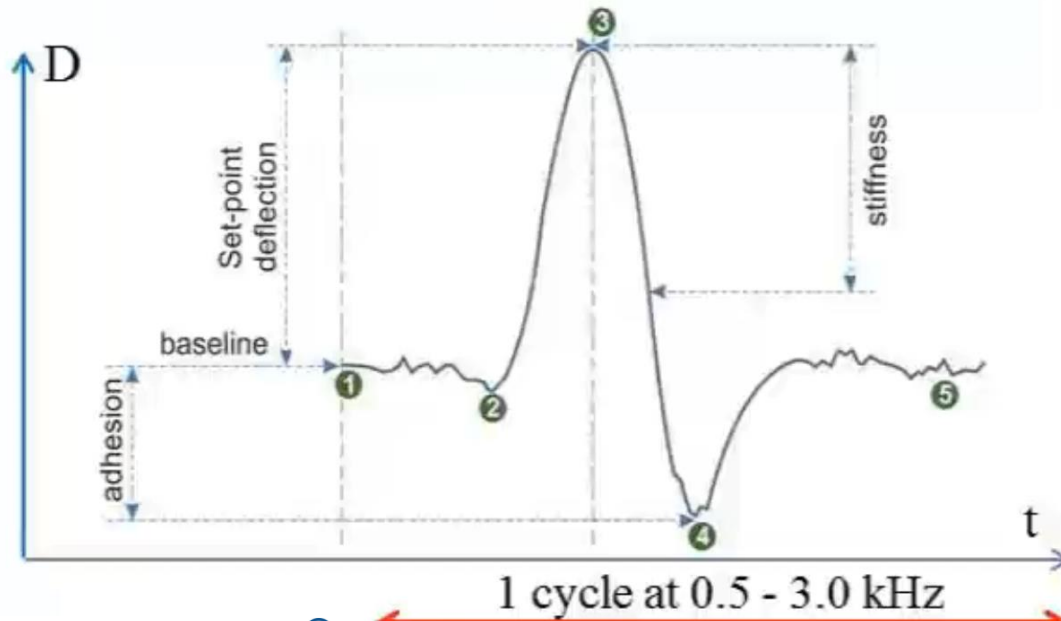
Predecessors

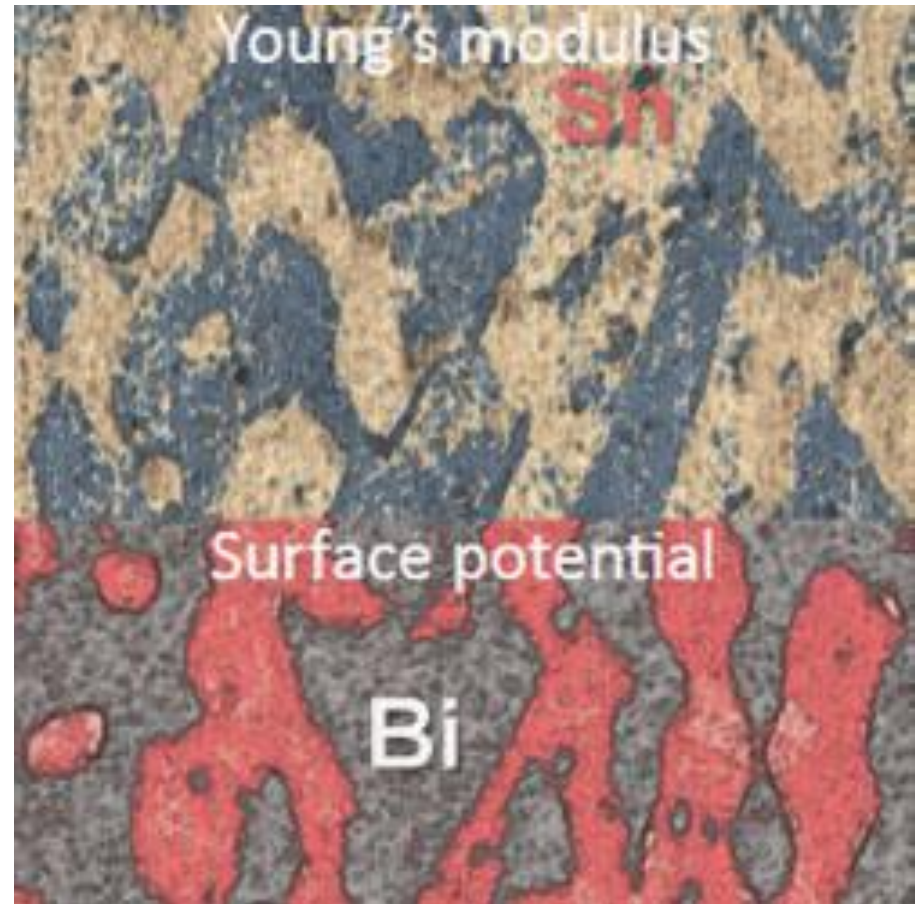
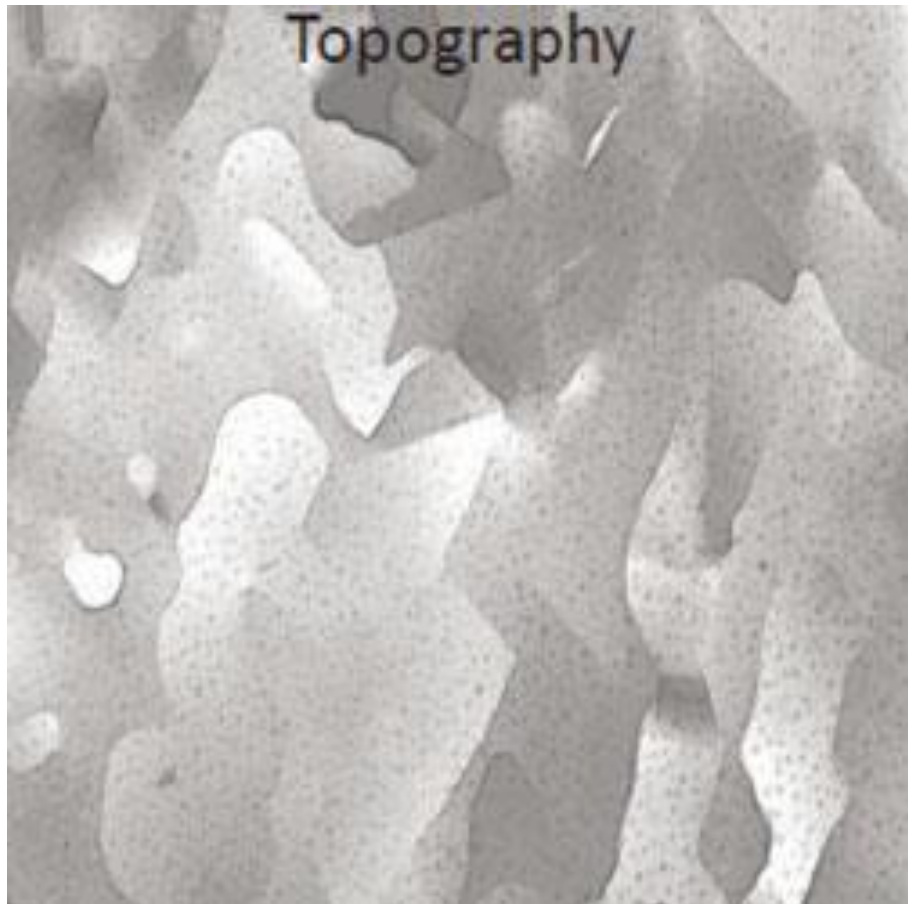
H. Becker, et al "Stylus profiler featuring an oscillating probe" US Patent 2728222, 1955.

V. Elings, & J. Gurley "Jumping probe microscope" US Patent 5,229,606, 1993.

Pulsed Force (Witec), Jumping Mode (NanoTech), Peak Force (Bruker), Anasys

Temporal Deflection Plot – The Bank of the Local Properties! *Real-time Wavelet Filtering*

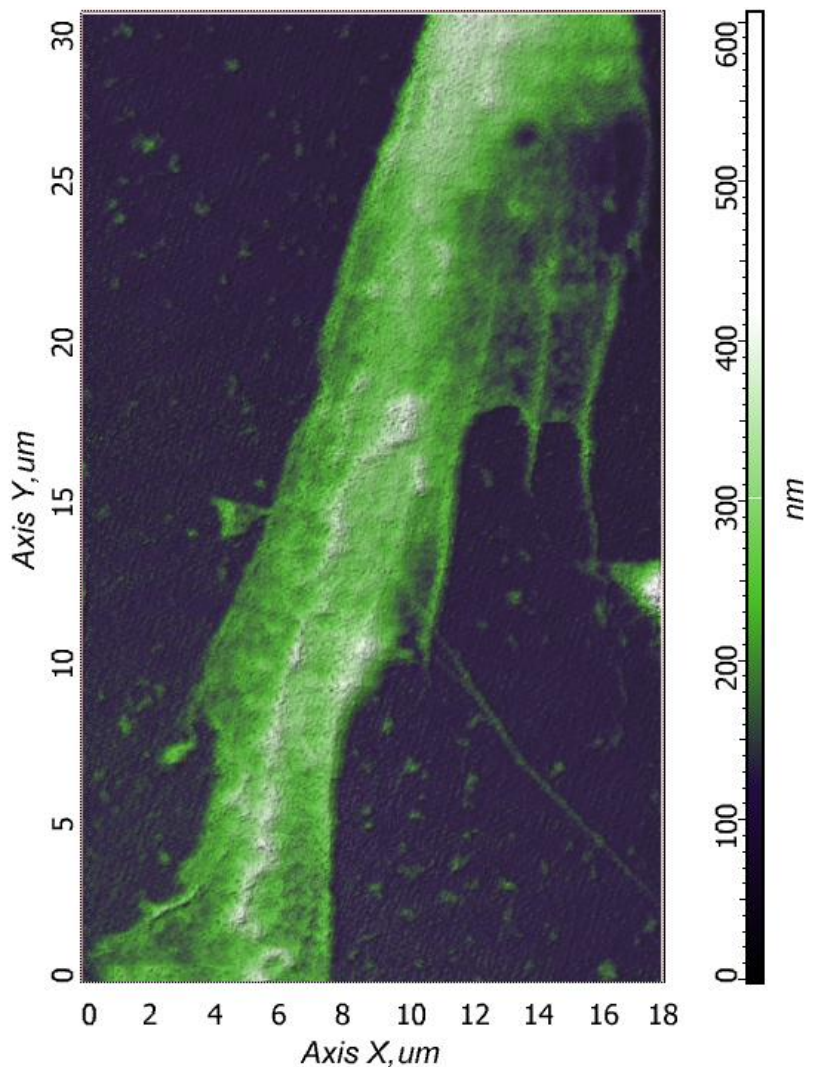




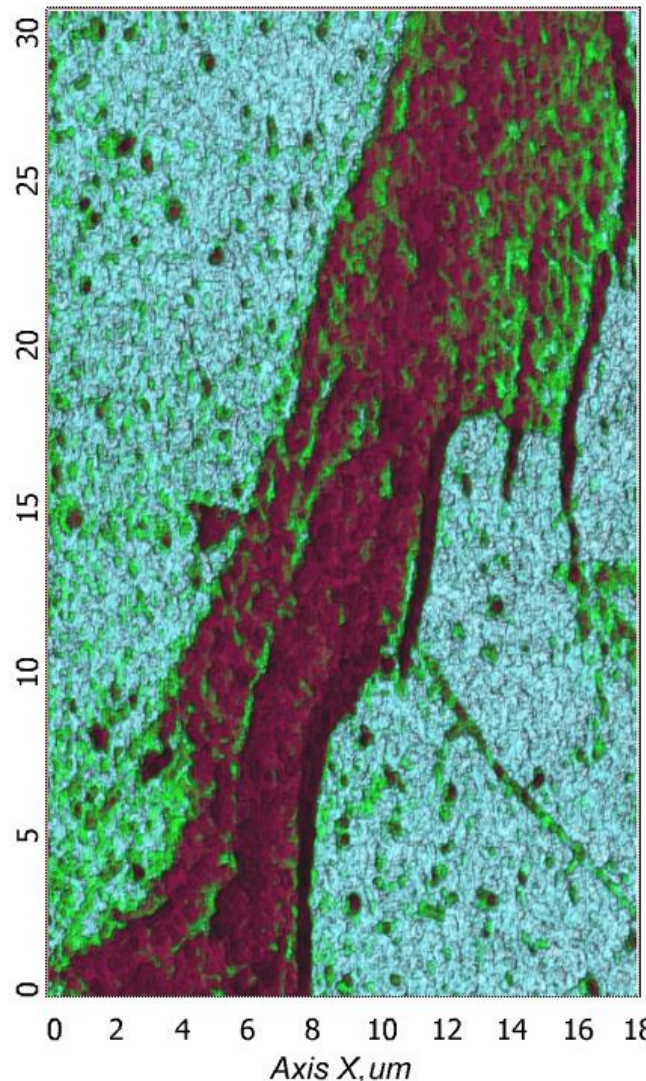
Исследование сплава олово-висмут прыжковой АСМ (Hybrig Mode). Размер скана 10x10 мкм. Слева – топография, справа – поверхностный потенциал и модуль Юнга.

ЖИВЫЕ стволовые клетки, Hybrid Mode

Рельеф



Жесткость



Массив данных из 180x300 силовых кривых позволяет построить карту жесткости образца (справа) и изображение его рельефа (слева)

NTEGRA EC. Results (Cu/Au)

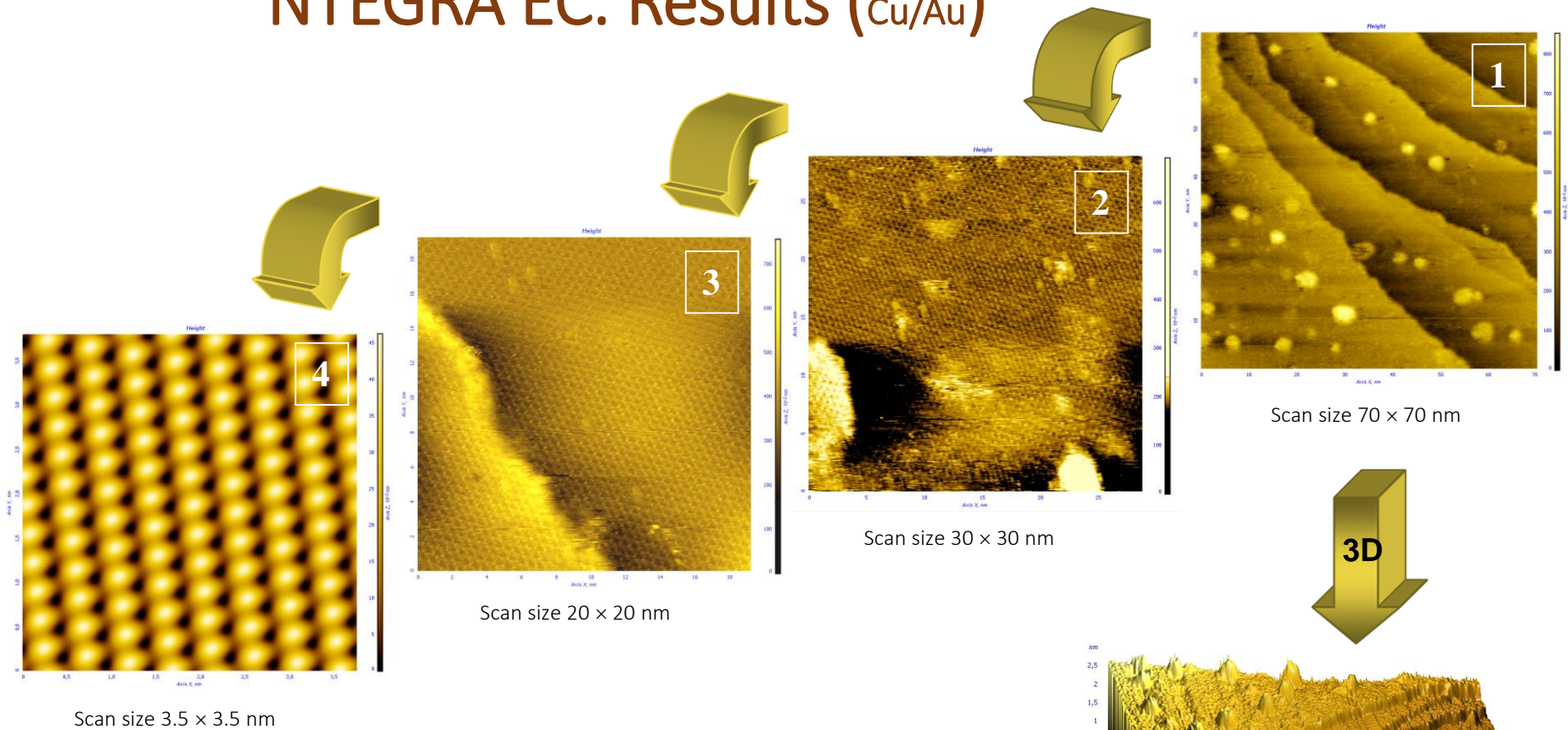
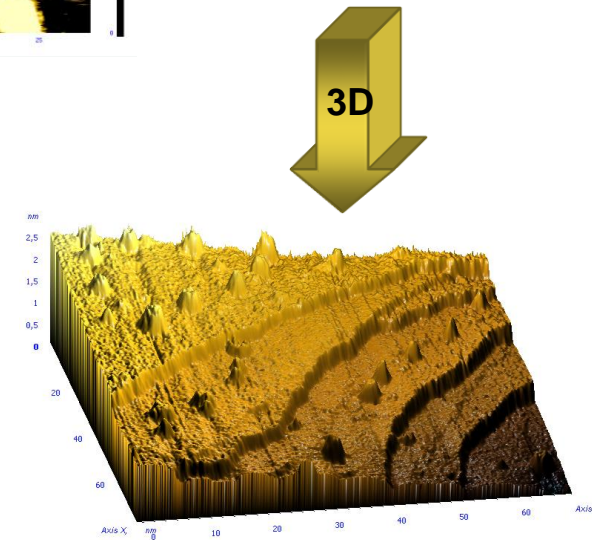


Fig. 1. Au monatomic steps and islands resulting after flame annealing of Au substrate.

Fig. 2, 3, 4. Lateral atomic resolution of co-adsorption lattice ($\sqrt{3} \times \sqrt{3}$)R30° of Cu-ad atoms and bisulphate anions.



Образовательный проект СТАРТ



15-03-1930 – 01-03-2019

Инициатором проекта по использованию сканирующих зондовых микроскопов в школах, колледжах, высших учебных заведениях был лауреат Нобелевской премии по физике Жорес Иванович Алферов. Идея оказалась жизнеспособной и популярной.

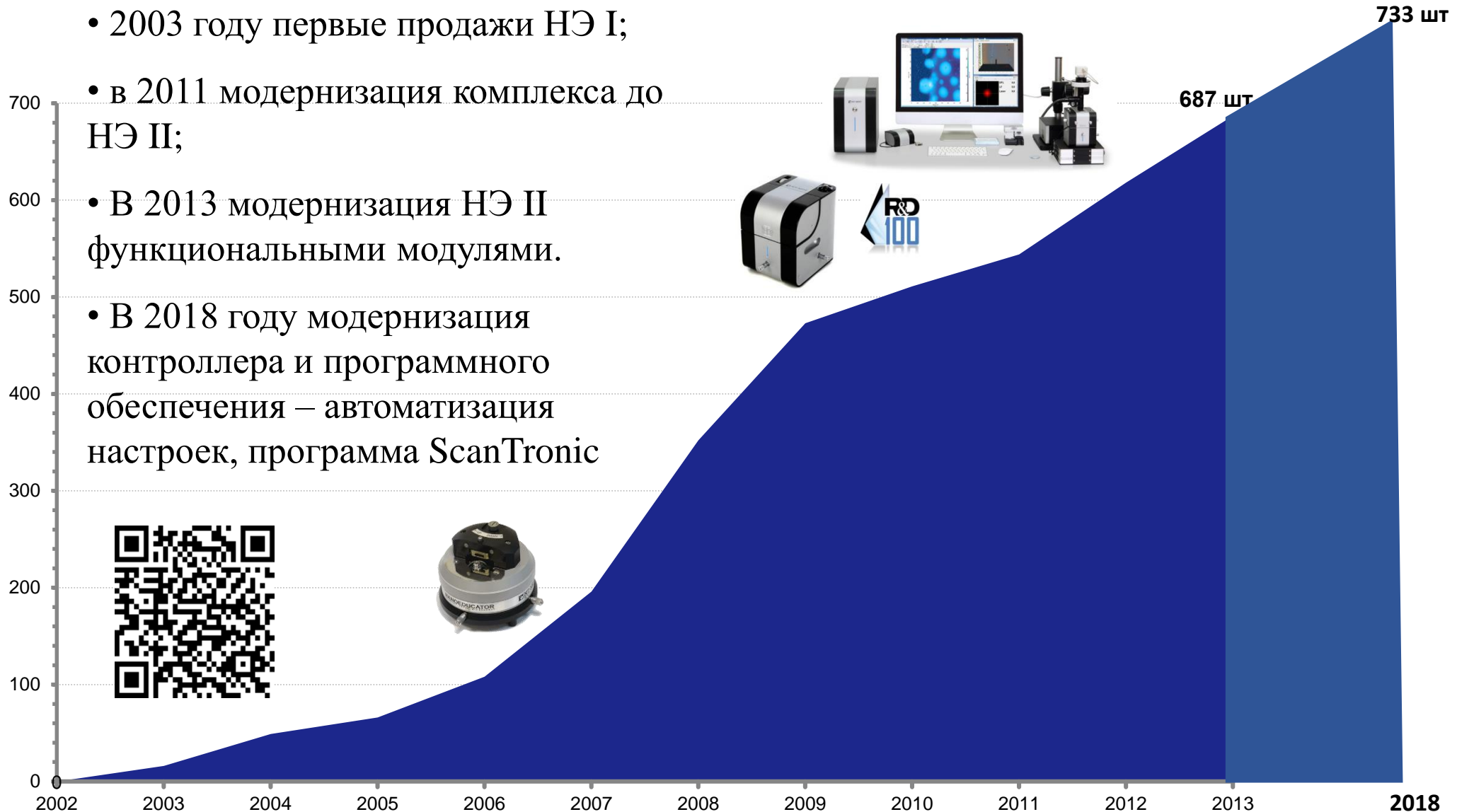
Разработки приборов начались с 2002 года. Последовательно было выпущено три поколения приборов этого типа. Уже вторая версия приборов – НАНОЭДЬЮКАРОР-II вошла в сотню лучших мировых разработок.

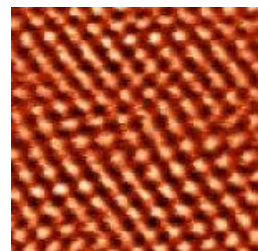
Учебно-исследовательский лабораторный комплекс
НАНОЭДЮКАТОР
установлен в более чем 80 ВУЗах, и 320 школах в России и за рубежом.



В настоящее время создан 3-й вариант этих приборов с мощным интеллектуальным наполнением на базе алгоритмов искусственного интеллекта, позволяющий сосредоточить внимание учащихся не на методике и приборе, а на предмете исследования исследования – биологических препаратах клеток, вирусов, молекул. На свойствах исследуемых материалов.

- 2003 году первые продажи НЭ I;
- в 2011 модернизация комплекса до НЭ II;
- В 2013 модернизация НЭ II функциональными модулями.
- В 2018 году модернизация контроллера и программного обеспечения – автоматизация настроек, программа ScanTronic

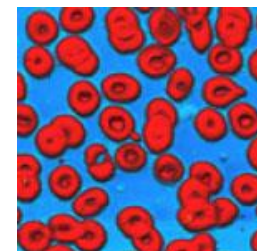




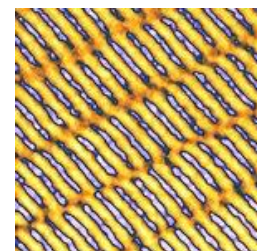
*Атомная решетка ВОПГ.
Размер скана 4×4 нм.
Контактная латеральная АСМ*



*Атомные слои на графите.
Размер скана 1.8×1.8 мкм.
AM ACM*



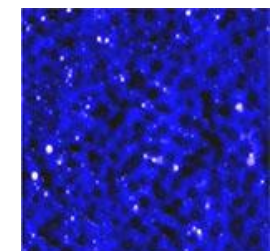
*Клетки крови.
Размер скана 50×50 мкм.
AM ACM*



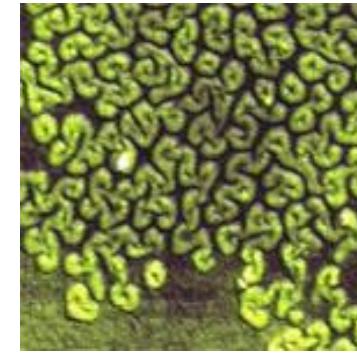
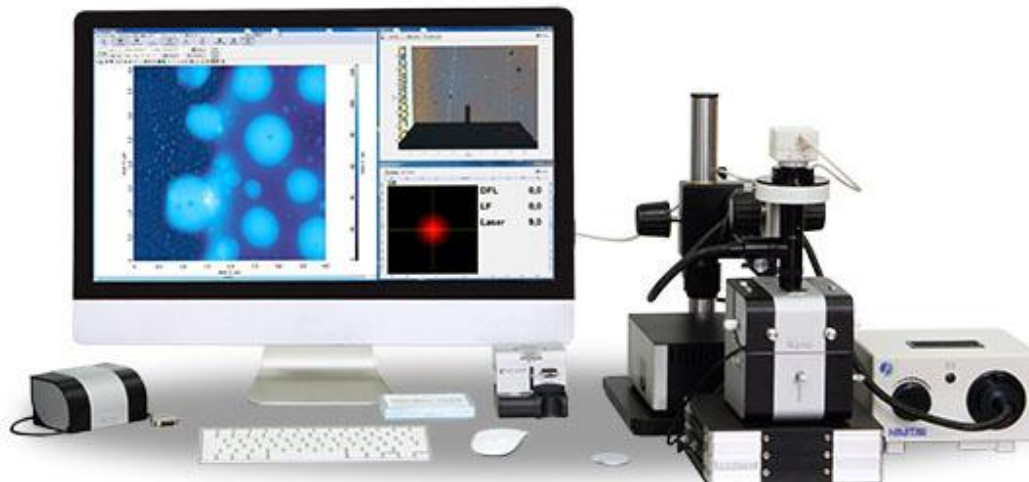
*Магнитные домены НЖМД.
Размер скана 30×30 мкм.
AM MCM*



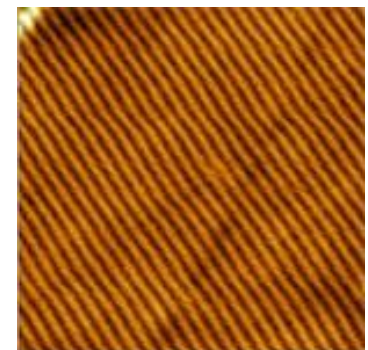
*Серебряные проволоки.
Размер скана 4×4 мкм.
AM ACM*



*Смесь полистирен-полиэтилена.
Размер скана 20×20 мкм.
Hybrid метод ACM*



*Флуороалканы.
Размер скана 500×500 нм.
AM ACM*



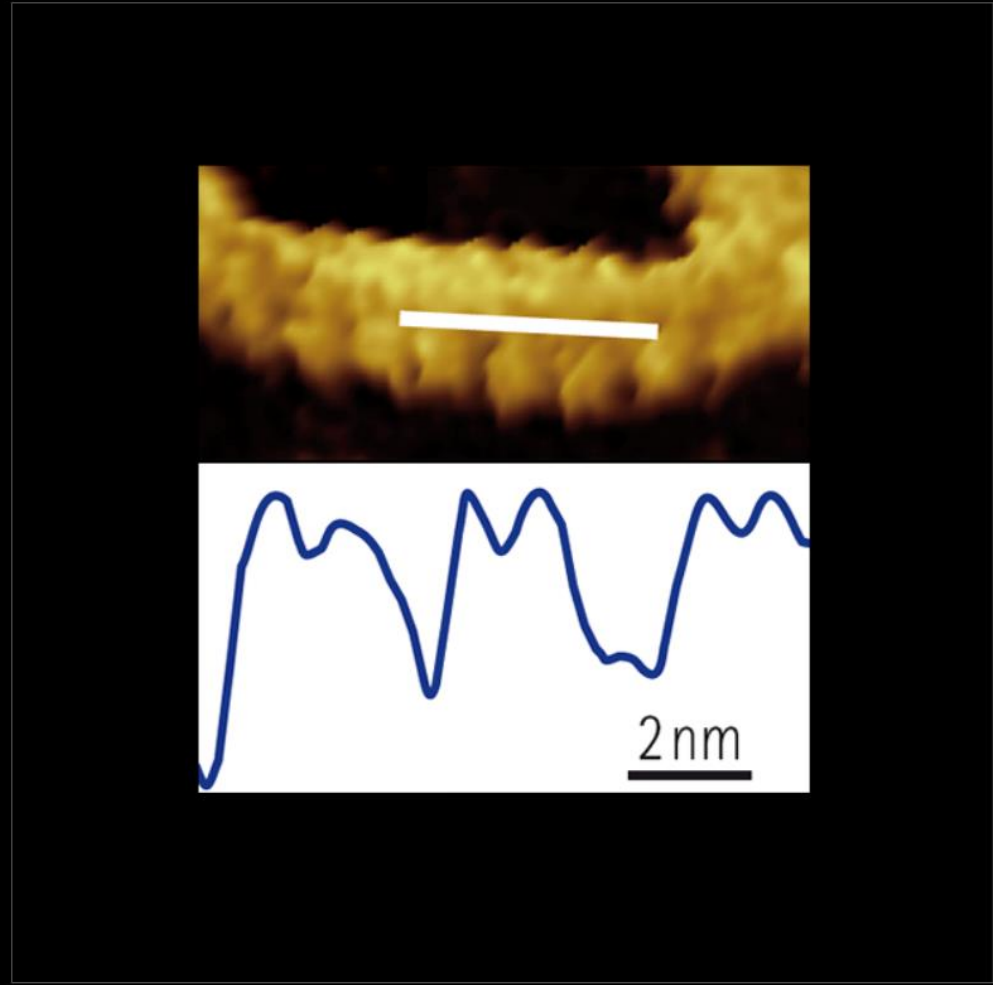
*C₆₀H₁₂₂ на ВОПГ.
Размер скана 250×250 нм.
AM ACM*

Получено на приборах СОЛВЕР-НАНО

Молекула ДНК, АСМ изображение топографии

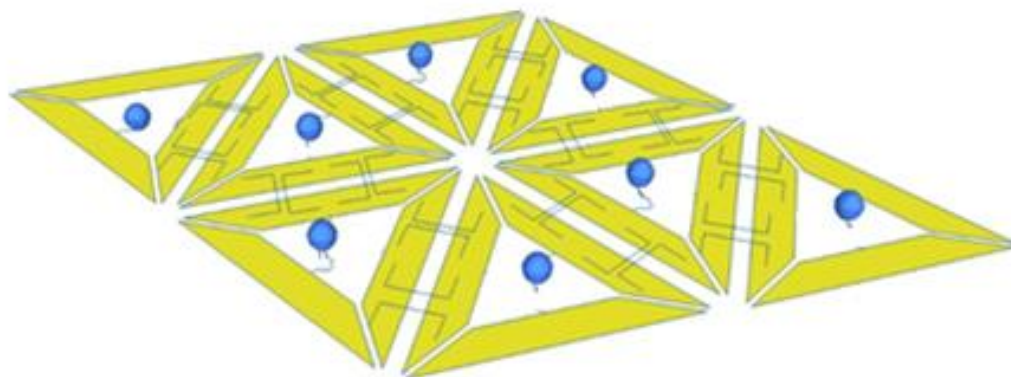
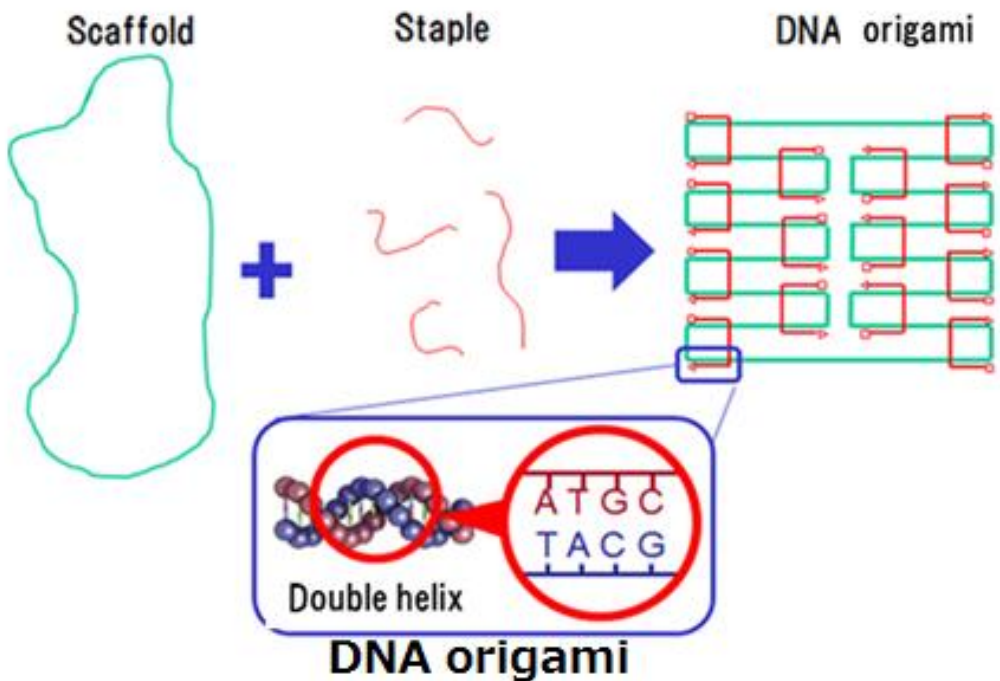
QI™ DNA - Major and minor grooves

Imaged with NanoWizard® BioScience AFM

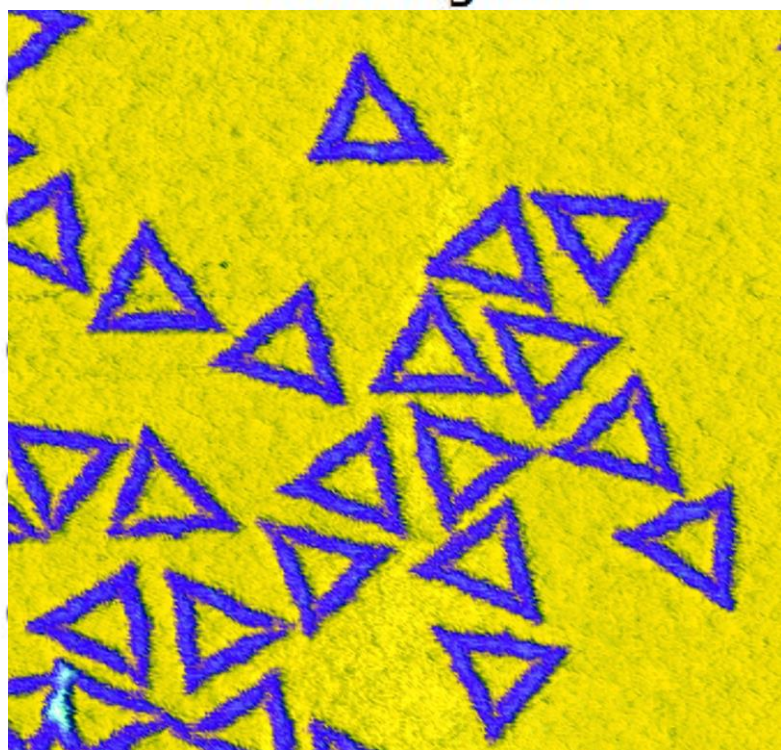


Vector DNA on a poly-lornithine covered mica substrate measured in liquid and cross section of the marked region. Major and minor grooves are clearly visible. Imaged with QI™ mode.

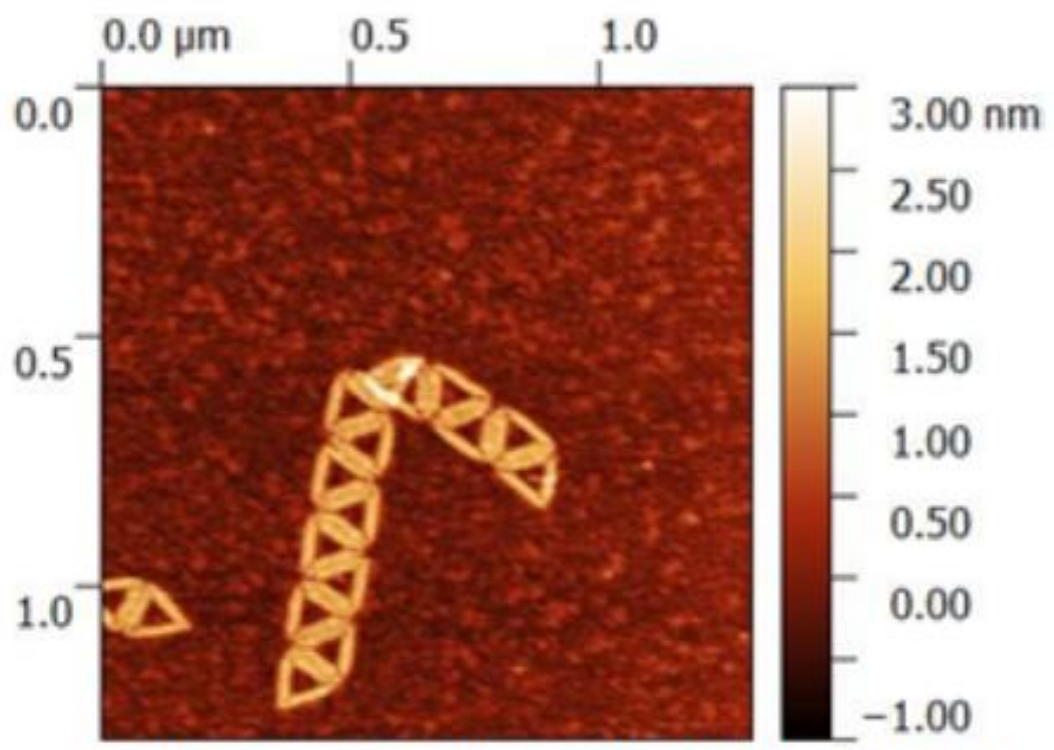
Scan size: 90 nm x 90nm; z-range: 2nm



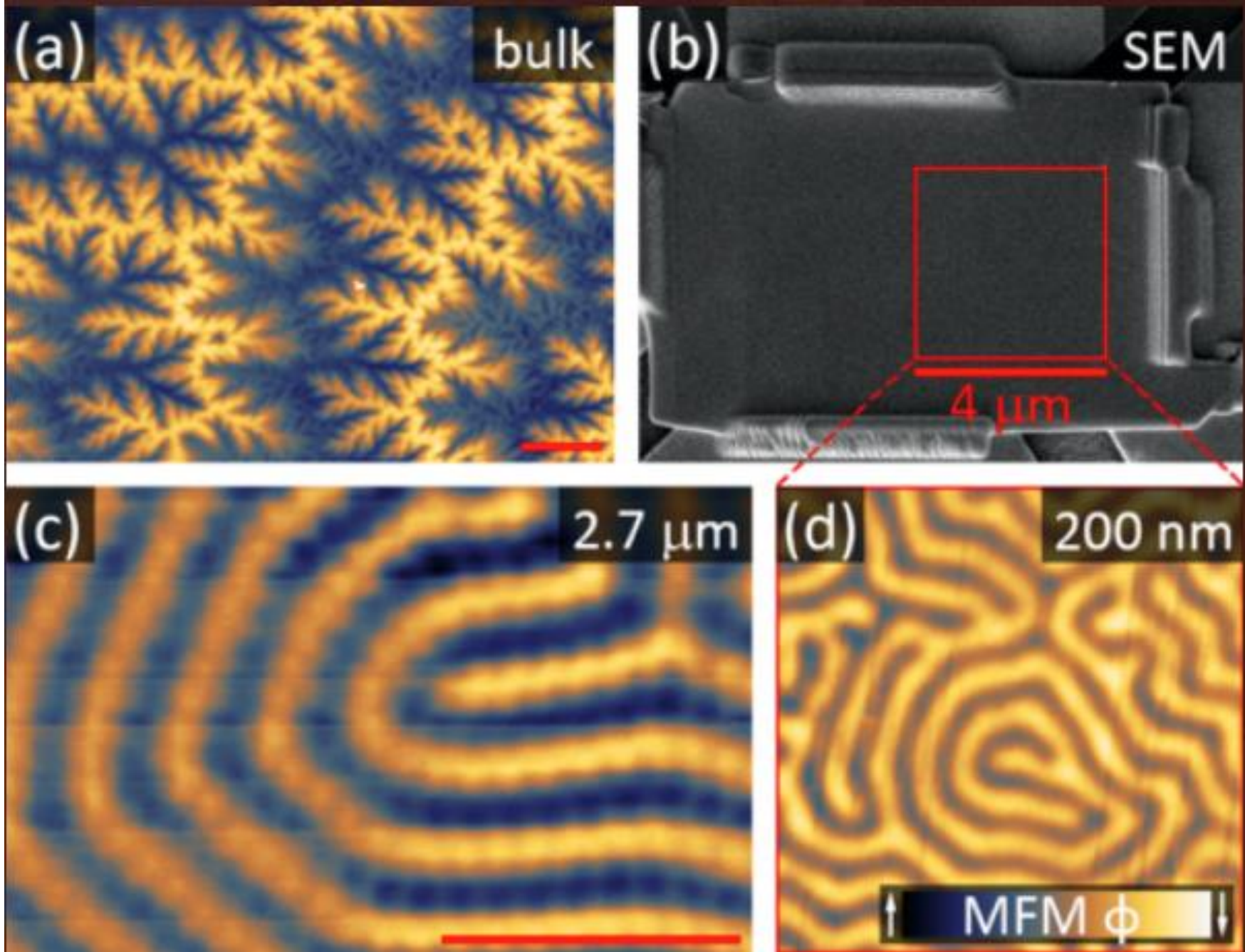
2-dimensional Array



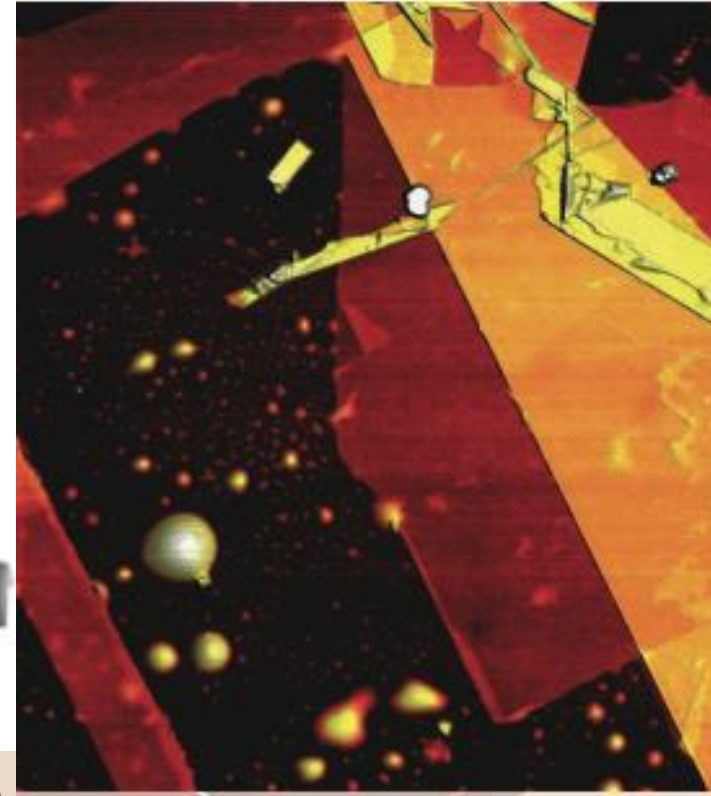
AFM image of designed DNA origami
700x700 nm



AFM image of polymerized DNA origami



Magnetic and geometric control of spin textures in the itinerant kagome magnet Fe_3Sn_2 ; Markus Altthaler,
Erik Lysne, Erik Roede, Lilian Prodan, Vladimir Tsurkan, Mohamed A. Kassem, Hiroyuki Nakamura,
Stephan Krohns, István Kézsmárki, and Dennis Meier
Phys. Rev. Research 3, 043191 – Published 17 December 2021

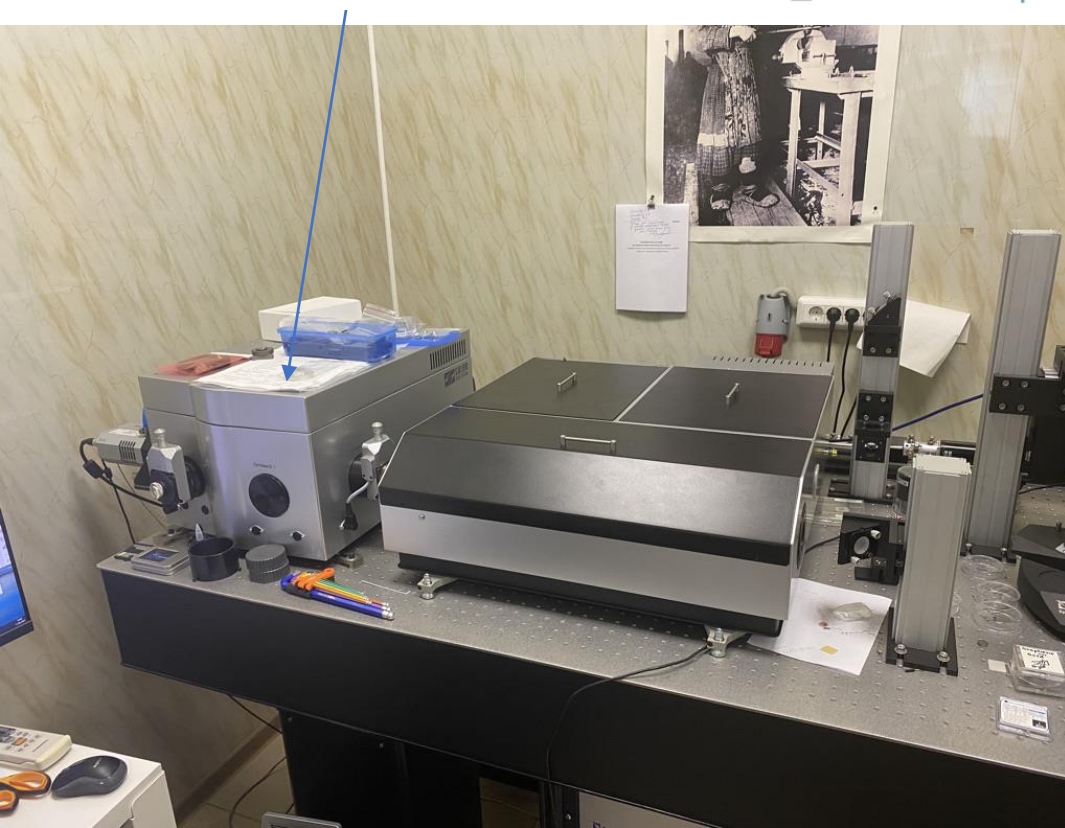
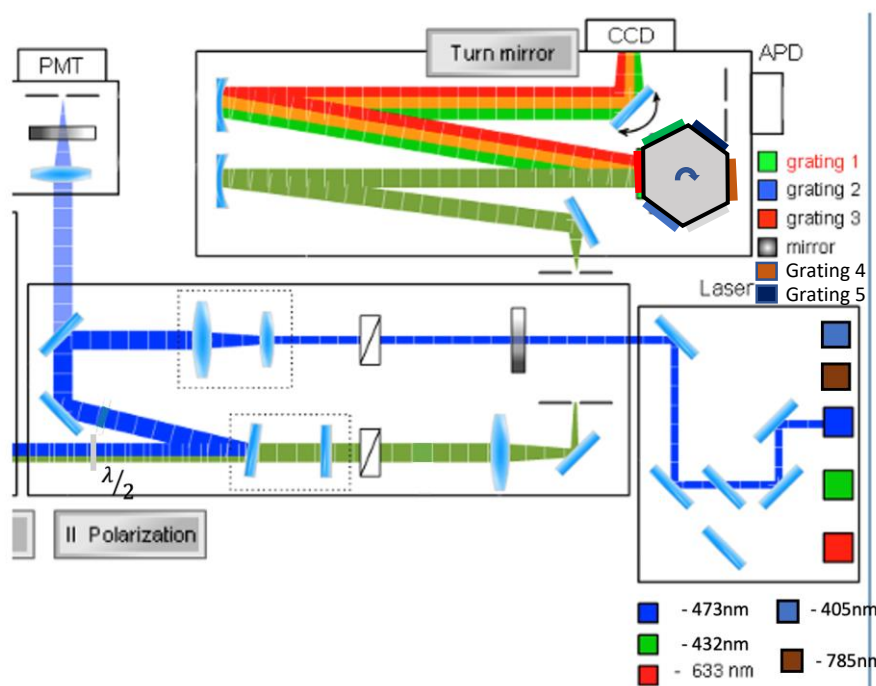


ИНТЕГРА

Спектра II

- Автоматизированный ACM высокого разрешения
- Конструктивные решения, оптимизированные для TERS-экспериментов: оптический доступ сверху, снизу и сбоку
- Модульная оптическая система позволяет реализовать любую конфигурацию возбуждения и сбора оптического отклика
- Автоматизированная настройка системы лазер-зонд-фотодиод
- Простая смена длины волны источника излучения оптической системы ACM
- Легкая и точная настройка объективов

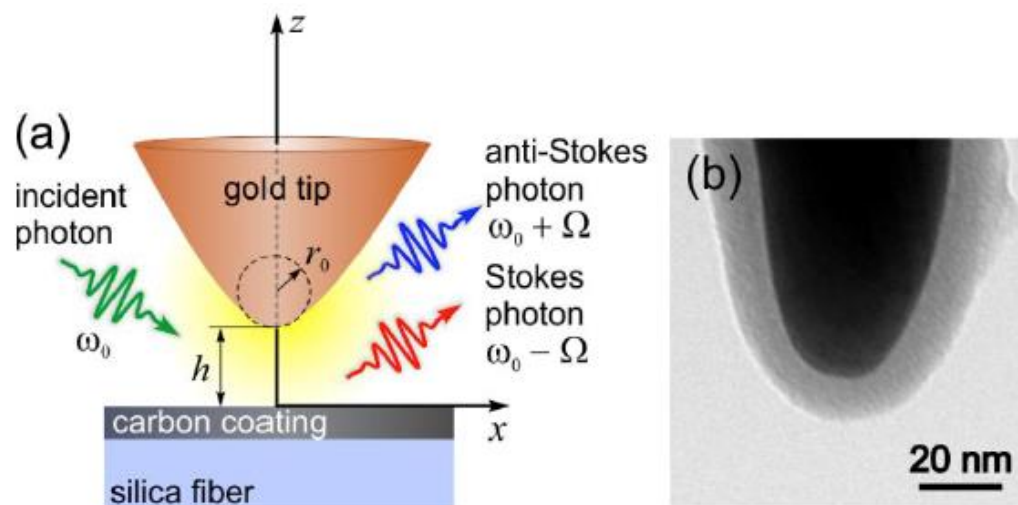
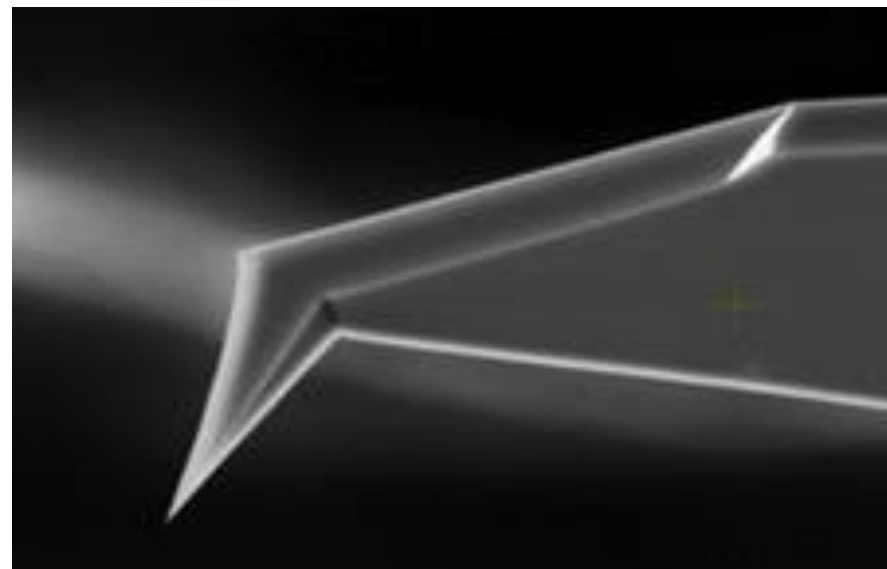
Система СПЕКТРА II в МФТИ, 2021



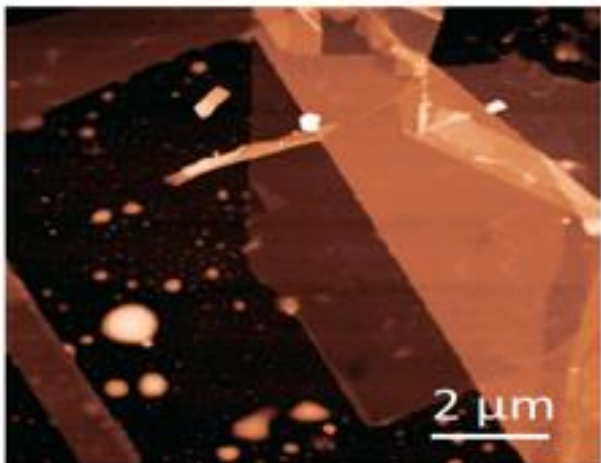
Высокоэффективные и долгоживущие зонды для TERS

Gold/Silver coated TERS AFM Probes

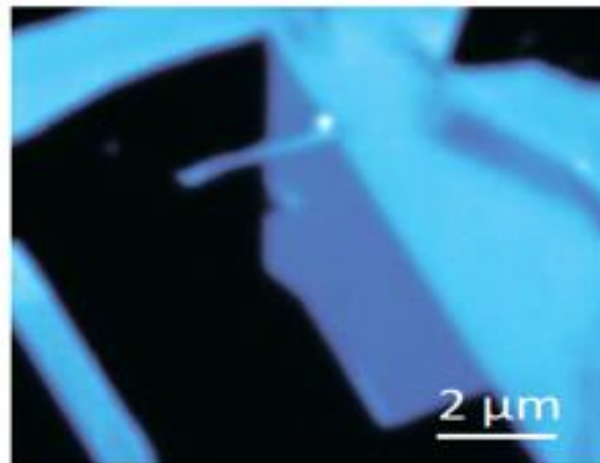
- Enhancement factors: up to 10^4
- Lateral resolution in TERS: down to 20nm
- High speed TERS mapping
- Top-down illumination configuration (opaque samples)
- Based on commercial AFM cantilevers (contact, non-contact): multiple AFM modes, excellent imaging performance



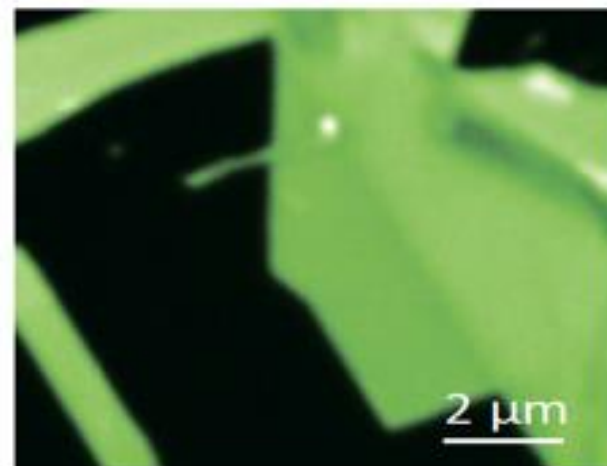
Чешуйки графена на Si/SiO₂



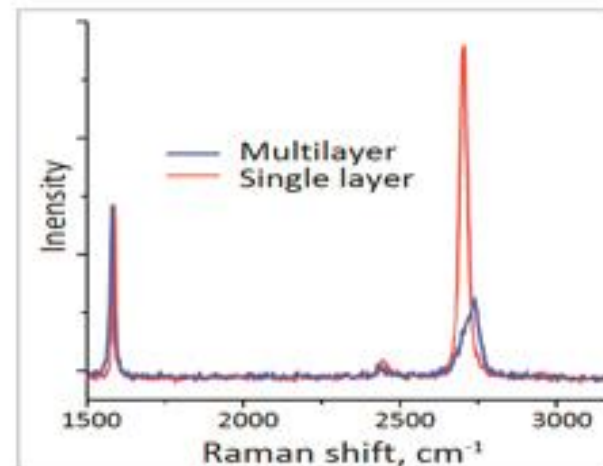
Рельеф



Интенсивность G полосы



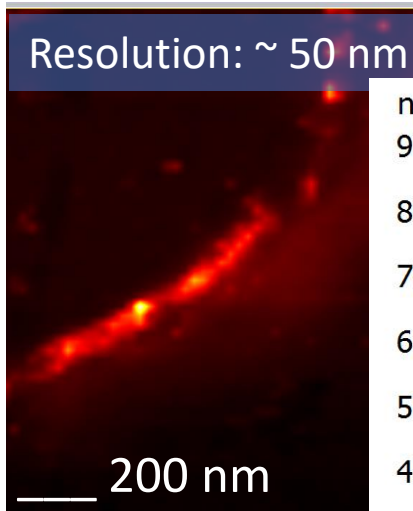
Интенсивность 2D полосы



Рамановский спектр

TERS графена на кремнии со слоем окисла

TERS on carbon nanotubes. All data – using NT-MDT instrument



S.S. Kharintsev, G. Hoffmann,
Dorozhkin, G. de With, et al.,
Nanotechnology 18 (2007) 1008

Resolution: ~ 100 nm

Overlap of G-band(blue)
and D-band(red)

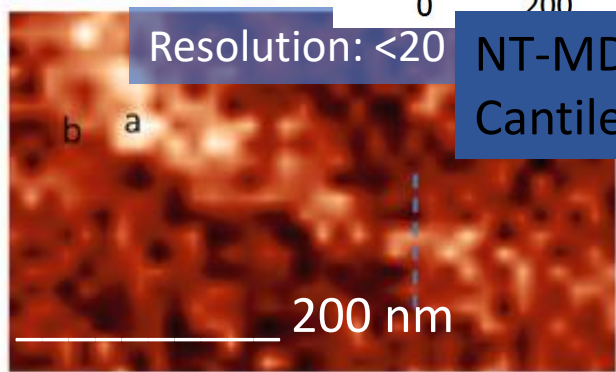
10 nm

nm
900
800
700
600
500
400
300
200
100

0
200
400
600
800

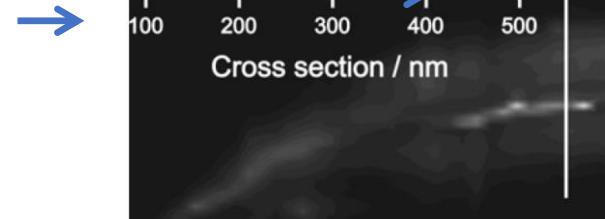
nm nm

0 nm (a)

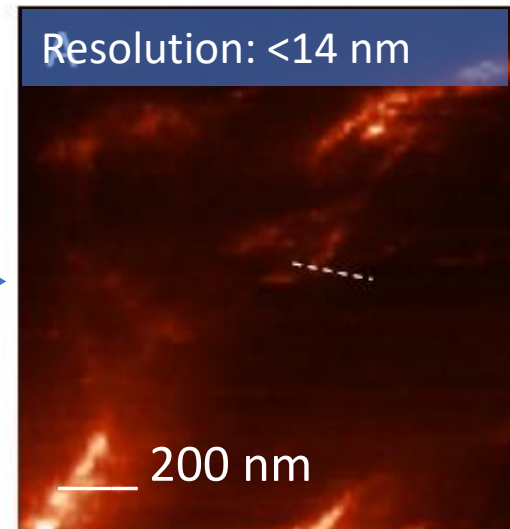


Chan K.L., Kazarian S.G., Nanotechnology 22, 175701 (2011)

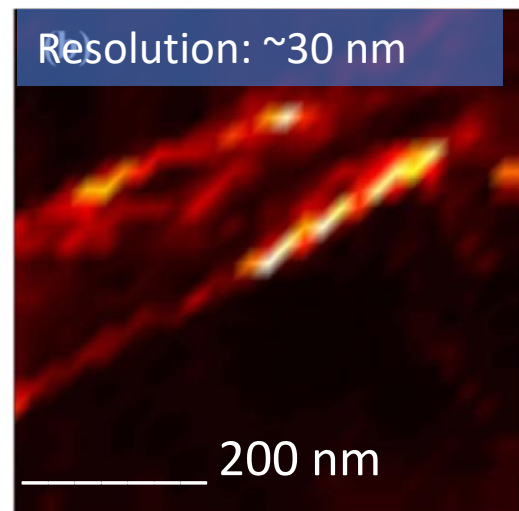
NT-MDT, 2014,
Cantilever TERS probe



S. Kharintsev, G. Hoffmann, A. Fishman, & M. Salakhov J. Phys. D: Appl. Phys. 46 (2013) 145501



Chan K.L., Kazarian S.G., Nanotechnology 21, 445704 (2010)



M. Zhang, J. Wang, Q. Tian, Optics Communications 315, 164 (2014)

Carbon nanotubes degraded by neutrophil myeloperoxidase induce less pulmonary inflammation

Valerian E. Kagan^{1*}, Nagarjun V. Konduru¹, Weihong Feng¹, Brett L. Allen², Jennifer Conroy³, Yuri Volkov³, Irina I. Vlasova¹, Natalia A. Belikova¹, Naveena Yanamala⁴, Alexander Kapralov¹, Yulia Y. Tyurina¹, Jingwen Shi⁵, Elena R. Kisin⁶, Ashley R. Murray⁶, Jonathan Franks⁷, Donna Stoltz⁷, Pingping Gou², Judith Klein-Seetharaman⁴, Bengt Fadeel⁵, Alexander Star² and Anna A. Shvedova⁶

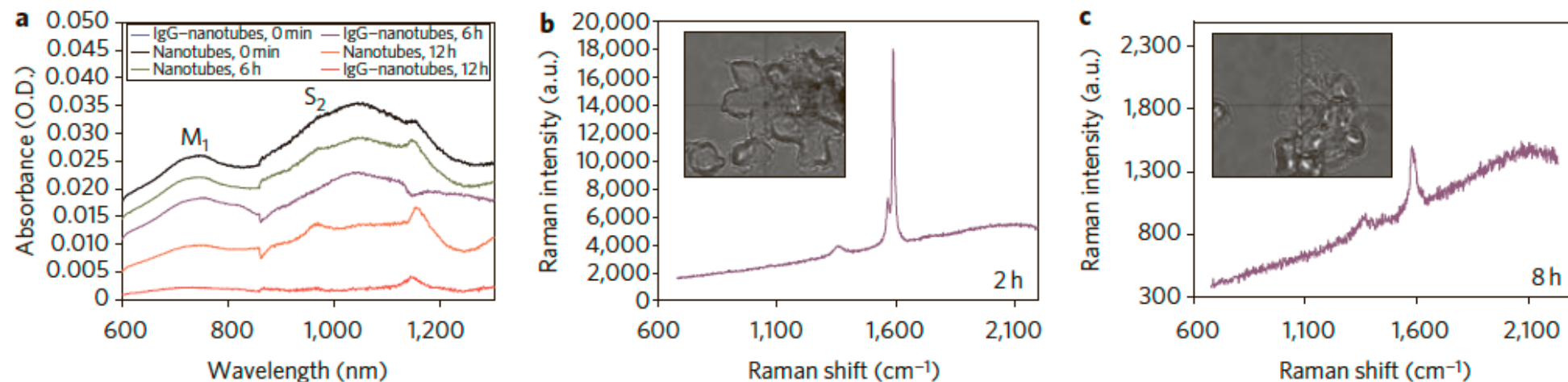
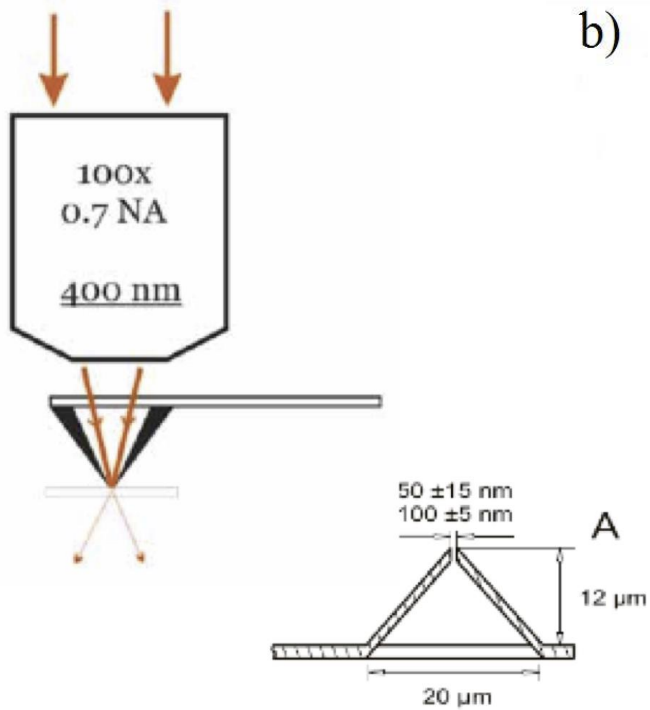


Figure 4 | Biodegradation of nanotubes in neutrophils evaluated by infrared and Raman spectroscopy. **a**, Vis-NIR spectra showing biodegradation of nanotubes and IgG-nanotubes by human neutrophils after 0, 6 and 12 h. O.D., optical density. **b,c**, Raman spectra (excitation, 473 nm) recorded from different areas of neutrophils containing IgG-nanotubes at 2 h (**b**) and 8 h (**c**). Inset shows bright-field image of the neutrophils with engulfed IgG-nanotubes. The Raman spectra (red lines) with their corresponding G- and D-bands recorded from different areas of neutrophils are indicated by the cross-wire on the bright-field images.

АСМ + Ближнепольная апертурная оптическая микроскопия

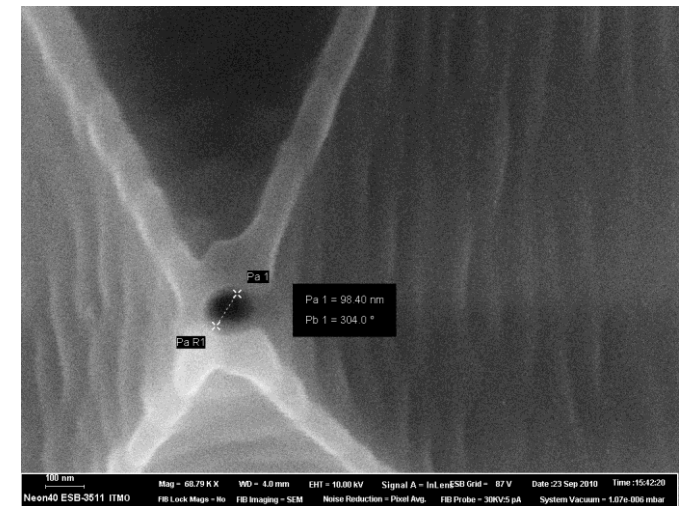
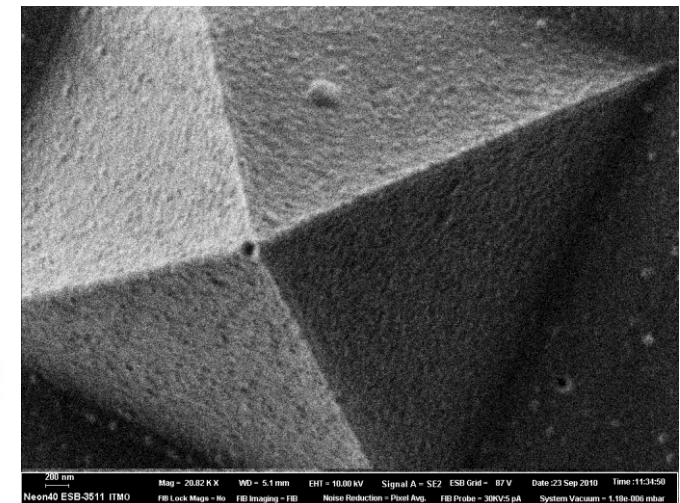
разрешение в режиме СБОМ от 70 нм

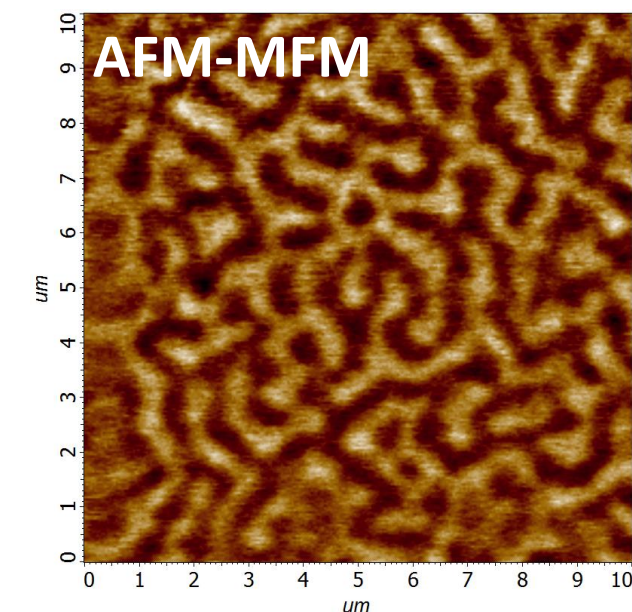
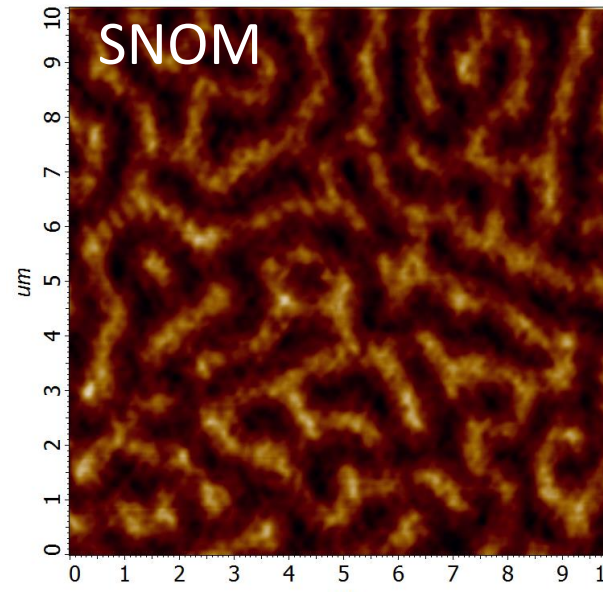
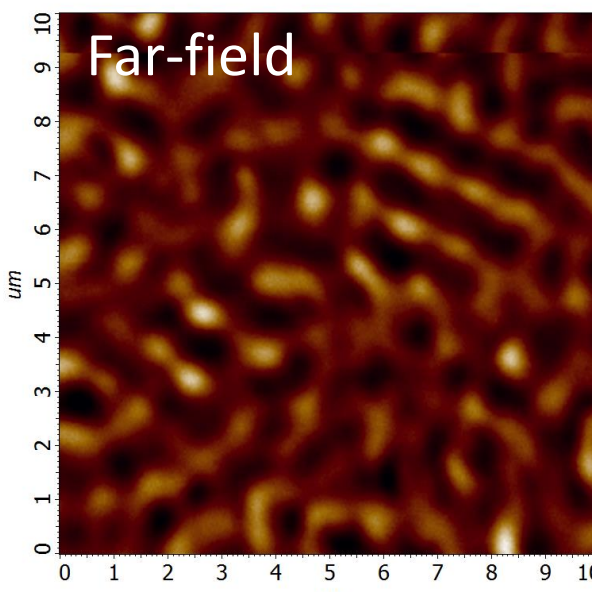
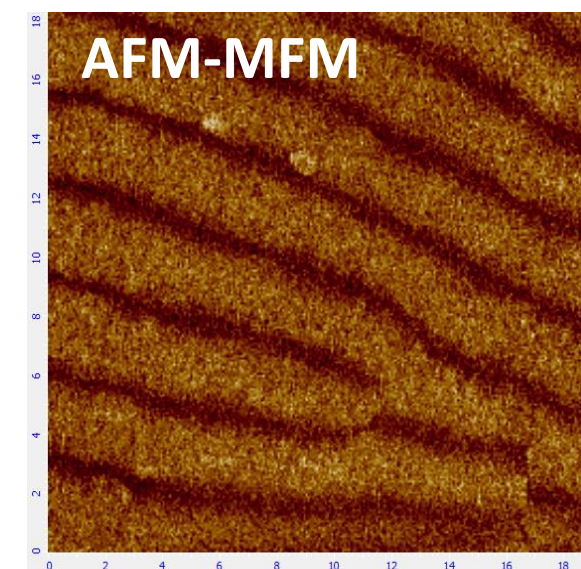
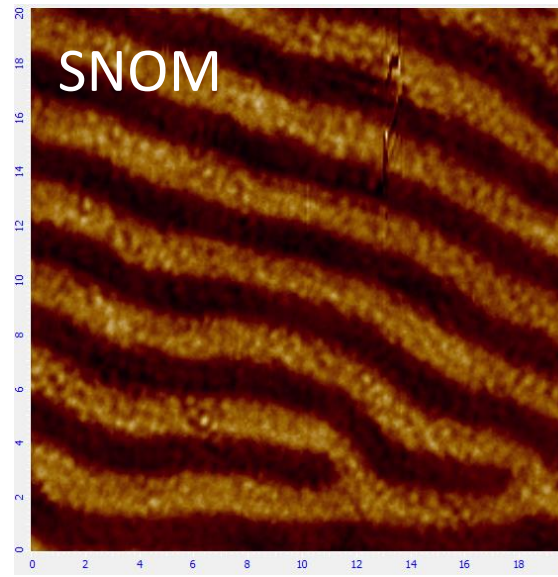
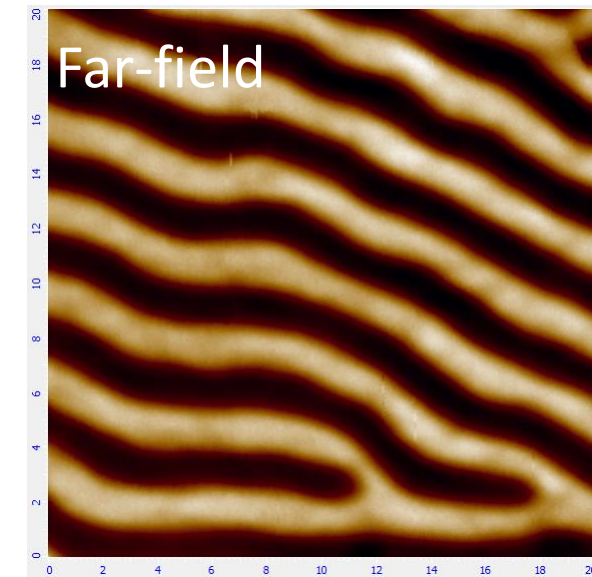
Silicon cantilevers with aperture



NT-MDT produces all hardware and software to work with such probes at all SNOM modes.

Кремниевые зонды для SNOM, апертура от 50 до 100 нм, MEMS with FIB Technology



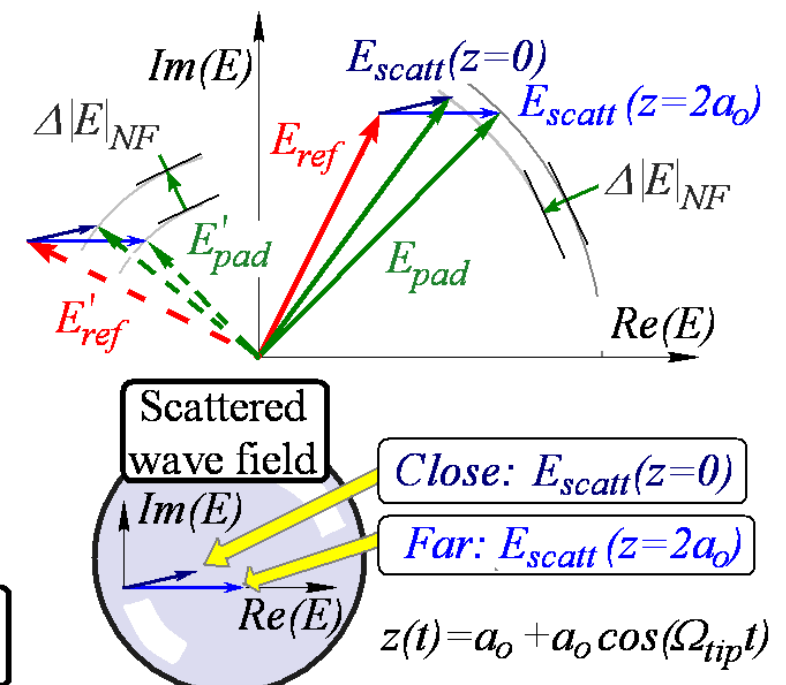
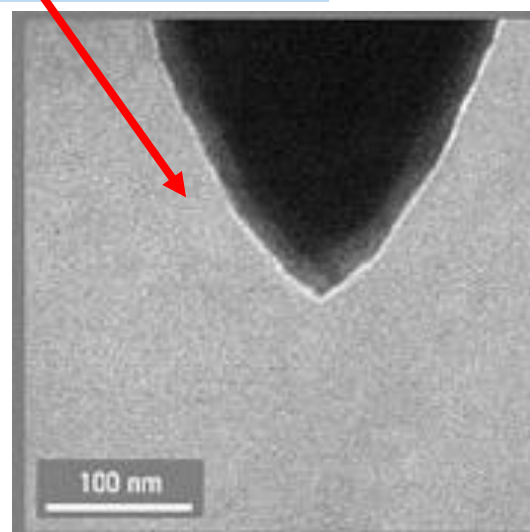
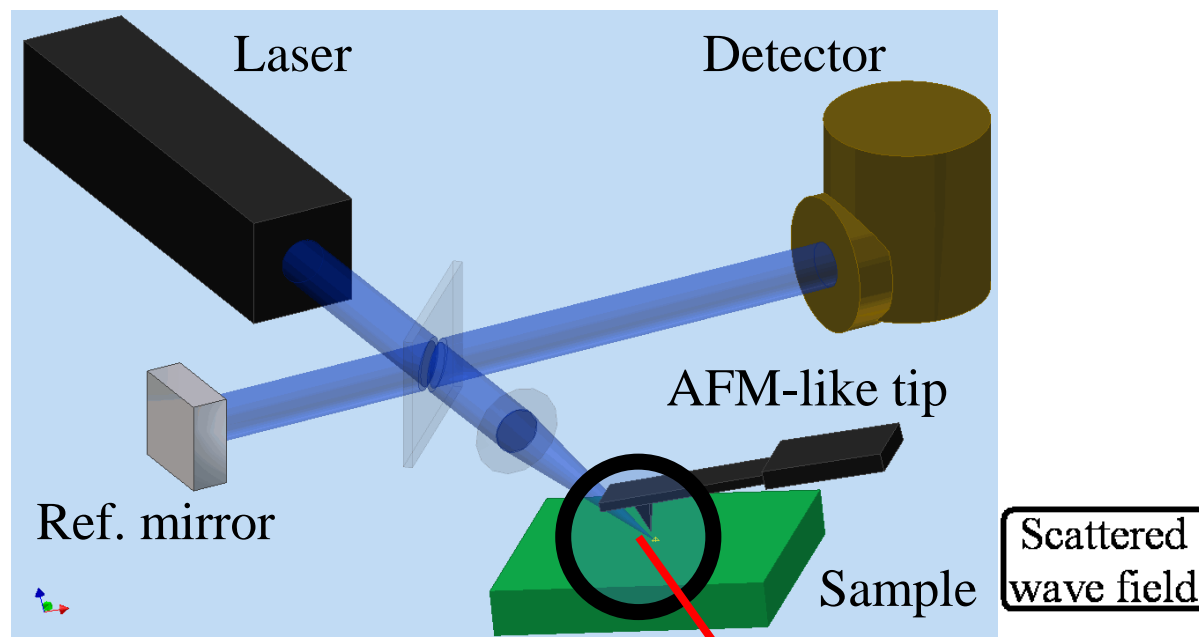


Far-field and near-field cross-polarization images from the same area of thin garnet film 20x20 μm (top) and 10x10 μm (bottom). 473 nm laser used. Comparison with MFM images from same sample (right).

Sample courtesy: T.V. Mikhailova, A.R. Prokopov, A.N. Shaposhnikov. Vernadsky Crimean Federal University

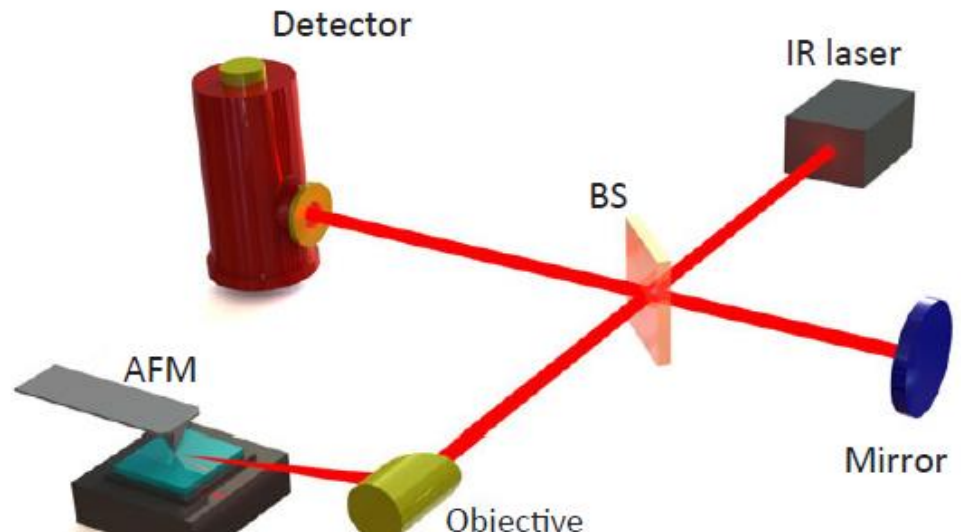
БЕЗАПЕРТУРНАЯ БЛИЖНЕПОЛЬНАЯ МИКРОСКОПИЯ

Зонд – КАНТИЛЕВЕР, РАЗРЕШЕНИЕ В РЕЖИМЕ SNOM порядка 10 нм!
РЕВОЛЮЦИЯ В СБОМ!



БЕЗАПЕРТУРНАЯ БЛИЖНЕПОЛЬНАЯ МИКРОСКОПИЯ в ИК диапазоне

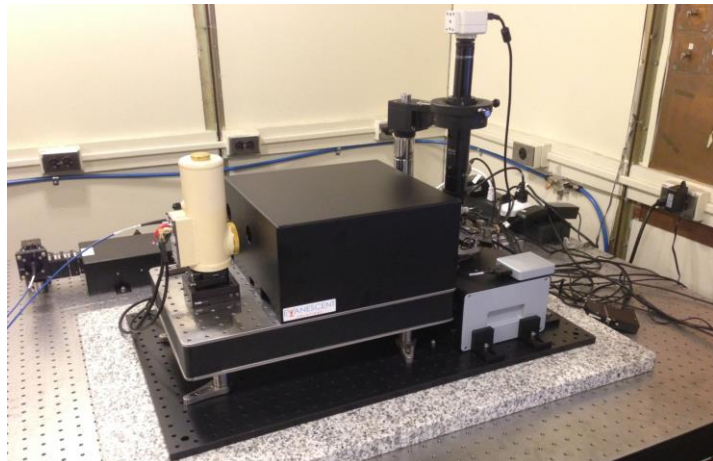
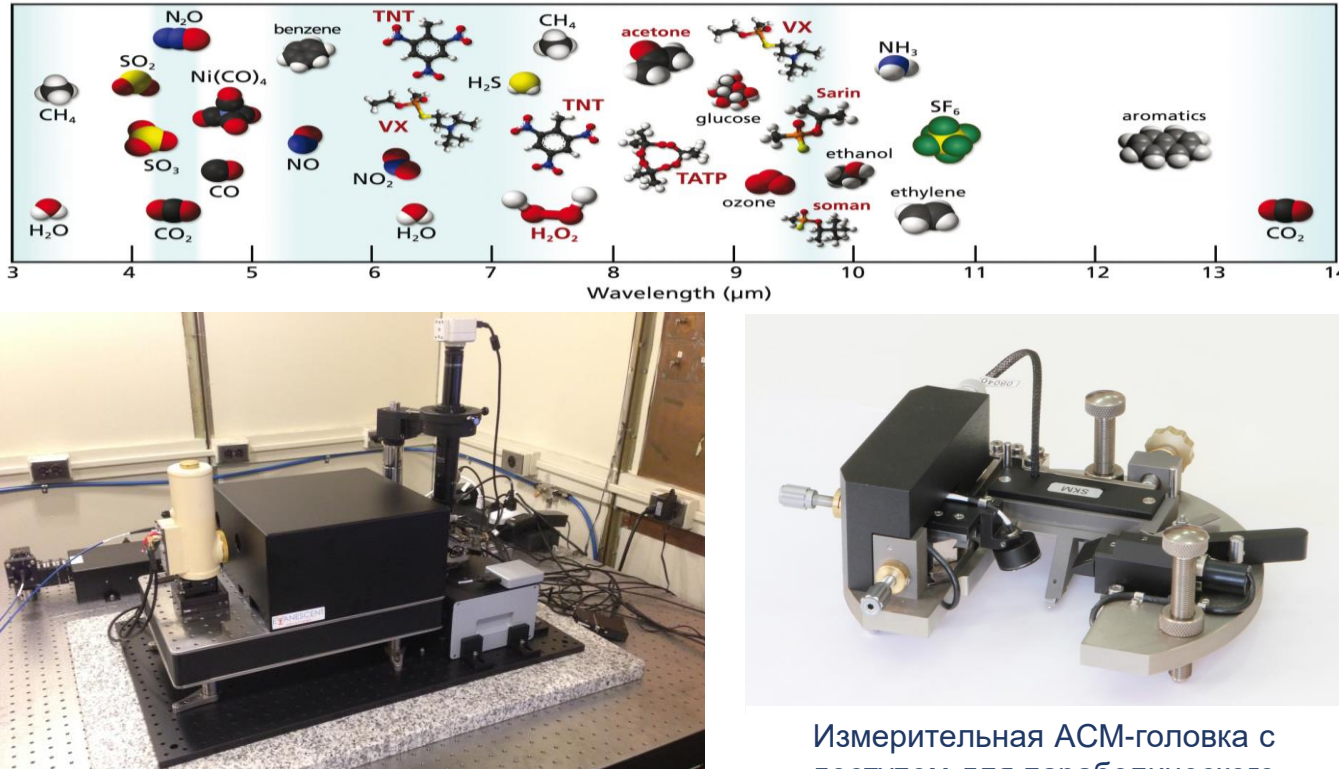
NTEGRA Nano IR



NTEGRA IR principal scheme

- IR s-SNOM microscopy and spectroscopy with 10 nm spatial resolution
- Wide spectral range of operation: 3-12 μm
- Incredibly low thermal drift and high signal stability
- Versatile AFM with advanced modes: SRI (conductivity), KPFM (surface potential), SCM (capacitance), MFM (magnetic properties), PFM (piezoelectric forces)
- HybriD ModeTM - quantitative nanomechanical mapping
- Integration with microRaman (optional)

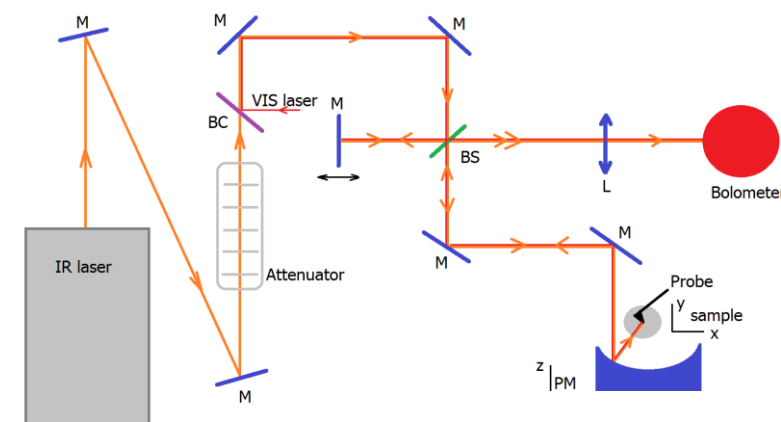
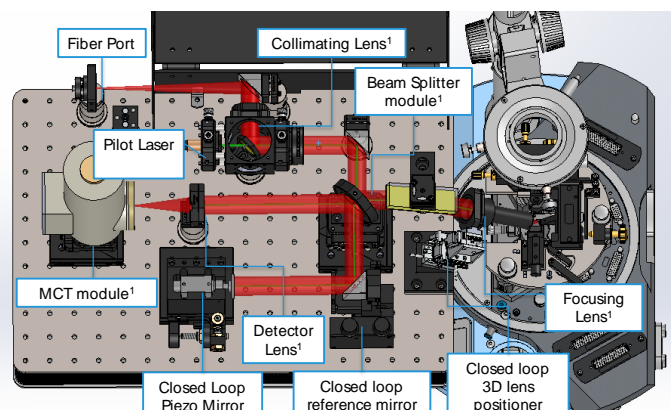
NTEGRA nano IR: s-SNOM technology



ИНТЕГРА нано-ИК (университет Стоун Брук, NY)



Измерительная АСМ-головка с доступом для параболического зеркала



Оптические схемы прибора: ввод излучения лазера по волокну с фокусировкой рассеянного излучения через объектив (слева) и прямой ввод лазерного излучения с фокусировкой и сбором с помощью параболического зеркала (справа)

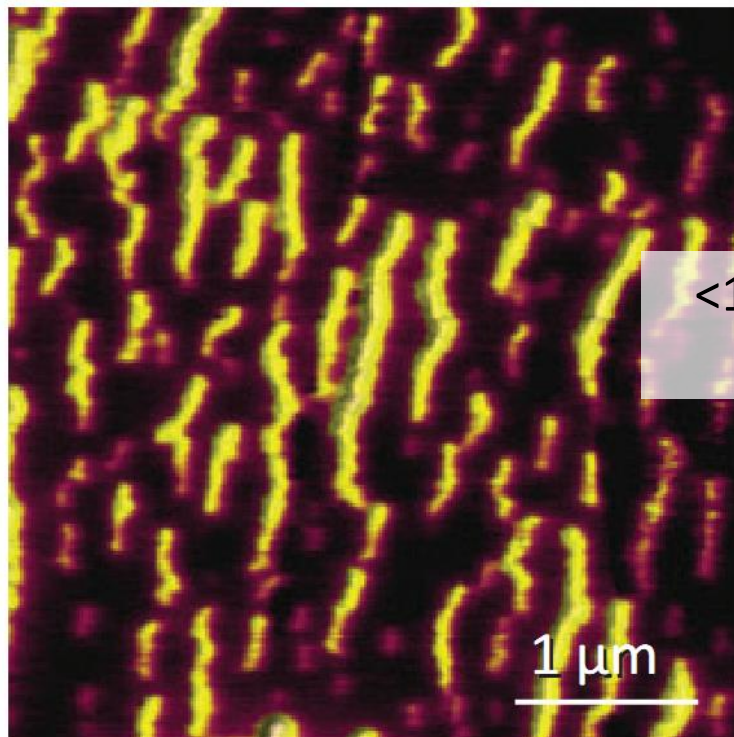
[NTEGRA](#) nanoIR by [#NTMDT](#) for scattering scanning near-field optical [#microscopy](#) (s-SNOM) and [#spectroscopy](#) with 10 nm spatial resolution for infrared (IR) spectral range.



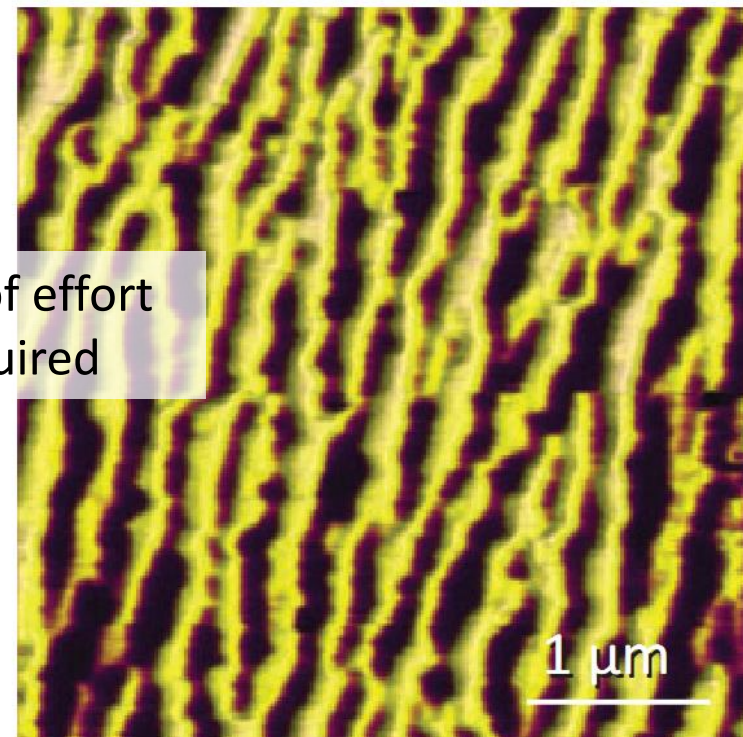
High Temperature AFM and s-SNOM on a Phase Changing Material: VO₂

IR s-SNOM Reflection

27C



67C



<1hr of effort required

- Superior high temperature performance: under 1 hour needed to acquire images 40C apart. Compare to days on competitor's system
- Low drift and high signal stability: <1um XY drift from 27 to 67C, no realignment of nanoReflection optics needed

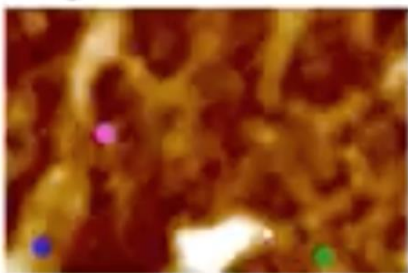
Sample courtesy to prof. Liu (Stony Brook University, New York, USA)

FastSpectra: Reverse Osmosis Membrane



Optical Image

Height



-300 (nm) 300

IR image at 1660 cm^{-1}

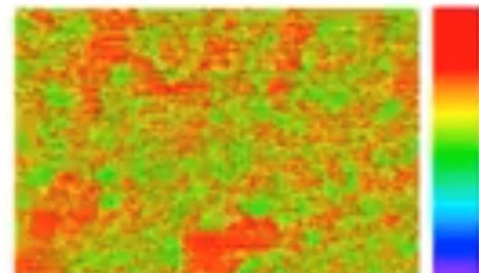
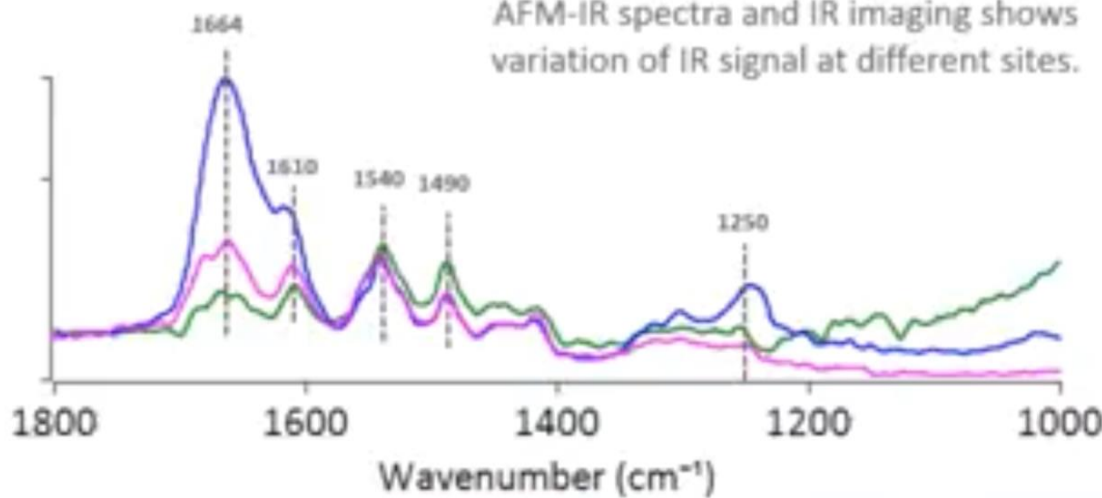
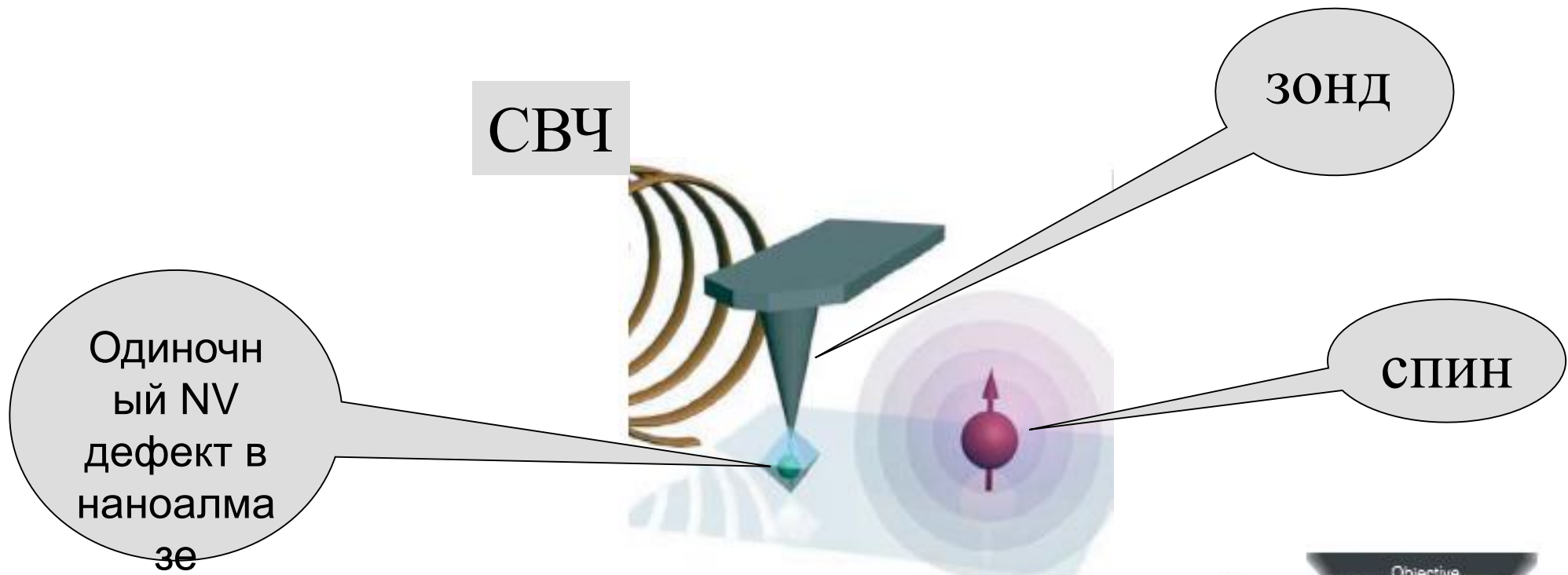


Image size: $15\text{ }\mu\text{m} \times 10\text{ }\mu\text{m}$

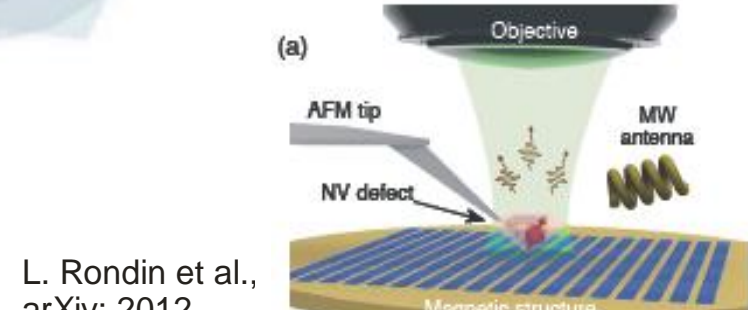


AFM-IR spectra and IR imaging shows variation of IR signal at different sites.

ОДМР сканирующий магнитометр с наноразмерным разрешением



G. Balasubramanian et al.,
NATURE 2008



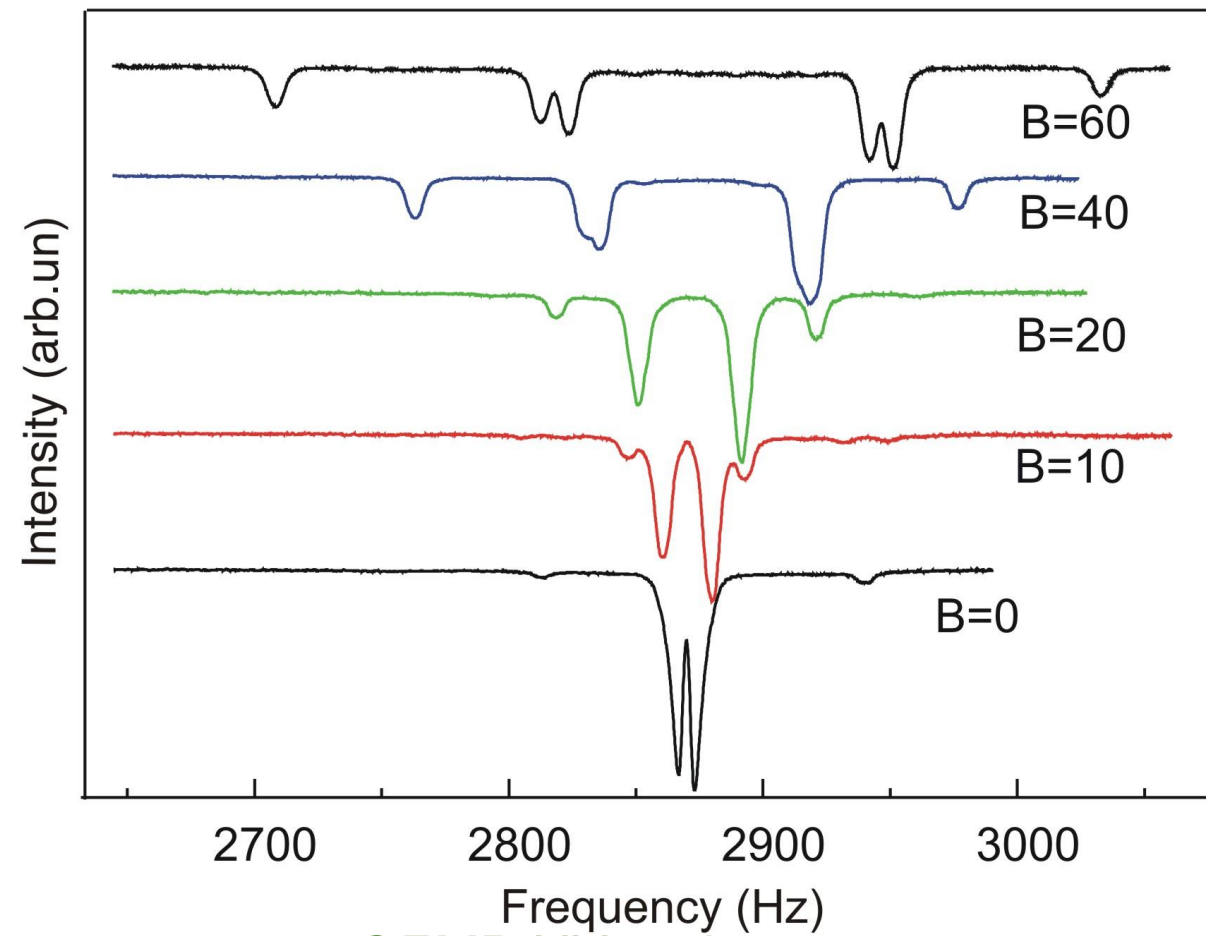
L. Rondin et al.,
arXiv, 2012

ОДМР позволяет достигать абсолютной чувствительности – регистрировать магнитный резонанс на одиночном квантовом объекте

Зондово - оптический спектрометр магнитного резонанса

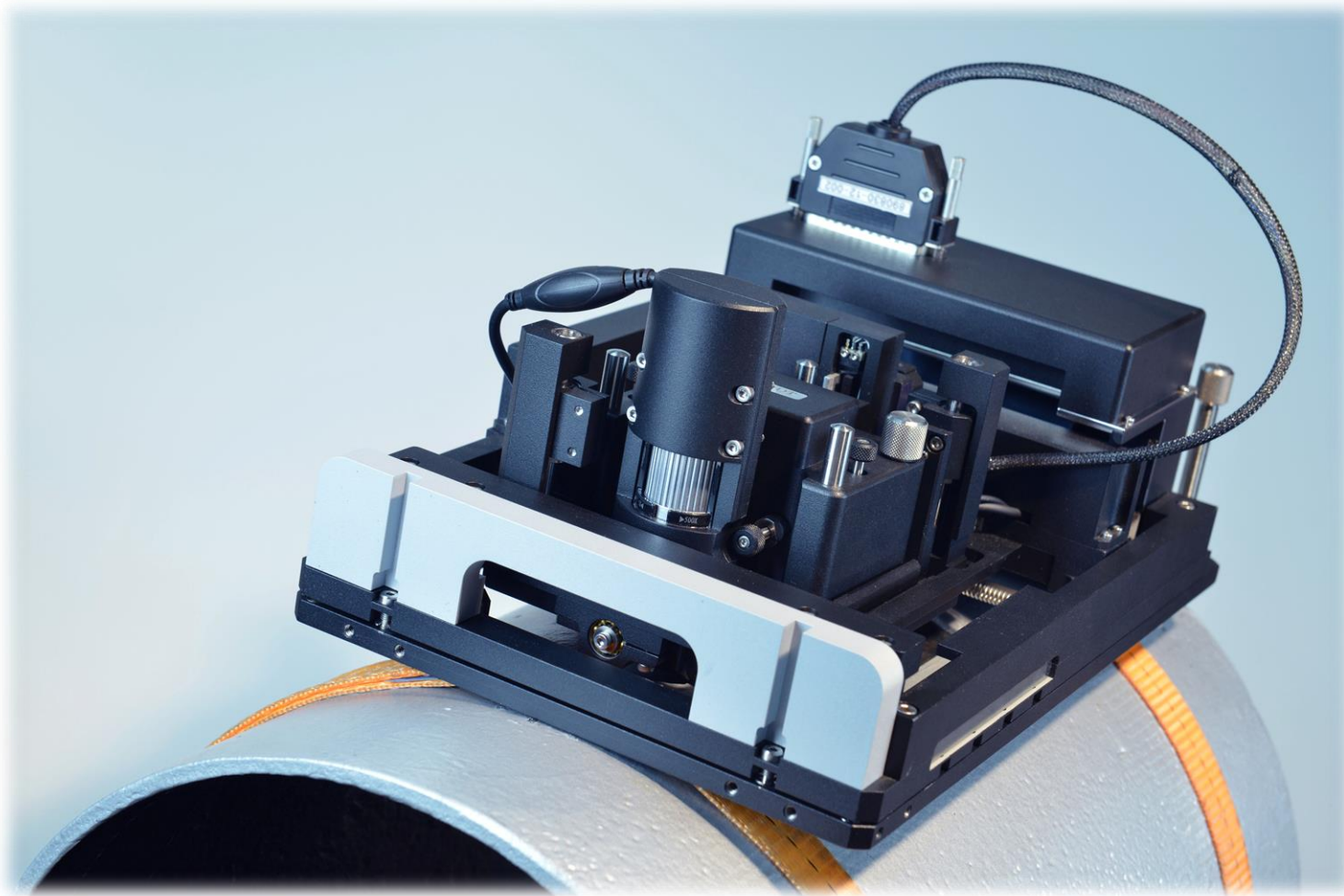
(ГК 2011-2012 гг., совместный проект ФТИ им.А.Ф. Иоффе -
НТ МДТ)

Spectroscopy of single NV defect in diamond



Зависимость спектров ОДМР NV дефектов от частоты при различных значениях внешних магнитных полей

Первый в мире аппаратно-программный комплекс для диагностики состояния промышленных объектов и неразрушающего контроля



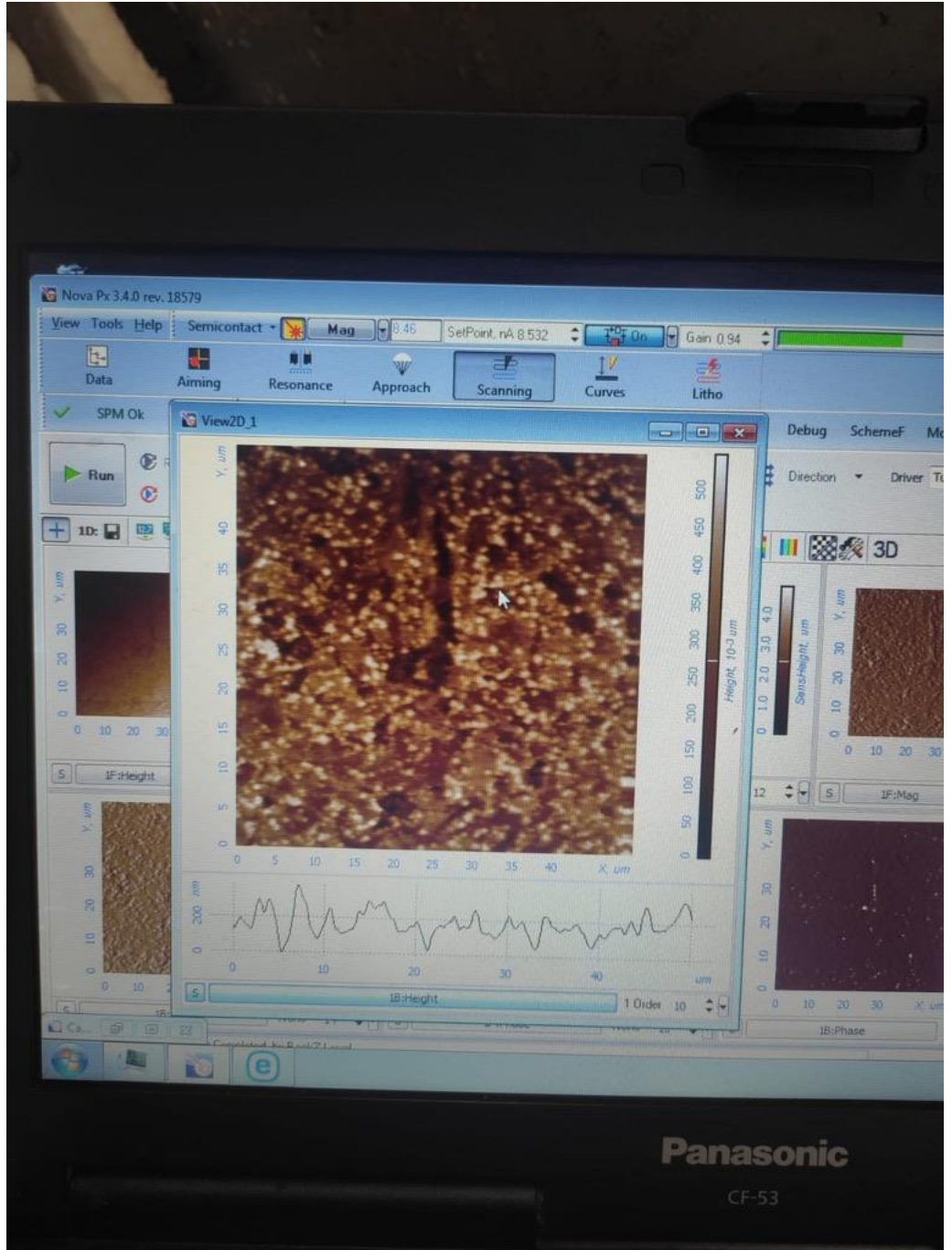
Февраль 2022, Quezon, Филиппины



Февраль 2022, Quezon, Филиппины



Февраль 2022, Quezon, Филиппины

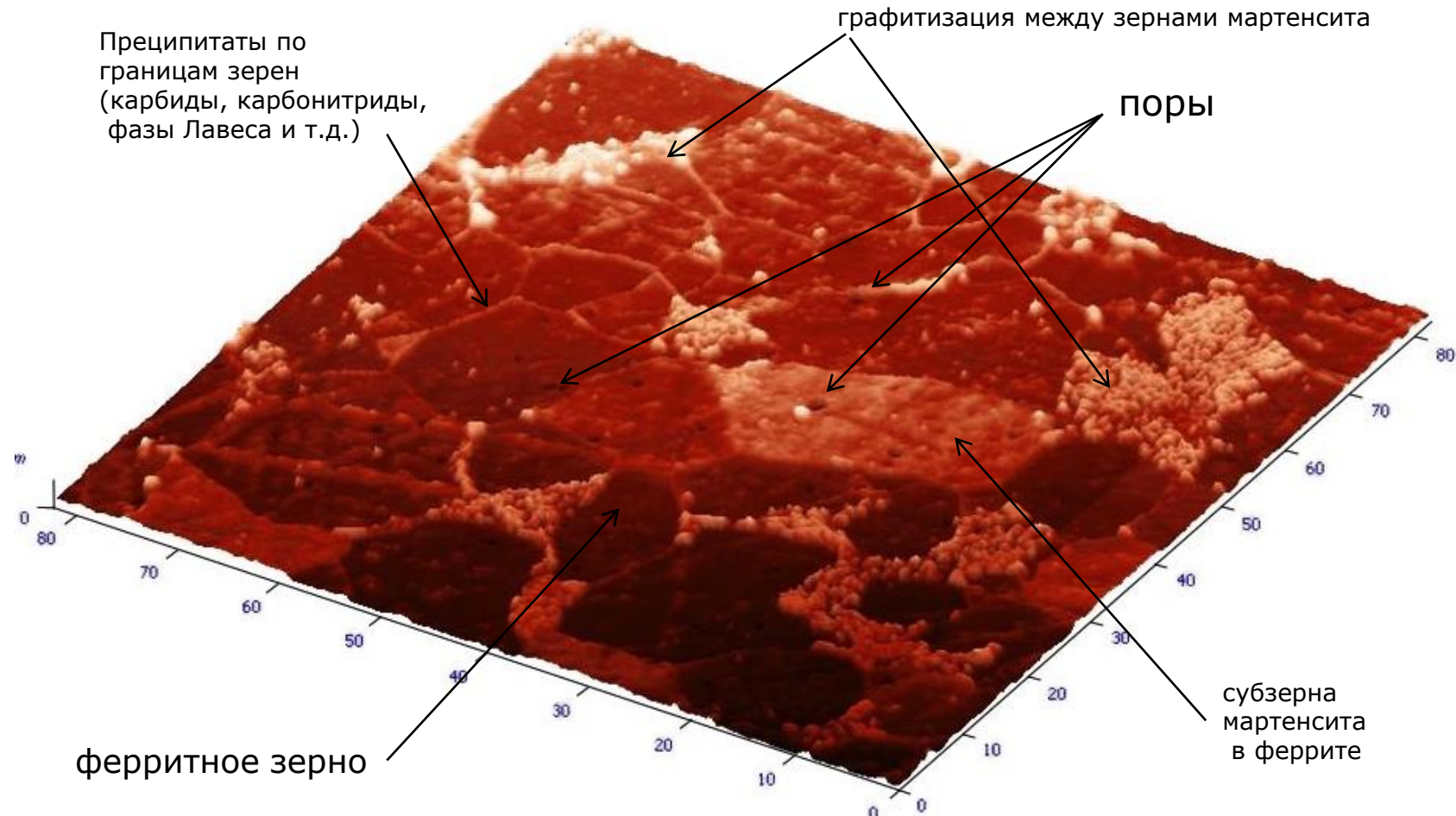


Эффект ползучести

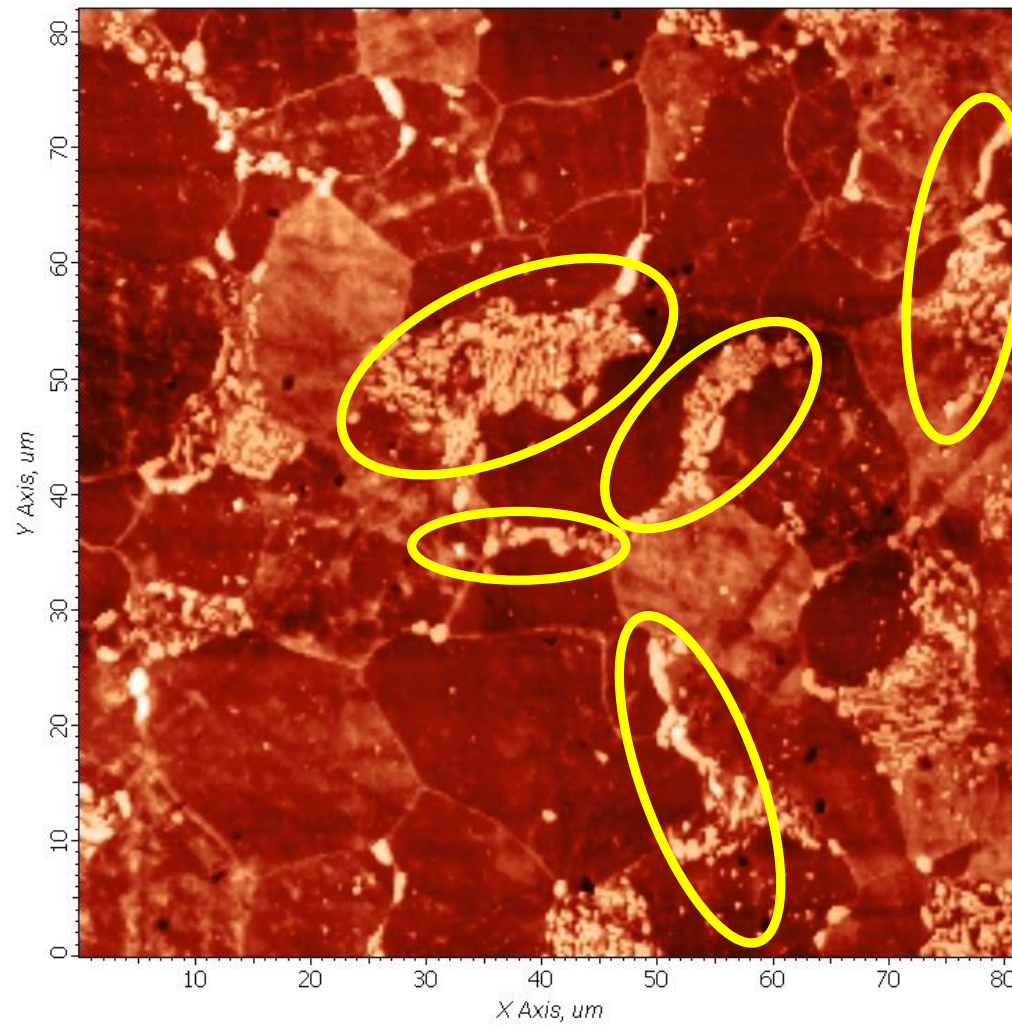
Ползучесть относится к зависящему от времени компоненту пластической деформации. Ползучесть является медленной и непрерывной пластической деформацией материалов в течение длительного периода времени под нагрузкой.



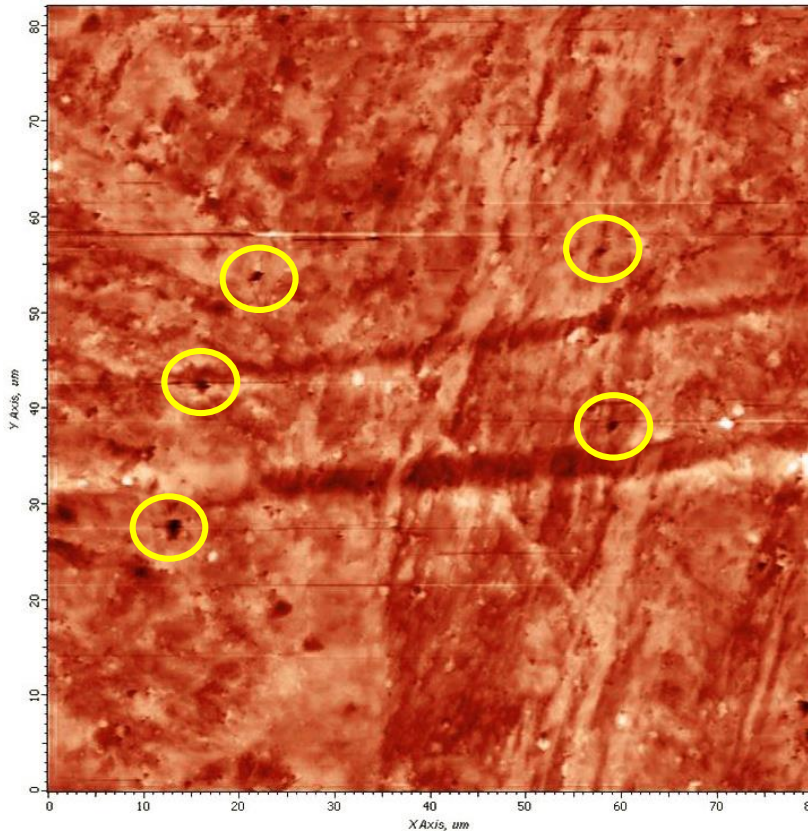
Типичное АСМ-изображение стали



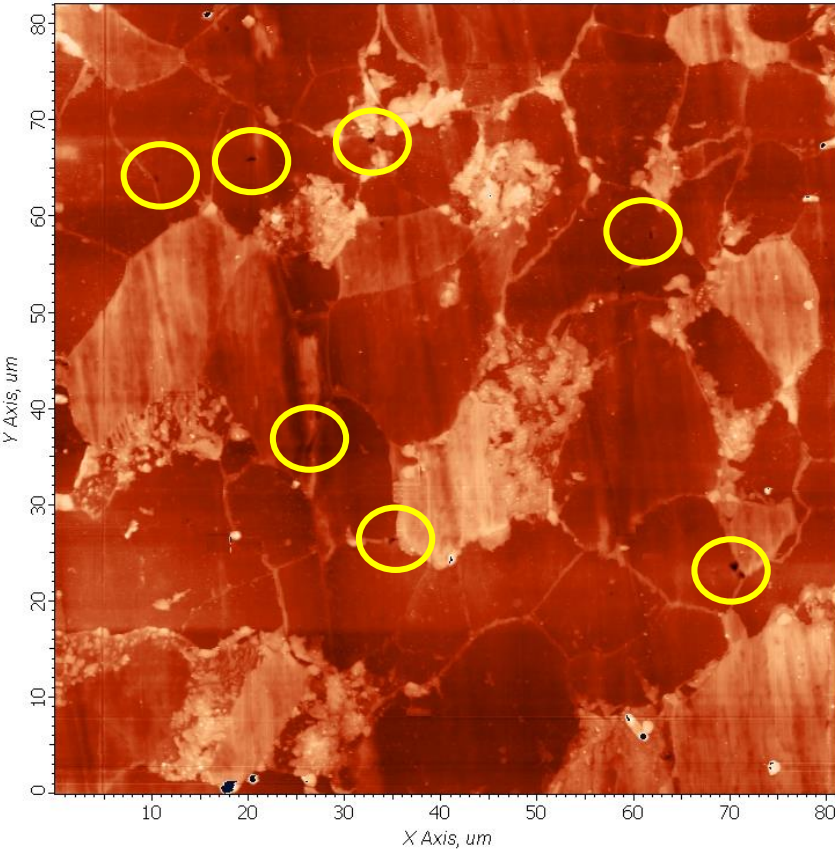
Сталь мартенситно-ферритного класса после
250000 часов эксплуатации (около 30 лет)



Прямое сканирование поверхности и Репликация



поверхность реплики

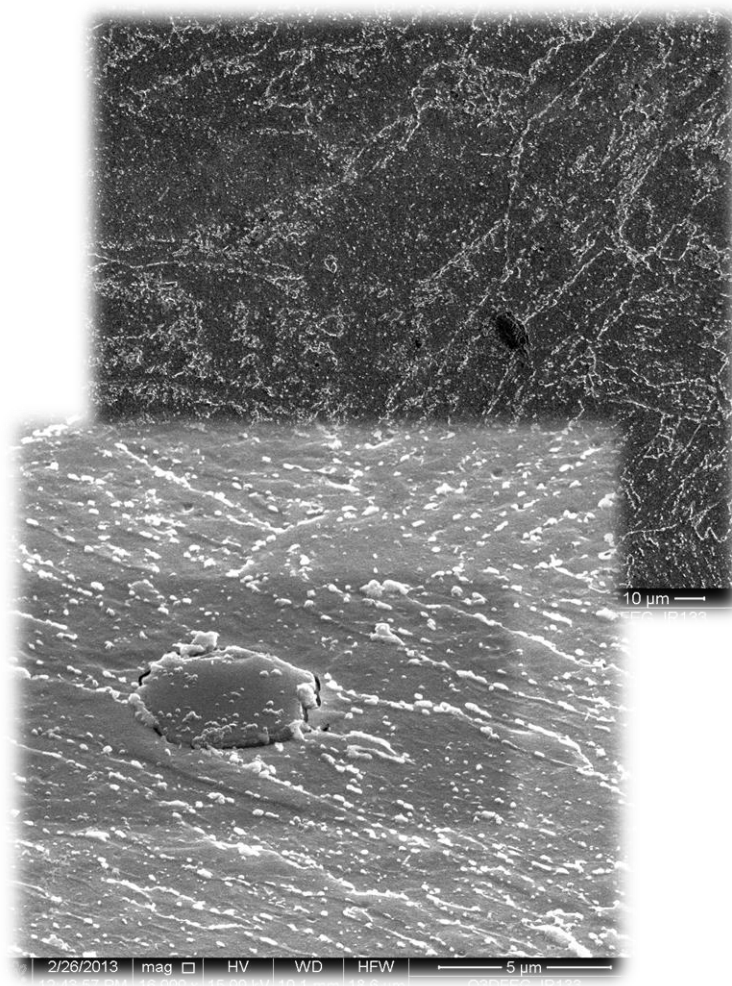
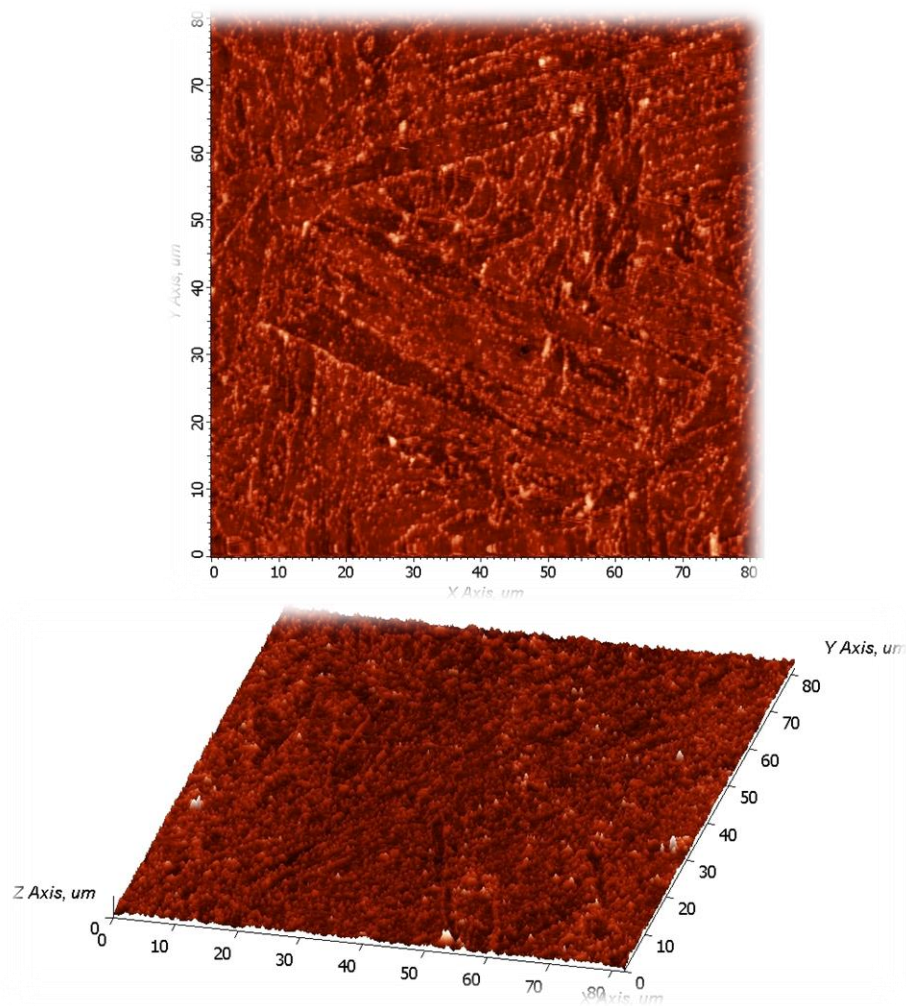


поверхность стали

ACM-изображения поверхности мартенситно-ферритной стали.
Поры ползучести выделены желтыми овалами

Типичная мартенситная структура (сталь P91)

АСМ (изображение получено в «полевых» условиях)
СЭМ (изображение получено в лаборатории)



Аппаратно-программный комплекс Solver PIPE

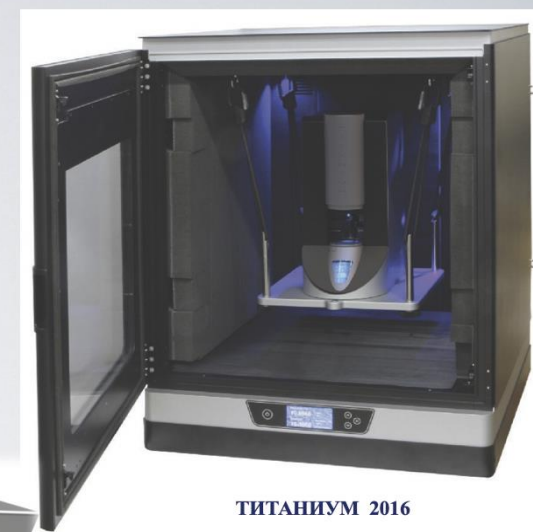


1. Разработан первый в мире аппаратно-программный комплекс на основе атомно-силового микроскопа для ранней диагностики состояния промышленных объектов и неразрушающего контроля материалов.
2. Разработана методика раннего предупреждения по обнаружению дефектов ползучести.
3. АПК рекомендован для проведения диагностики состояния методом неразрушающего контроля (метод «прямого» сканирования поверхности промышленных объектов).

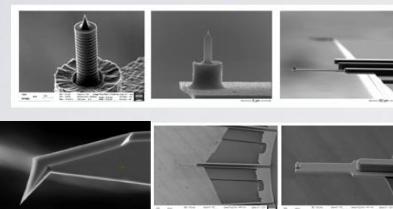
NT-MDT Spectrum Instruments Продуктовая линия 2021

IR ALSNOM,
2016 - 2017

СОЛВЕР НЕКСТ

Полностью автоматизированный АСМ / СТМ
для широкого круга исследований

ИНТЕГРА-СПЕКТРА-4Р 2016

polySi-Technology, R_a - 3-5 nm

Новые типы кантелеевров (2015 -2016 гг.)



ТИТАНИУМ 2016



SOLVER-Pipe -2017

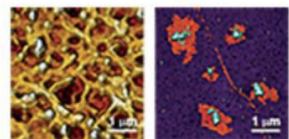


2019



NTEGRA-Prima

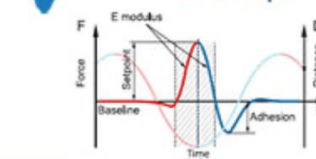
ScanTronic™

Получите АСМ
с первой в мире
системой самообучения

RapidScan™

Ускорьте темп ваших
исследований

HybridMode™

Расширьте
восприятие
наномира

Chapter Eight **Manufacturers Profiles**

8.1 Bruker Corporation

8.2 NT-MDT SI

8.3 Keysight Technologies

8.4 Park Systems

8.5 JPK Instruments

8.6 Witec

8.7 Asylum Research(Oxford Instruments)

8.8 Nanonics Imaging

8.9 Nanosurf

8.10 Hitachi High-Technologies

8.11 Anasys Instruments

8.12 RHK Technology

8.13 A.P.E. Research

The following manufacturers are analyzed independently in the report:

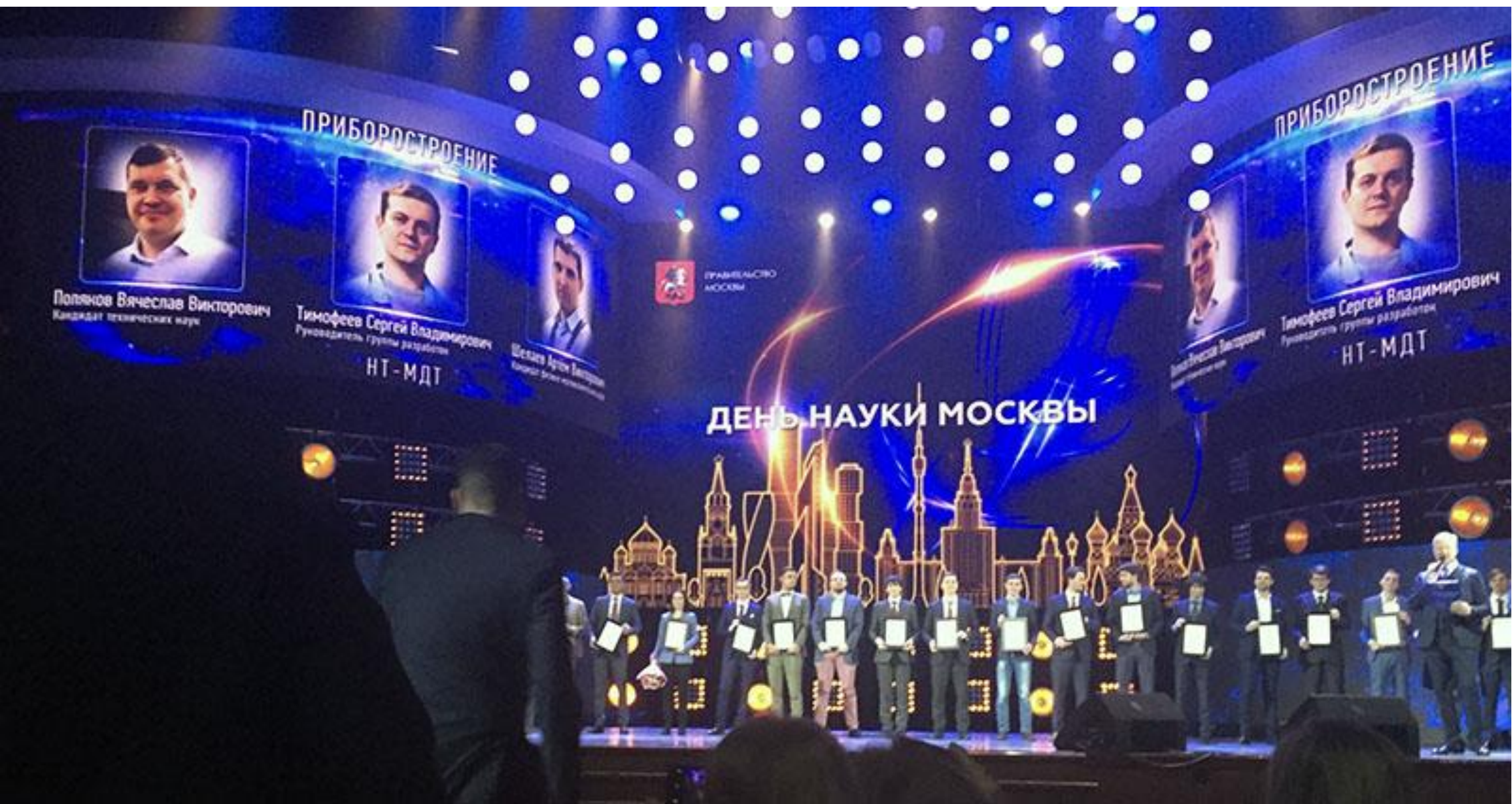
- 1. NanoWorld AG**
- 2. Bruker**
- 3. NT-MDT**
- 4. Asylum Research (Oxford Instruments)**
- 5. Olympus**
- 6. Advanced Diamond Technologies**
- 7. AppNano**
- 8. Team Nanotec GmbH**
- 9. NaugaNeedles**
- 10. SmartTip**
- 11.**
- 12. ...**

КОМПЛАЙНС

- При росте бизнеса, увеличения его веса на Мировом рынке, возможна подрывная активность со стороны конкурентов. Работа НТ-МДТ даже на Российском рынке принесла урон конкурентам не менее, чем на 100 млн. \$, что инициировало активность некоторых с желанием или перекупить или обанкротить компанию, что вынуждает тратить не малые средства и время на борьбу.
- Используются и свойства и Российского законодательства – например, 44-го закона – покупай, что дешевле и никак иначе.
- В результате покупателю через отделы продаж может быть поставлена не качественная или устаревшая продукция, а отделы продаж в отличии от научной

ВРУЧЕНИЕ ПРЕМИИ ПРАВИТЕЛЬСТВА МОСКВЫ МОЛОДЫМ УЧЕНЫМ ООО «НТ-МДТ»

10.02.2019

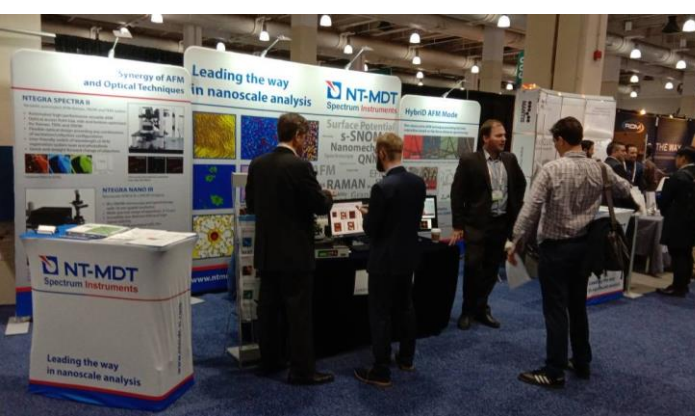


NT-MDT SI на MRS-2017 (29 ноября – 1 декабря)



Иван Быков и Станислав Леесмент на
стенде
выставки E-MRS, Страсбург
07.07.2018

NT-MDT SI на MRS-2018 (25-30 ноября)



NT-MDT
Spectrum Instruments

ACS Meetings & Expos

ACS FALL 2021
August 22-26 | Atlanta, GA

RESILIENCE OF CHEMISTRY
In-Person & Virtual | #ACSFall2021

NT-MDT
Spectrum Instruments

MISIS

RSF

BioSPM - 2022

The 4th International school-conference
"Scanning Probe Microscopy
for Biological Systems – 2022"

November 24-25, 2022 | NUST MISIS, Moscow

NT-MDT
Spectrum Instruments

MRS MATERIALS RESEARCH SOCIETY®
Advancing materials. Improving the quality of life.

Booth #708

2022 MRS FALL MEETING & EXHIBIT

November 27–December 2, 2022 | Boston, Massachusetts
December 6–8, 2022 | Virtual

NT-MDT
Spectrum Instruments

Booth #926

MSA
Microscopy Society of America

Microscopy & Microanalysis 2023

July 23-27, 2023 – Minneapolis, MN

M&M 2023
MICROSCOPY &
MICROANALYSIS
Minneapolis, MN - July 23-27



MAX-PLANCK-INSTITUT
FÜR KOLLOID- UND
GRENZFLÄCHENFORSCHUNG



Санкт-Петербургский
государственный
университет



OAK RIDGE
National Laboratory



Massachusetts
Institute of
Technology



BASF Fraunhofer

CHAPMAN
UNIVERSITY



NPL
National Physical Laboratory

Pfizer



AMD
The future is fusion

***Крупные ПОЛЬЗОВАТЕЛИ
ПРИБОРОВ КОМПАНИИ***



WEIZMANN
INSTITUTE OF SCIENCE



OntarioTech
UNIVERSITY



ТОМСКИЙ
ПОЛИТЕХНИЧЕСКИЙ
УНИВЕРСИТЕТ

Уральский
федеральный
университет
имени первого Президента
России Б.Н. Ельцина



УНИВЕРСИТЕТ
ЛОБАЧЕВСКОГО



Trinity
College
Dublin
The University of Dublin



Johnson & Johnson
МФТИ

МИСиС
Университет науки и технологий



Chevron
Phillips
Chemical Company



Физико-
технический
институт
им. А.Ф. Иоффе

UNIVERSITY
OF ONTARIO
INSTITUTE OF TECHNOLOGY



Deutsches Elektronen-
Synchrotron
(DESY)



НАЦИОНАЛЬНЫЙ
ИССЛЕДОВАТЕЛЬСКИЙ ЦЕНТР
“КУРЧАТОВСКИЙ ИНСТИТУТ”



ОБЪЕДИНЕННЫЙ
ИНСТИТУТ ЯДЕРНЫХ
ИССЛЕДОВАНИЙ



ИНСТИТУТ ФИЗИКИ
ПОЛУПРОВОДНИКОВ ИМ.
А.В. РЖАНОВА СО РАН

N* Новосибирский
государственный
университет



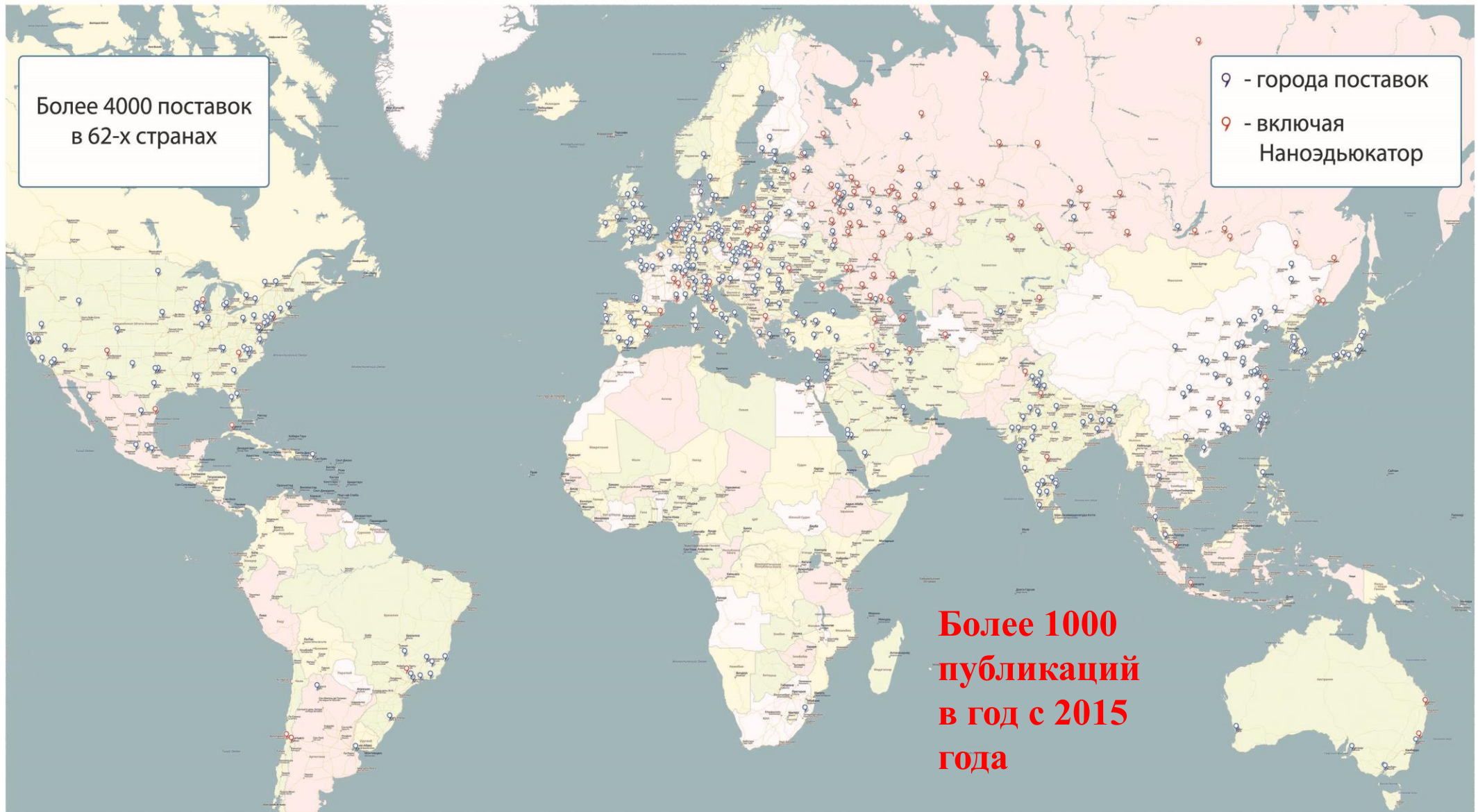
College of Chemistry and Molecular Engineering
PEKING UNIVERSITY

School of Economics, Business Administration
and Accounting at Ribeirão Preto
University of São Paulo



國立臺灣師範大學
National Taiwan Normal University

География поставок оборудования по России и миру



СПАСИБО ЗА ВНИМАНИЕ

